

Eingabe: Farbmétrisches Offset-Reflektiv-System ORS18

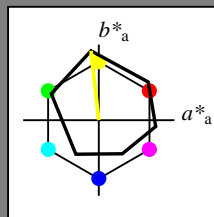
für Buntton $h^* = lab^*h = 96/360 = 0.268$

*lab*tch* und *lab*nch*

D65: Buntton Y

LCH*Ma: 90 92 96

olv*Ma: 1.0 1.0 0.0



Dreiecks-Helligkeit t^*

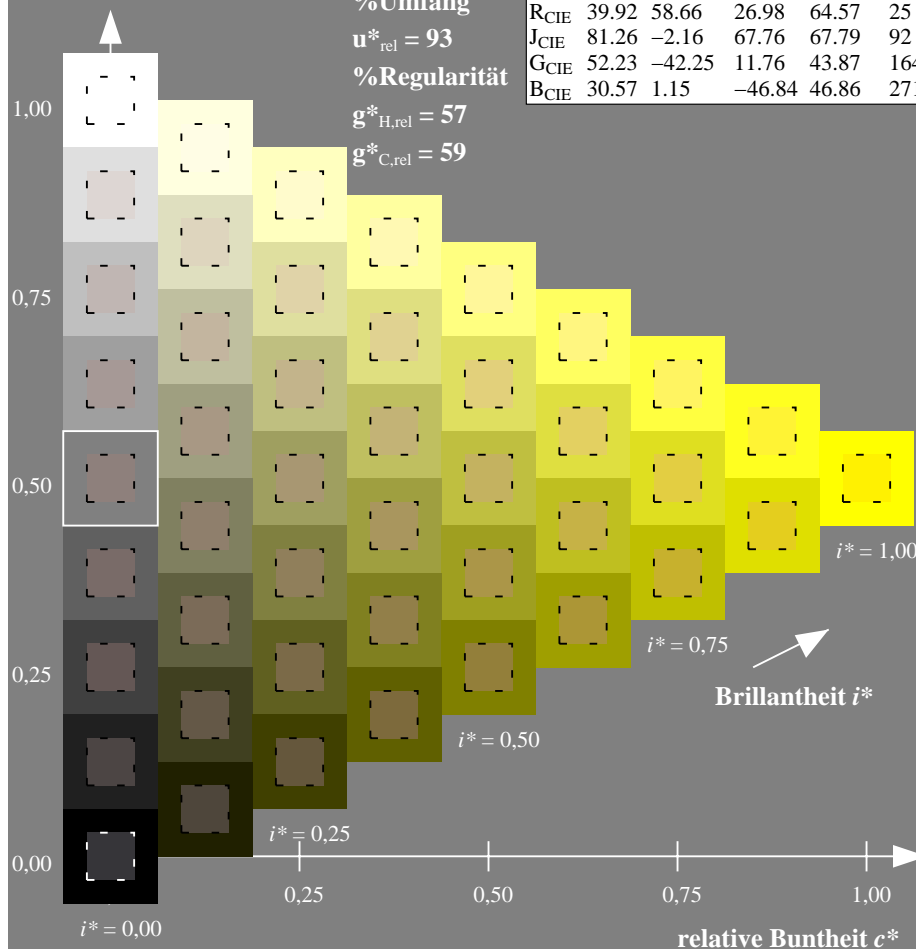
%Umfang

$$\mathbf{u}_{\text{rel}}^* = 93$$

%Regularität

$$g^*_{H_{rel}} = 57$$

g*_{C rel} = 59

ZG720-7F, 9stufige Reihen für konstanten CIELAB Buntton $96/360 = 0.268$ (links)

Seite 2/60

BAM-Prüfvorlage ZG72; Farbmetrik-Systeme, Seite 2/60
D65: 9 und 16stufige Farbreihen für 10 Bunttöne

Seite 2/60 Eingabe: *rgb / cmy0 set(rgb/cmyk)color*
Ausgabe: keine Eingabeänderung

Ausgabe: keine Eingabeänderung

A horizontal line representing a 1D lattice with several sites marked by dots. The site at the left end is labeled '0' and is highlighted with a red background. The site at the right end is labeled 'L' and is highlighted with a green background. The sites in between are not labeled or highlighted.

Ausgabe: Farbmétrisches Offset-Reflektiv-System ORS18

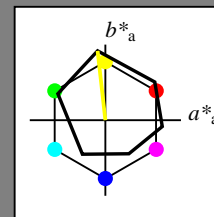
für Buntton $h^* = lab^*h = 96/360 = 0.268$

lab*tch und lab*nch

D65: Buntton Y

LCH*Ma: 90 92 96

olv*Ma: 1.0 1.0 0.0

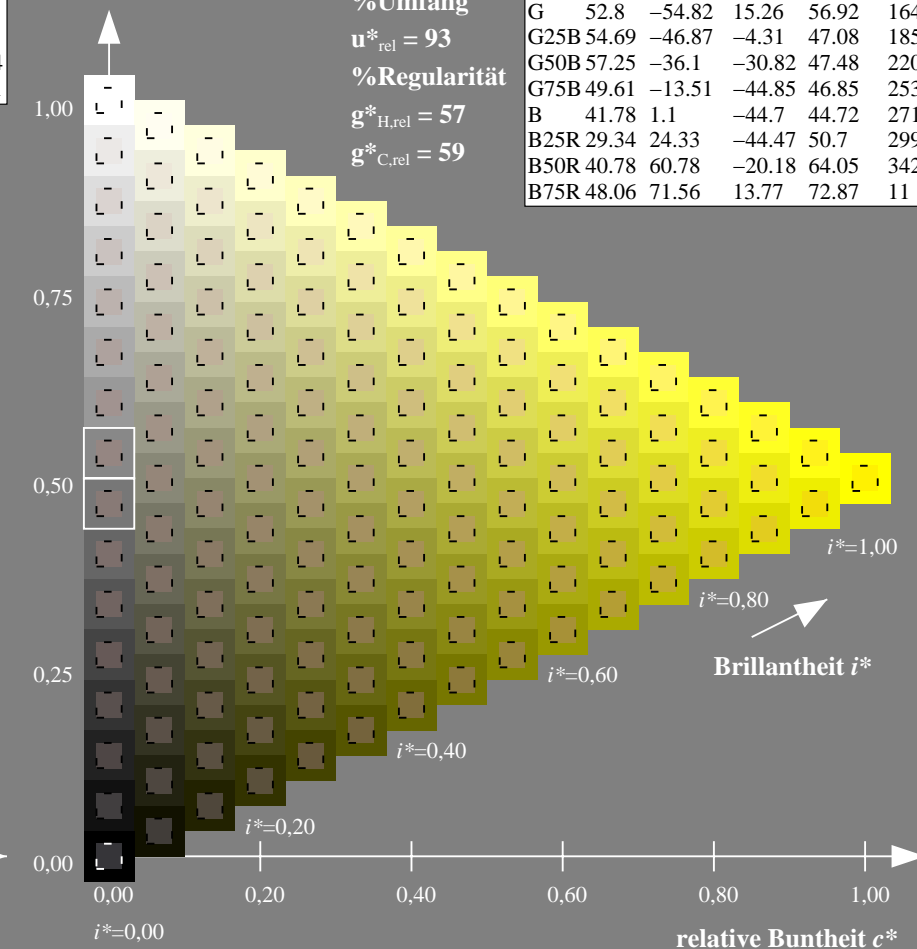


Dreiecks-Helligkeit t^*

%Umfang

$$\mathbf{u}_{\text{rel}}^* = 93$$

%Regularität

$$g^*_{H_{rel}} = 57$$
$$g^*_{C_{rel}} = 59$$


ZG720-7F, 16stufige Reihen für konstanten CIELAB Buntton $96/360 = 0.268$ (rechts)

2/60 Eingabe: *rgb / cmy0 set(rgb/cmyk)color*
Ausgabe: keine Eingabeänderung

Ausgabe: keine Eingabeänderung

A horizontal line representing a 1D lattice with several sites marked by dots. The site at the far left is labeled '0' and is highlighted with a red background. The site at the far right is labeled 'L' and is highlighted with a green background. The sites in between are not labeled or highlighted.

Eingabe: Farbmétrisches Offset-Reflektiv-System ORS18

für Buntton $h^* = lab^*h = 151/360 = 0.419$

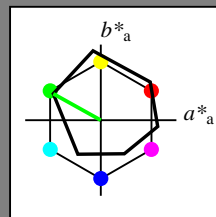
*lab*tch* und *lab*nch*

D65: Buntton L

LCH*Ma: 51 72 151

olv*Ma: 0.0 1.0 0.0

Dreiecks-Helligkeit t^*



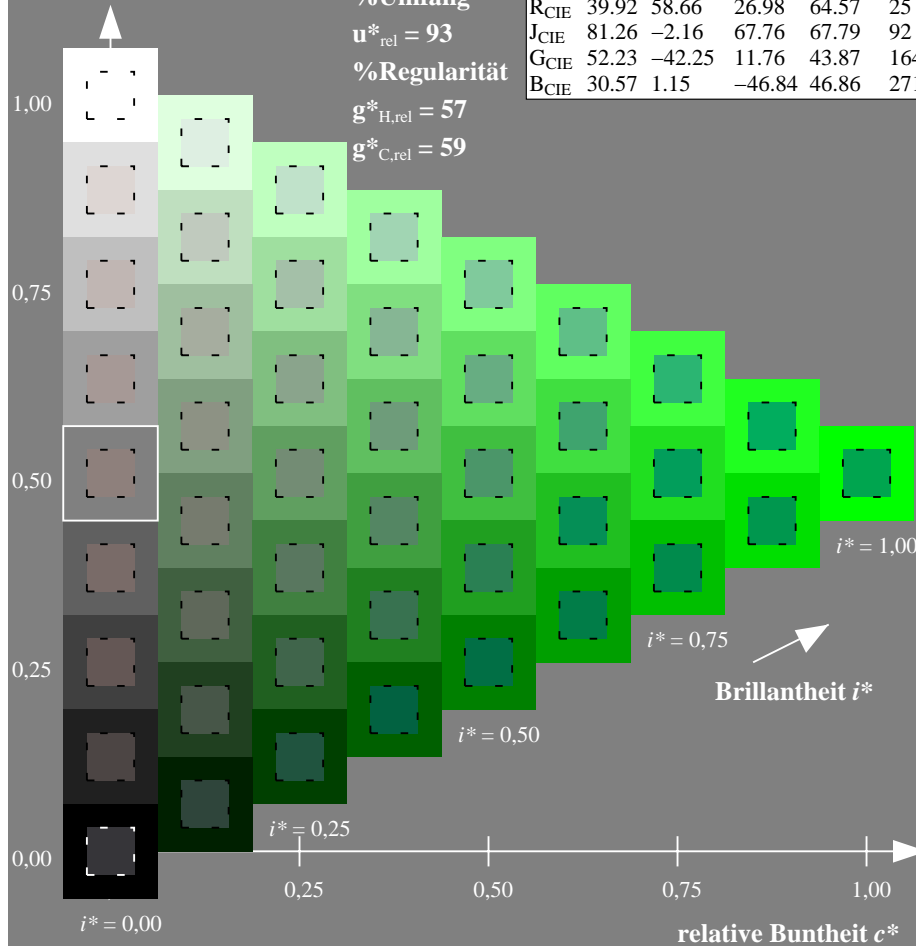
%Umfang

$$\mathbf{u}_{\text{rel}}^* = 93$$

%Regularität

$$g^*_{H,rel} = 57$$

g*_{C,rel} = 59

_ZG720-7F, 9stufige Reihen für konstanten CIELAB Buntton $151/360 = 0.419$ (links) Seite 3/60

BAM-Prüfvorlage ZG72; Farbmimetrik-Systeme, Seite 3/60
D65: 9 und 16stufige Farbreihen für 10 Bunttöne

Ausgabe: Farbmétrisches Offset-Reflektiv-System ORS18

für Buntton $h^* = lab^*h = 151/360 = 0.419$

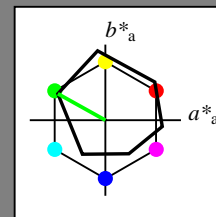
lab*tch* und *lab*nch

D65: Buntton L

LCH*Ma: 51 72 151

olv*Ma: 0.0 1.0 0.0

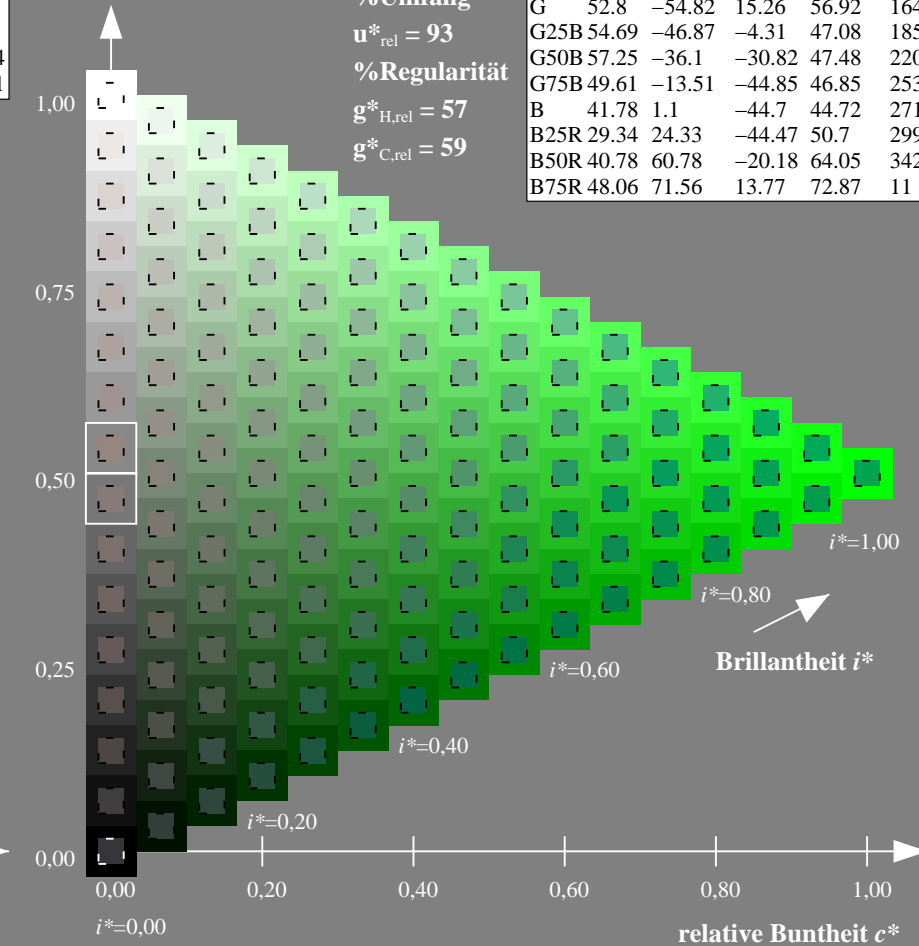
Dreiecks-Helligkeit t^*



%Umfang

$$\mathbf{u}_{\text{rel}}^* = 93$$

%Regularität

$$g^*_{H,rel} = 57$$


ZG720-7F, 16stufige Reihen für konstanten CIELAB Buntton $151/360 = 0.419$ (rechts)

Eingabe: *rgb / cmy0 set(rgb/cmyk)color*
Ausgabe: keine Eingabeänderung

Eingabe: Farbmétrisches Offset-Reflektiv-System ORS18

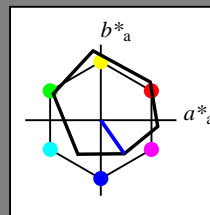
für Buntton $h^* = lab^*h = 305/360 = 0.847$

*lab*tch* und *lab*nch*

D65: Buntton V

LCH*Ma: 26 54 305

olv*Ma: 0.0 0.0 1.0

**ORS18; adaptierte CIELAB-Daten**

	$L^*=L^*_a$	a^*_a	b^*_a	$C^*_{ab,a}$	$h^*_{ab,a}$
O _{Ma}	47.94	65.39	50.52	82.63	38
Y _{Ma}	90.37	-10.26	91.75	92.32	96
L _{Ma}	50.9	-62.83	34.96	71.91	151
C _{Ma}	58.62	-30.34	-45.01	54.3	236
V _{Ma}	25.72	31.1	-44.4	54.22	305
M _{Ma}	48.13	75.28	-8.36	75.74	354
N _{Ma}	18.01	0.0	0.0	0.0	0
W _{Ma}	95.41	0.0	0.0	0.0	0
R _{CIE}	39.92	58.66	26.98	64.57	25
J _{CIE}	81.26	-2.16	67.76	67.79	92
G _{CIE}	52.23	-42.25	11.76	43.87	164
B _{CIE}	30.57	1.15	-46.84	46.86	271

Dreiecks-Helligkeit t^*

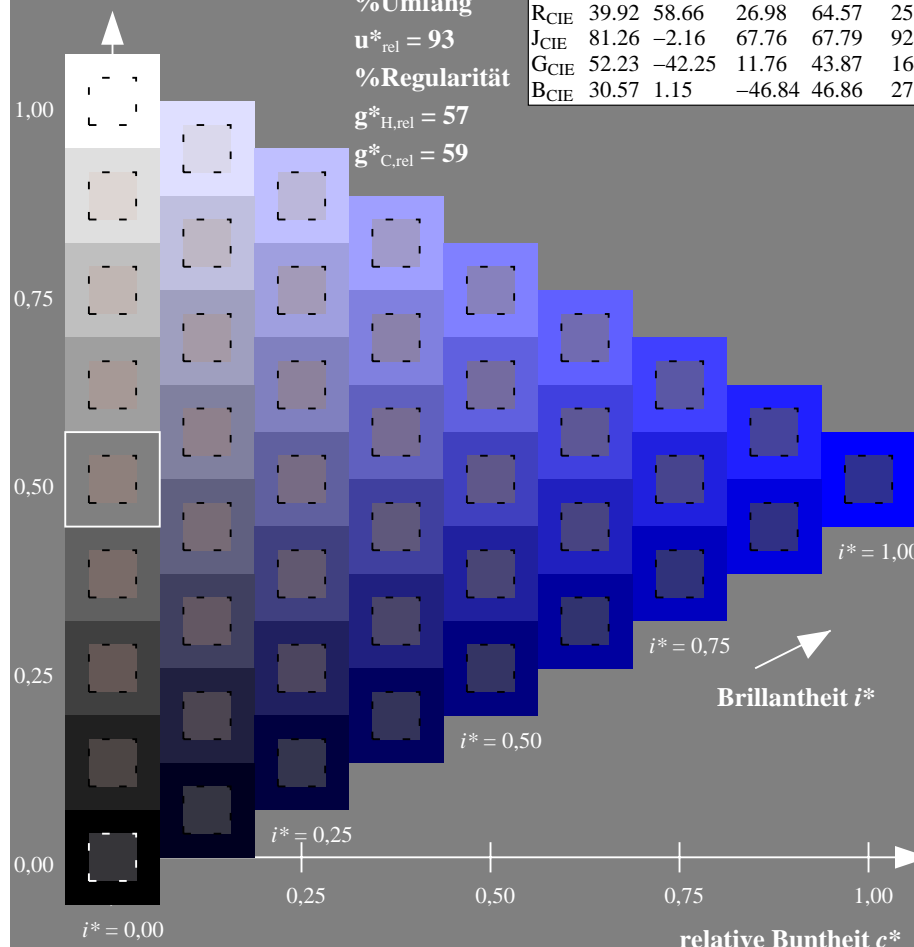
%Umfang

$$u^*_{rel} = 93$$

%Regularität

 $\sigma^*_{\text{H}_{\text{rel}}} = 57$

■ $g^*_{C_{rel}} = 59$

ZG720-7F, 9stufige Reihen für konstanten CIELAB Buntton $305/360 = 0.847$ (links) Seite 5/60

BAM-Prüfvorlage ZG72; Farbmeterik-Systeme, Seite 5/60
D65: 9 und 16stufige Farbreihen für 10 Bunttöne

Ausgabe: Farbmetrisches Offset-Reflektiv-System ORS18

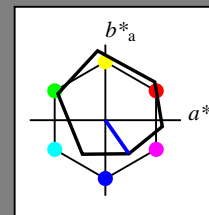
für Buntton $h^* = lab^*h = 305/360 = 0.847$

*lab*tch* und *lab*nch*

D65: Buntton V

LCH*Ma: 26 54 305

olv*Ma: 0.0 0.0 1.0

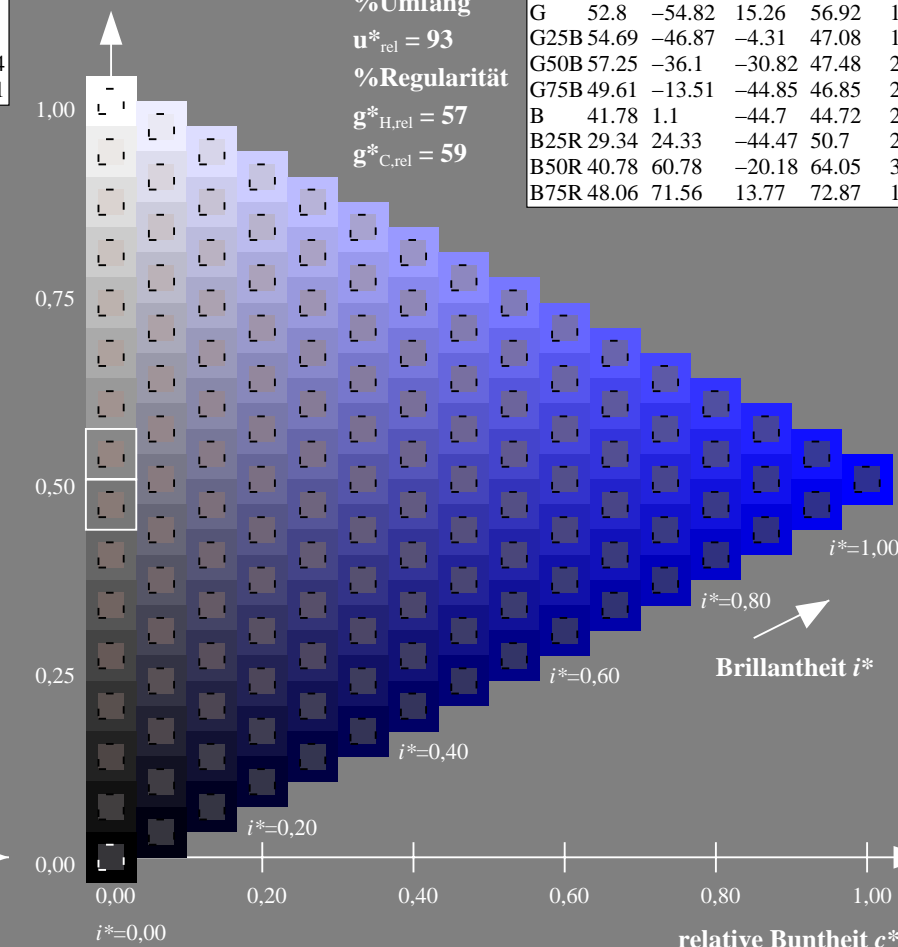


Dreiecks-Helligkeit t^*

%Umfang

$$u^*_{rel} = 93$$

%Regularität

 $\sigma^*_{\text{H}_{\text{col}}} = 57$
$$g^*_{C_{rel}} = 59$$
ZG720-7F, 16stufige Reihen für konstanten CIELAB Buntton $305/360 = 0.847$ (rechts)

Eingabe: *rgb / cmy0 set(rgb/cmyk)color*
Ausgabe: keine Eingabeänderung

Eingabe: Farbmimetrisches Offset-Reflektiv-System ORS18

für Buntton $h^* = lab^*h = 354/360 = 0.982$

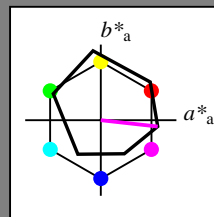
lab^*tch und lab^*nch

D65: Buntton M

LCH*Ma: 48 76 354

olv*Ma: 1.0 0.0 1.0

Dreiecks-Helligkeit t^*



%Umfang

$u^*_{rel} = 93$

%Regularität

$g^*_{H,rel} = 57$

$g^*_{C,rel} = 59$

ORS18; adaptierte CIELAB-Daten

	$L^*=L^*_a$	a^*_a	b^*_a	$C^*_{ab,a}$	$h^*_{ab,a}$
O _{Ma}	47.94	65.39	50.52	82.63	38
Y _{Ma}	90.37	-10.26	91.75	92.32	96
L _{Ma}	50.9	-62.83	34.96	71.91	151
C _{Ma}	58.62	-30.34	-45.01	54.3	236
V _{Ma}	25.72	31.1	-44.4	54.22	305
M _{Ma}	48.13	75.28	-8.36	75.74	354
N _{Ma}	18.01	0.0	0.0	0.0	0
W _{Ma}	95.41	0.0	0.0	0.0	0
R _{CIE}	39.92	58.66	26.98	64.57	25
J _{CIE}	81.26	-2.16	67.76	67.79	92
G _{CIE}	52.23	-42.25	11.76	43.87	164
B _{CIE}	30.57	1.15	-46.84	46.86	271

Ausgabe: Farbmimetrisches Offset-Reflektiv-System ORS18

für Buntton $h^* = lab^*h = 354/360 = 0.982$

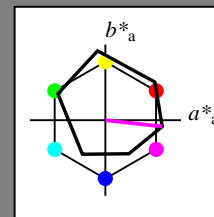
lab^*tch und lab^*nch

D65: Buntton M

LCH*Ma: 48 76 354

olv*Ma: 1.0 0.0 1.0

Dreiecks-Helligkeit t^*



%Umfang

$u^*_{rel} = 93$

%Regularität

$g^*_{H,rel} = 57$

$g^*_{C,rel} = 59$

ORS18; adaptierte CIELAB-Daten

	$L^*=L^*_a$	a^*_a	b^*_a	$C^*_{ab,a}$	$h^*_{ab,a}$
R	48.0	68.58	31.54	75.48	25
R25J	50.11	61.52	52.63	80.96	41
R50J	62.87	38.77	65.02	75.71	59
R75J	74.87	17.37	76.69	78.63	77
J	86.19	-2.8	87.69	87.73	92
J25G	84.01	-18.73	82.6	84.7	103
J50G	71.17	-35.83	64.13	73.46	119
J75G	56.99	-54.71	43.72	70.05	141
G	52.8	-54.82	15.26	56.92	164
G25B	54.69	-46.87	-4.31	47.08	185
G50B	57.25	-36.1	-30.82	47.48	220
G75B	49.61	-13.51	-44.85	46.85	253
B	41.78	1.1	-44.7	44.72	271
B25R	29.34	24.33	-44.47	50.7	299
B50R	40.78	60.78	-20.18	64.05	342
B75R	48.06	71.56	13.77	72.87	11

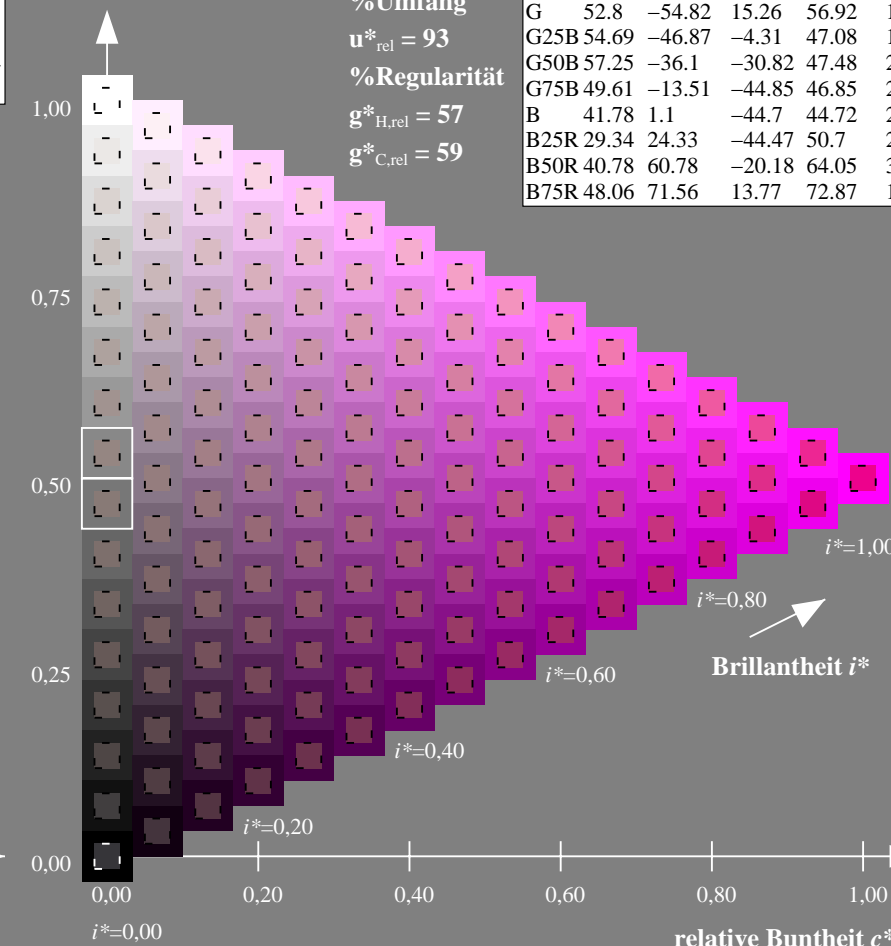
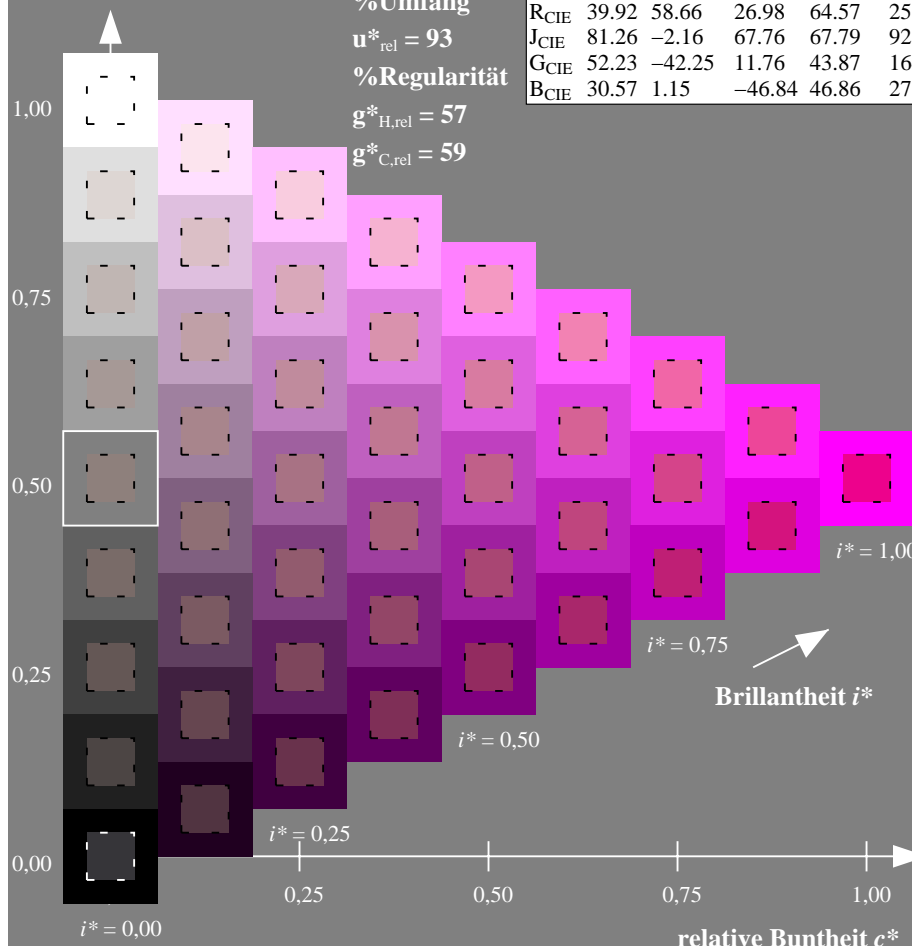
%Umfang

$u^*_{rel} = 93$

%Regularität

$g^*_{H,rel} = 57$

$g^*_{C,rel} = 59$



ZG720-7F, 9stufige Reihen für konstanten CIELAB Buntton 354/360 = 0.982 (links)

Seite 6/60

ZG720-7F, 16stufige Reihen für konstanten CIELAB Buntton 354/360 = 0.982 (rechts)

BAM-Prüfvorlage ZG72; Farbmimetrik-Systeme, Seite 6/60
D65: 9 und 16stufige Farbreihen für 10 Bunttöne

Eingabe: $rgb / cmy0$ set($rgb/cmyk$)color
Ausgabe: keine Eingabeänderung

BAM-Registrierung: 20071001-ZG72/10L/L72G00FA.PS/.TXT BAM-Material: Code=rh4ta
Anwendung für Beurteilung und Messung von Drucker- oder Monitorsystemen

Eingabe: Farbmétrisches Offset-Reflektiv-System ORS18

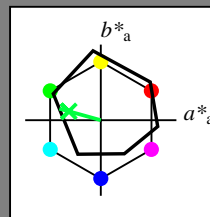
für Buntton $h^* = lab^*h = 164/360 = 0.457$

lab*tch und lab*nch

D65: Buntton G

LCH*Ma: 53 57 164

olv*Ma: 0.0 1.0 0.25



Dreiecks-Helligkeit t^*

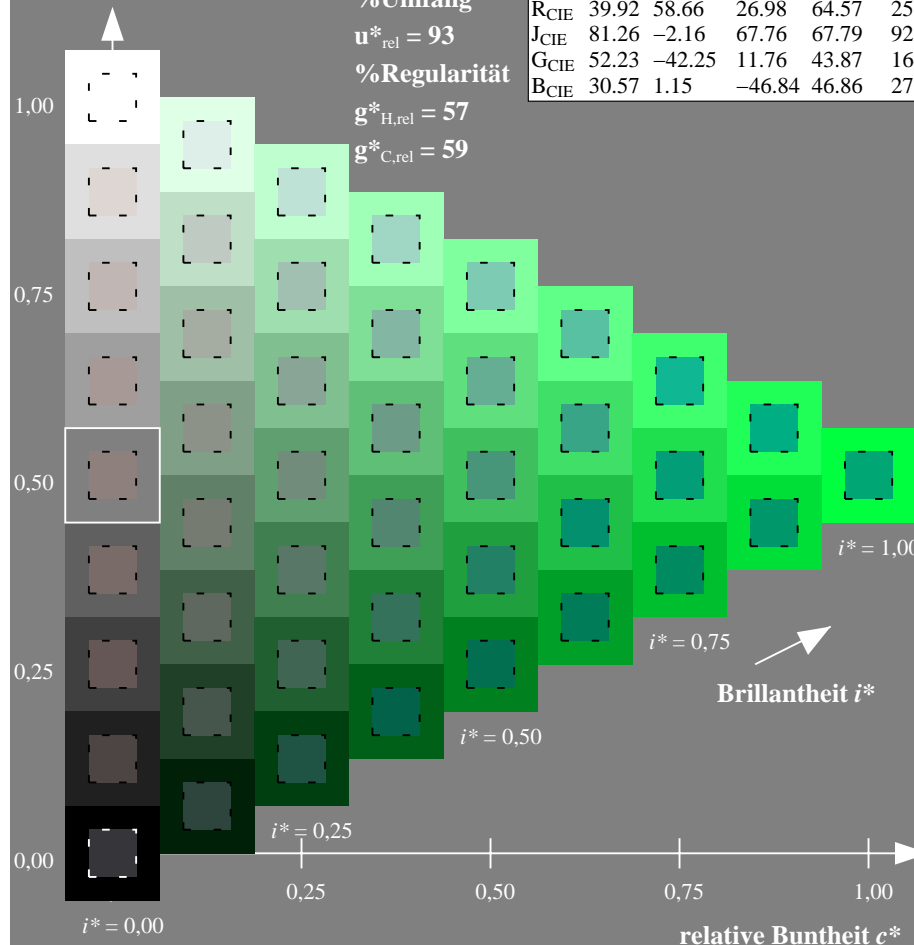
%Umfang

$$\mathbf{u}_{\text{rel}}^* = 93$$

%Regularität

$$g^*_{H_{rel}} = 57$$

g*_{C rel} = 59

ZG720-7F, 9stufige Reihen für konstanten CIELAB Buntton $164/360 = 0.457$ (links) Seite 9/60

BAM-Prüfvorlage ZG72; Farbmimetrik-Systeme, Seite 9/60
D65: 9 und 16stufige Farbreihen für 10 Bunntöne

Ausgabe: Farbmétrisches Offset-Reflektiv-System ORS18

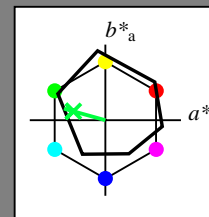
für Buntton $h^* = lab^*h = 164/360 = 0.457$

lab*tch und lab*nch

D65: Buntton G

LCH*Ma: 53 57 164

olv*Ma: 0.0 1.0 0.25

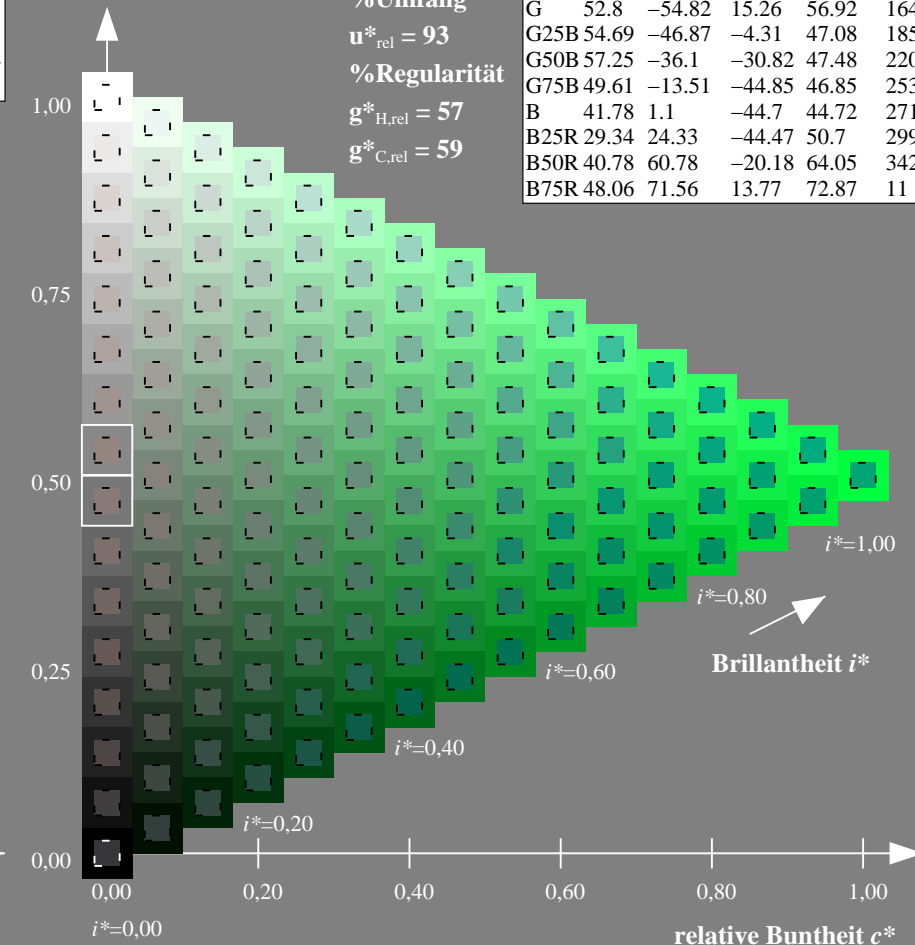


Dreiecks-Helligkeit t^*

%Umfang

$$\mathbf{u}_{\text{rel}}^* = 93$$

%Regularität

$$\mathbf{g}_{\text{H rel}}^* = 57$$
$$g^*_{C_{rel}} = 59$$


ZG720-7F, 16stufige Reihen für konstanten CIELAB Buntton $164/360 = 0.457$ (rechts)

Eingabe: *rgb / cmy0 set(rgb/cmyk)color*
Ausgabe: keine Eingabeänderung

Eingabe: Farbmétrisches Offset-Reflektiv-System ORS18

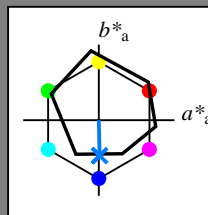
für Buntton $h^* = lab^*h = 271/360 = 0.754$

*lab*tch* und *lab*nch*

D65: Buntton B

LCH*Ma: 42 45 271

olv*Ma: 0.0 0.49 1.0



%Umfang

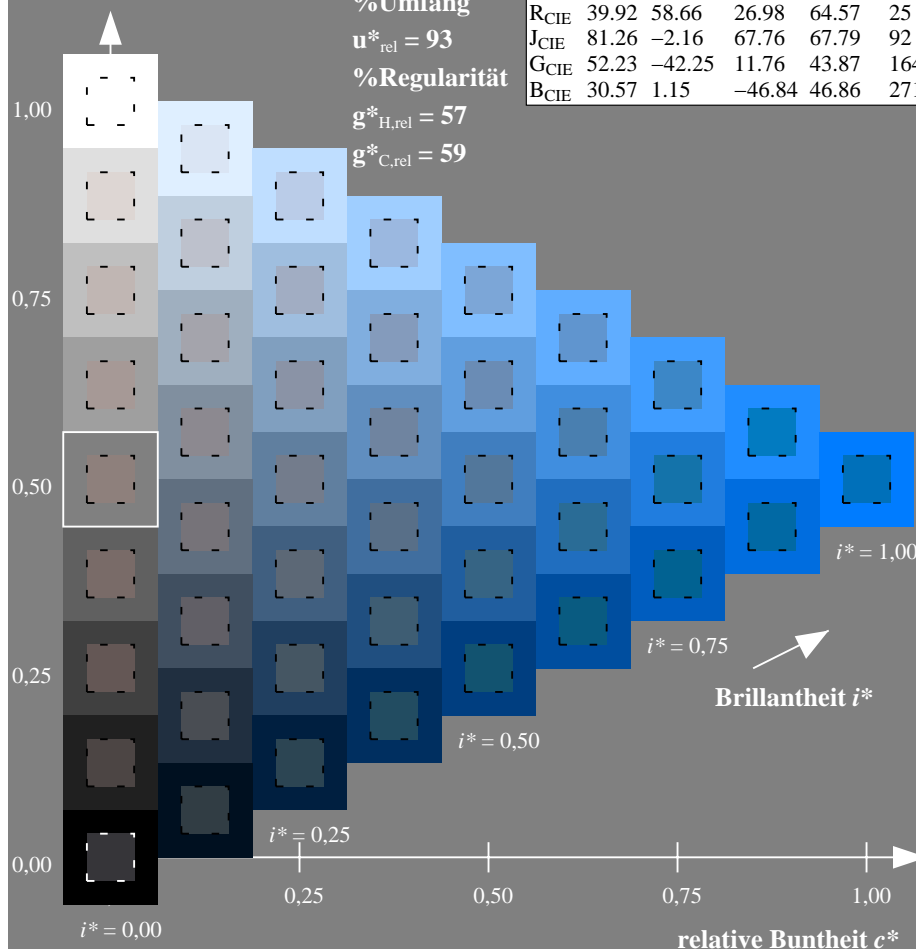
$$u_{rel}^* = 93$$

%Regularität

$$g^*_{H_{rel}} = 57$$

■ $g^*_{C_{rel}} = 59$

ORS18; adaptierte CIELAB-Daten					
	$L^* = L^*_{\text{a}}$	a^*_{a}	b^*_{a}	$C^*_{\text{ab,a}}$	$h^*_{\text{ab,a}}$
Q _{Ma}	47.94	65.39	50.52	82.63	38
Y _{Ma}	90.37	-10.26	91.75	92.32	96
L _{Ma}	50.9	-62.83	34.96	71.91	151
C _{Ma}	58.62	-30.34	-45.01	54.3	236
V _{Ma}	25.72	31.1	-44.4	54.22	305
M _{Ma}	48.13	75.28	-8.36	75.74	354
N _{Ma}	18.01	0.0	0.0	0.0	0
W _{Ma}	95.41	0.0	0.0	0.0	0
R _{CIE}	39.92	58.66	26.98	64.57	25
J _{CIE}	81.26	-2.16	67.76	67.79	92
G _{CIE}	52.23	-42.25	11.76	43.87	164
B _{CIE}	30.57	1.15	-46.84	46.86	271

ZG720–7F, 9stufige Reihen für konstanten CIELAB Buntton $271/360 = 0.754$ (links) Seite 10/60

BAM-Prüfvorlage ZG72; Farbmatrik-Systeme, Seite 10/60 Eingabe: *rgb / cmy0 set(rgb/cmy)color*
D65: 9 und 16stufige Farbreihen für 10 Bunttöne Ausgabe: keine Eingabeänderung

Ausgabe: Farbmétrisches Offset-Reflektiv-System ORS18

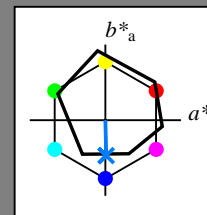
für Buntton $h^* = lab^*h = 271/360 = 0.754$

lab*tch und lab*nch

D65: Buntton B

LCH*Ma: 42 45 271

olv*Ma: 0.0 0.49 1.0



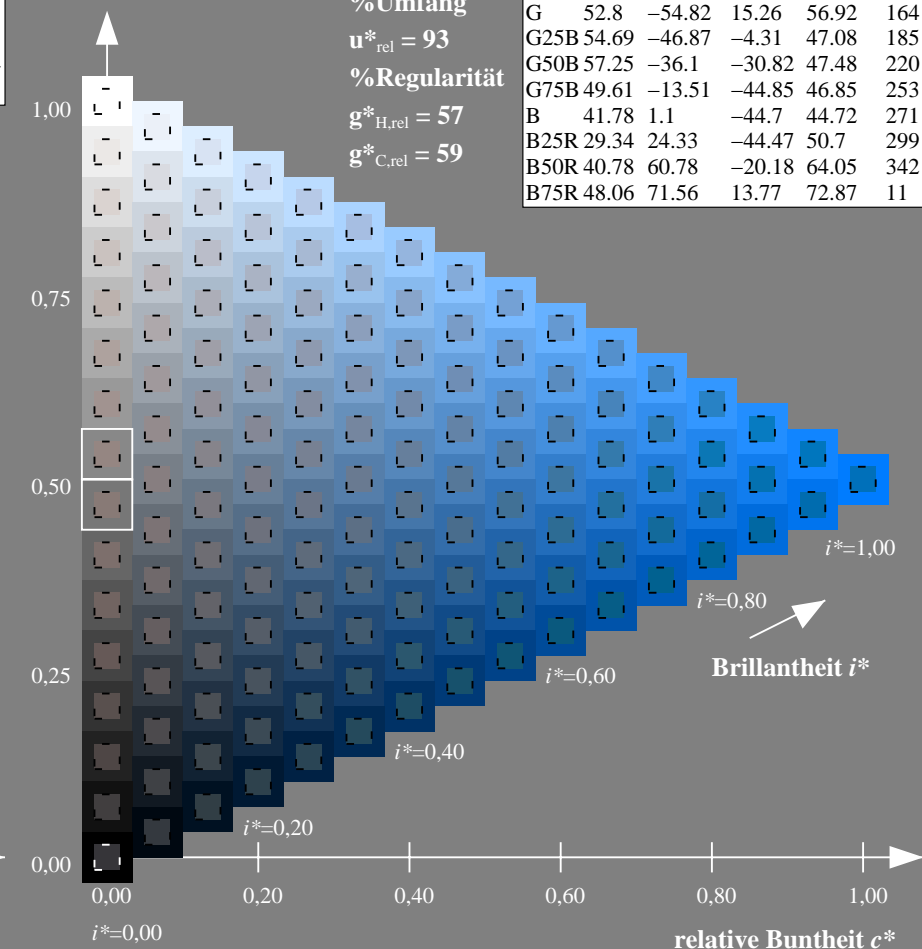
%Umfang

$$\mathbf{u}_{\text{rel}}^* = 93$$

%Regularität

$$g^*_{H_{rel}} = 57$$
$$\mathbf{g}_{C_{rel}}^* = 59$$

ORS18; adaptierte CIELAB-Daten					
	$L^* = L^*_a$	a^*_a	b^*_a	$C^*_{ab,a}$	$h^*_{ab,a}$
R	48.0	68.58	31.54	75.48	25
R25J	50.11	61.52	52.63	80.96	41
R50J	62.87	38.77	65.02	75.71	59
R75J	74.87	17.37	76.69	78.63	77
J	86.19	-2.8	87.69	87.73	92
J25G	84.01	-18.73	82.6	84.7	103
J50G	71.17	-35.83	64.13	73.46	119
J75G	56.99	-54.71	43.72	70.05	141
G	52.8	-54.82	15.26	56.92	164
G25B	54.69	-46.87	-4.31	47.08	185
G50B	57.25	-36.1	-30.82	47.48	220
G75B	49.61	-13.51	-44.85	46.85	253
B	41.78	1.1	-44.7	44.72	271
B25R	29.34	24.33	-44.47	50.7	299
B50R	40.78	60.78	-20.18	64.05	342
B75R	48.06	71.56	13.77	72.87	11

ZG720-7F, 16stufige Reihen für konstanten CIELAB Buntton $271/360 = 0.754$ (rechts)

Eingabe: Farbmétrisches Offset-Reflektiv-System ORS18

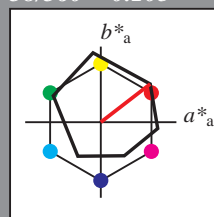
für Buntton $h^* = lab^*h = 38/360 = 0.105$

*lab*tch* und *lab*nch*

D65: Buntton O

LCH*Ma: 48 83 38

olv*Ma: 1.0 0.0 0.0



Dreiecks-Helligkeit t^*

%Umfang

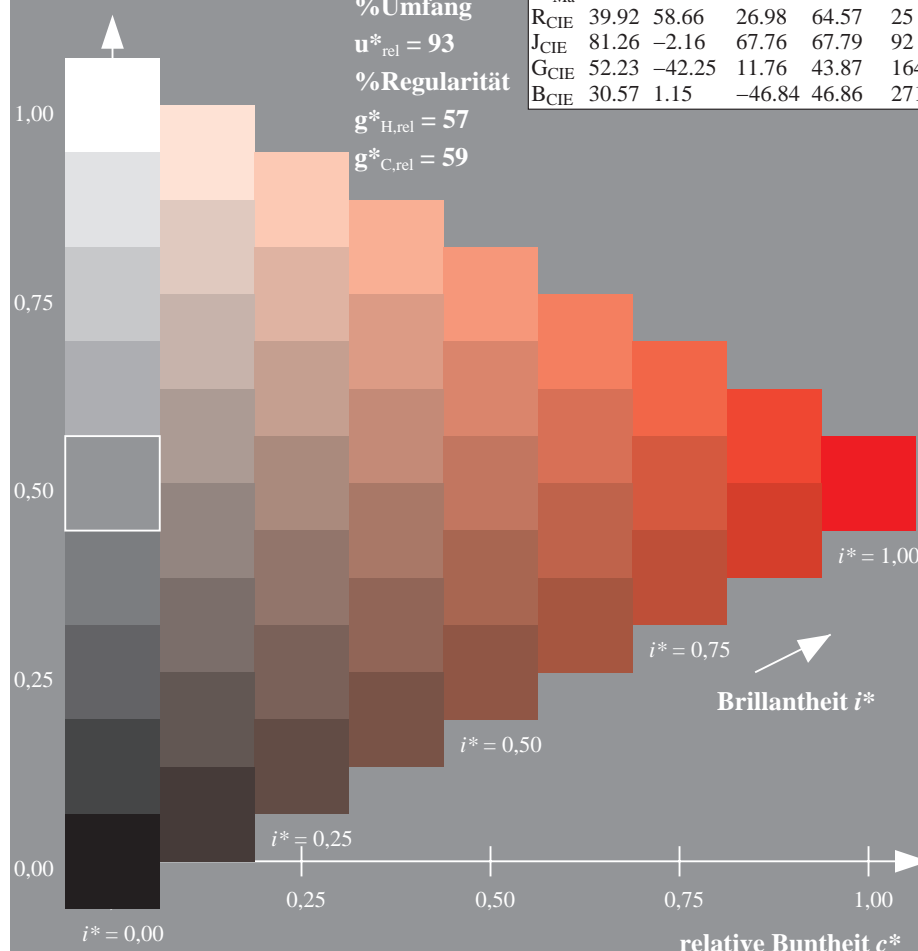
$$\mathbf{u}_{\text{rel}}^* = 93$$

%Regularität

$$g^*_{H_{rel}} = 57$$

$g^*_{C_{rel}} = 59$

ORS18; adaptierte CIELAB-Daten					
	L^*_a	a^*_a	b^*_a	$C^*_{ab,a}$	$h^*_{ab,a}$
O _{Ma}	47.94	65.39	50.52	82.63	38
Y _{Ma}	90.37	-10.26	91.75	92.32	96
L _{Ma}	50.9	-62.83	34.96	71.91	151
C _{Ma}	58.62	-30.34	-45.01	54.3	236
V _{Ma}	25.72	31.1	-44.4	54.22	305
M _{Ma}	48.13	75.28	-8.36	75.74	354
N _{Ma}	18.01	0.0	0.0	0.0	0
W _{Ma}	95.41	0.0	0.0	0.0	0
R _{CIE}	39.92	58.66	26.98	64.57	25
J _{CIE}	81.26	-2.16	67.76	67.79	92
G _{CIE}	52.23	-42.25	11.76	43.87	164
B _{CIE}	30.57	1.15	-46.84	46.86	271



ZG720-7F, 9stufige Reihen für konstanten CIELAB Buntton $38/360 = 0.105$ (links)

Seite 11/60

Ausgabe: Farbmétrisches Offset-Reflektiv-System ORS18

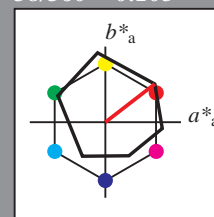
für Buntton $h^* = lab^*h = 38/360 = 0.105$

*lab*tch* und *lab*nch*

D65: Buntton O

LCH*Ma: 48 83 38

olv*Ma: 1.0 0.0 0.0



Dreiecks-Helligkeit t^*

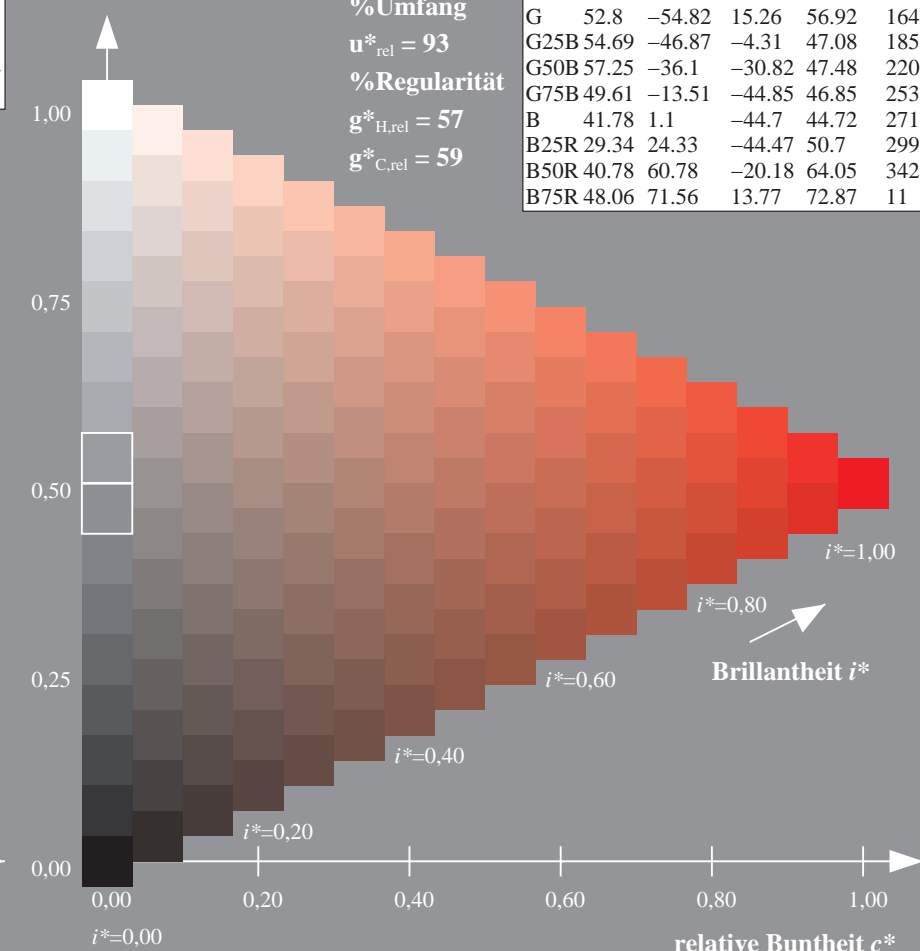
%Umfang

$$\mathbf{u}_{\text{rel}}^* = 93$$

%Regularität

$$g^*_{H_{rel}} = 57$$
$$\mathbf{g}_{\text{C rel}}^* = 59$$

ORS18; adaptierte CIELAB-Daten					
	L^*_a	a^*_a	b^*_a	$C^*_{ab,a}$	$h^*_{ab,a}$
R	48.0	68.58	31.54	75.48	25
R25J	50.11	61.52	52.63	80.96	41
R50J	62.87	38.77	65.02	75.71	59
R75J	74.87	17.37	76.69	78.63	77
J	86.19	-2.8	87.69	87.73	92
J25G	84.01	-18.73	82.6	84.7	103
J50G	71.17	-35.83	64.13	73.46	119
J75G	56.99	-54.71	43.72	70.05	141
G	52.8	-54.82	15.26	56.92	164
G25B	54.69	-46.87	-4.31	47.08	185
G50B	57.25	-36.1	-30.82	47.48	220
G75B	49.61	-13.51	-44.85	46.85	253
B	41.78	1.1	-44.7	44.72	271
B25R	29.34	24.33	-44.47	50.7	299
B50R	40.78	60.78	-20.18	64.05	342
B75R	48.06	71.56	13.77	72.87	411

ZG720-7F, 16stufige Reihen für konstanten CIELAB Buntton $38/360 = 0.105$ (rechts)

BAM-Prüfvorlage ZG72: Farbmetrik-Systeme. Seite 11/60 Eingabe: *rgb / cmv0 set(rgb/cmyk)color*

D65: 9 und 16stufige Farbreihen für 10 Bunttöne

Ausgabe: $- \rightarrow LAB^* - \rightarrow cmvn4^* setcmvkcolo$

BAM-Registrierung: 20071001-ZG72/10/L172G00FA.PS/TXT BAM-Material: Code=rha4ta
Anwendung für Beurteilung und Messung von Drucker- oder Monitorsystemen

Eingabe: Farbmétrisches Offset-Reflektiv-System ORS18

für Buntton $h^* = lab^*h = 96/360 = 0.268$

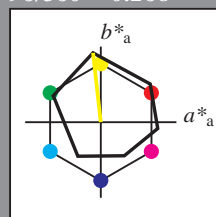
lab^*tch und lab^*nch

D65: Buntton Y

LCH*Ma: 90 92 96

olv*Ma: 1.0 1.0 0.0

Dreiecks-Helligkeit t^*



%Umfang

$u^*_{rel} = 93$

%Regularität

$g^*_{H,rel} = 57$

$g^*_{C,rel} = 59$

ORS18; adaptierte CIELAB-Daten

	$L^*=L^*_a$	a^*_a	b^*_a	$C^*_{ab,a}$	$h^*_{ab,a}$
O _{Ma}	47.94	65.39	50.52	82.63	38
Y _{Ma}	90.37	-10.26	91.75	92.32	96
L _{Ma}	50.9	-62.83	34.96	71.91	151
C _{Ma}	58.62	-30.34	-45.01	54.3	236
V _{Ma}	25.72	31.1	-44.4	54.22	305
M _{Ma}	48.13	75.28	-8.36	75.74	354
N _{Ma}	18.01	0.0	0.0	0.0	0
W _{Ma}	95.41	0.0	0.0	0.0	0
R _{CIE}	39.92	58.66	26.98	64.57	25
J _{CIE}	81.26	-2.16	67.76	67.79	92
G _{CIE}	52.23	-42.25	11.76	43.87	164
B _{CIE}	30.57	1.15	-46.84	46.86	271

Ausgabe: Farbmétrisches Offset-Reflektiv-System ORS18

für Buntton $h^* = lab^*h = 96/360 = 0.268$

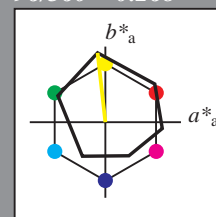
lab^*tch und lab^*nch

D65: Buntton Y

LCH*Ma: 90 92 96

olv*Ma: 1.0 1.0 0.0

Dreiecks-Helligkeit t^*



%Umfang

$u^*_{rel} = 93$

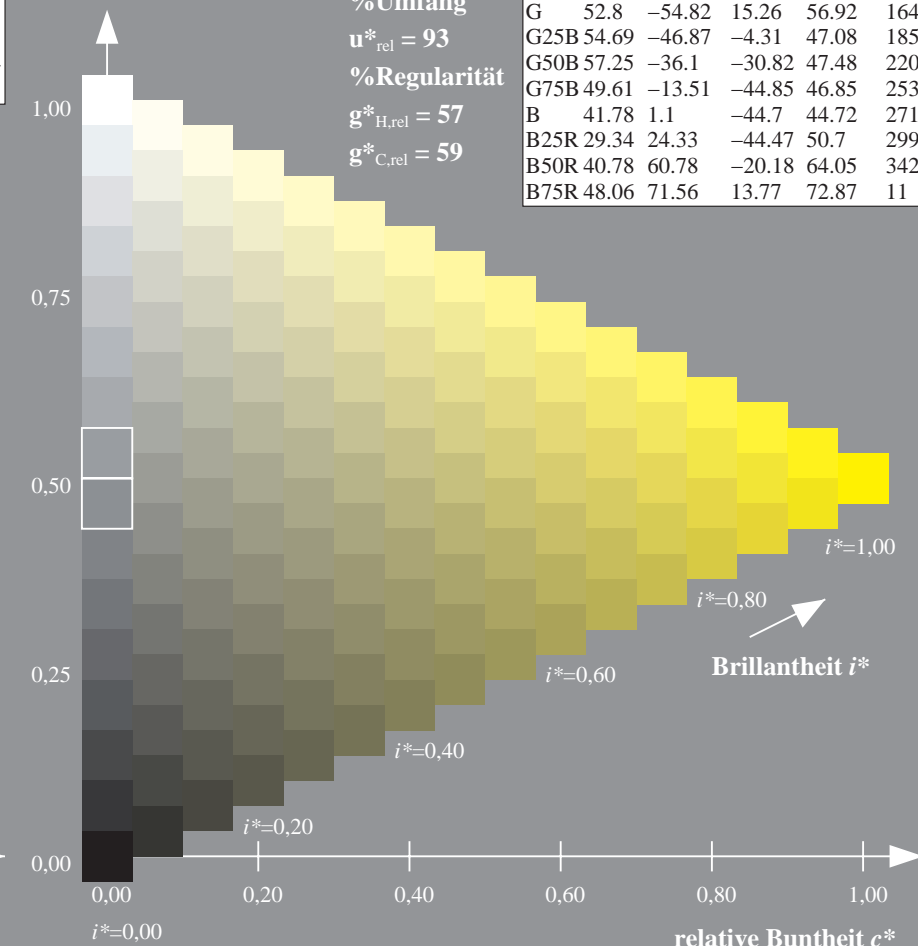
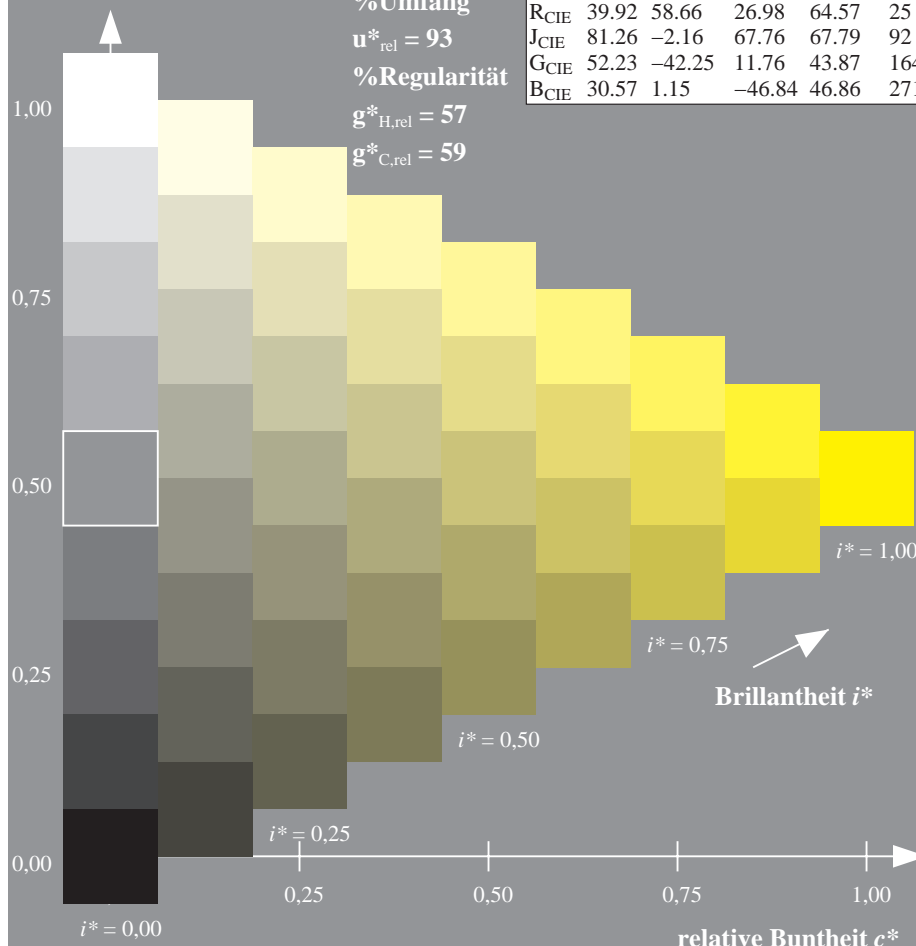
%Regularität

$g^*_{H,rel} = 57$

$g^*_{C,rel} = 59$

ORS18; adaptierte CIELAB-Daten

	$L^*=L^*_a$	a^*_a	b^*_a	$C^*_{ab,a}$	$h^*_{ab,a}$
R	48.0	68.58	31.54	75.48	25
R25J	50.11	61.52	52.63	80.96	41
R50J	62.87	38.77	65.02	75.71	59
R75J	74.87	17.37	76.69	78.63	77
J	86.19	-2.8	87.69	87.73	92
J25G	84.01	-18.73	82.6	84.7	103
J50G	71.17	-35.83	64.13	73.46	119
J75G	56.99	-54.71	43.72	70.05	141
G	52.8	-54.82	15.26	56.92	164
G25B	54.69	-46.87	-4.31	47.08	185
G50B	57.25	-36.1	-30.82	47.48	220
G75B	49.61	-13.51	-44.85	46.85	253
B	41.78	1.1	-44.7	44.72	271
B25R	29.34	24.33	-44.47	50.7	299
B50R	40.78	60.78	-20.18	64.05	342
B75R	48.06	71.56	13.77	72.87	11



ZG720-7F, 9stufige Reihen für konstanten CIELAB Buntton 96/360 = 0.268 (links)

Seite 12/60

ZG720-7F, 16stufige Reihen für konstanten CIELAB Buntton 96/360 = 0.268 (rechts)

BAM-Prüfvorlage ZG72; Farbmétrik-Systeme, Seite 12/60 Eingabe: $rgb / cmy0$ set($rgb/cmyk$)color

D65: 9 und 16stufige Farbreihen für 10 Bunttöne

Ausgabe: $->LAB^*->cmy4^*$ setcmykcolo

Eingabe: Farbmimetrisches Offset-Reflektiv-System ORS18

für Buntton $h^* = lab^*h = 151/360 = 0.419$

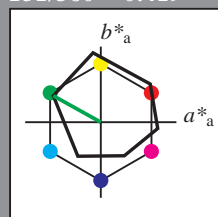
lab^*tch und lab^*nch

D65: Buntton L

LCH*Ma: 51 72 151

olv*Ma: 0.0 1.0 0.0

Dreiecks-Helligkeit t^*



%Umfang

$u^*_{rel} = 93$

%Regularität

$g^*_{H,rel} = 57$

$g^*_{C,rel} = 59$

ORS18; adaptierte CIELAB-Daten	$L^*=L^*_a$	a^*_a	b^*_a	$C^*_{ab,a}$	$h^*_{ab,a}$
O _{Ma}	47.94	65.39	50.52	82.63	38
Y _{Ma}	90.37	-10.26	91.75	92.32	96
L _{Ma}	50.9	-62.83	34.96	71.91	151
C _{Ma}	58.62	-30.34	-45.01	54.3	236
V _{Ma}	25.72	31.1	-44.4	54.22	305
M _{Ma}	48.13	75.28	-8.36	75.74	354
N _{Ma}	18.01	0.0	0.0	0.0	0
W _{Ma}	95.41	0.0	0.0	0.0	0
R _{CIE}	39.92	58.66	26.98	64.57	25
J _{CIE}	81.26	-2.16	67.76	67.79	92
G _{CIE}	52.23	-42.25	11.76	43.87	164
B _{CIE}	30.57	1.15	-46.84	46.86	271

Ausgabe: Farbmimetrisches Offset-Reflektiv-System ORS18

für Buntton $h^* = lab^*h = 151/360 = 0.419$

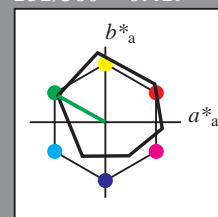
lab^*tch und lab^*nch

D65: Buntton L

LCH*Ma: 51 72 151

olv*Ma: 0.0 1.0 0.0

Dreiecks-Helligkeit t^*



%Umfang

$u^*_{rel} = 93$

%Regularität

$g^*_{H,rel} = 57$

$g^*_{C,rel} = 59$

ORS18; adaptierte CIELAB-Daten	$L^*=L^*_a$	a^*_a	b^*_a	$C^*_{ab,a}$	$h^*_{ab,a}$
R	48.0	68.58	31.54	75.48	25
R25J	50.11	61.52	52.63	80.96	41
R50J	62.87	38.77	65.02	75.71	59
R75J	74.87	17.37	76.69	78.63	77
J	86.19	-2.8	87.69	87.73	92
J25G	84.01	-18.73	82.6	84.7	103
J50G	71.17	-35.83	64.13	73.46	119
J75G	56.99	-54.71	43.72	70.05	141
G	52.8	-54.82	15.26	56.92	164
G25B	54.69	-46.87	-4.31	47.08	185
G50B	57.25	-36.1	-30.82	47.48	220
G75B	49.61	-13.51	-44.85	46.85	253
B	41.78	1.1	-44.7	44.72	271
B25R	29.34	24.33	-44.47	50.7	299
B50R	40.78	60.78	-20.18	64.05	342
B75R	48.06	71.56	13.77	72.87	11

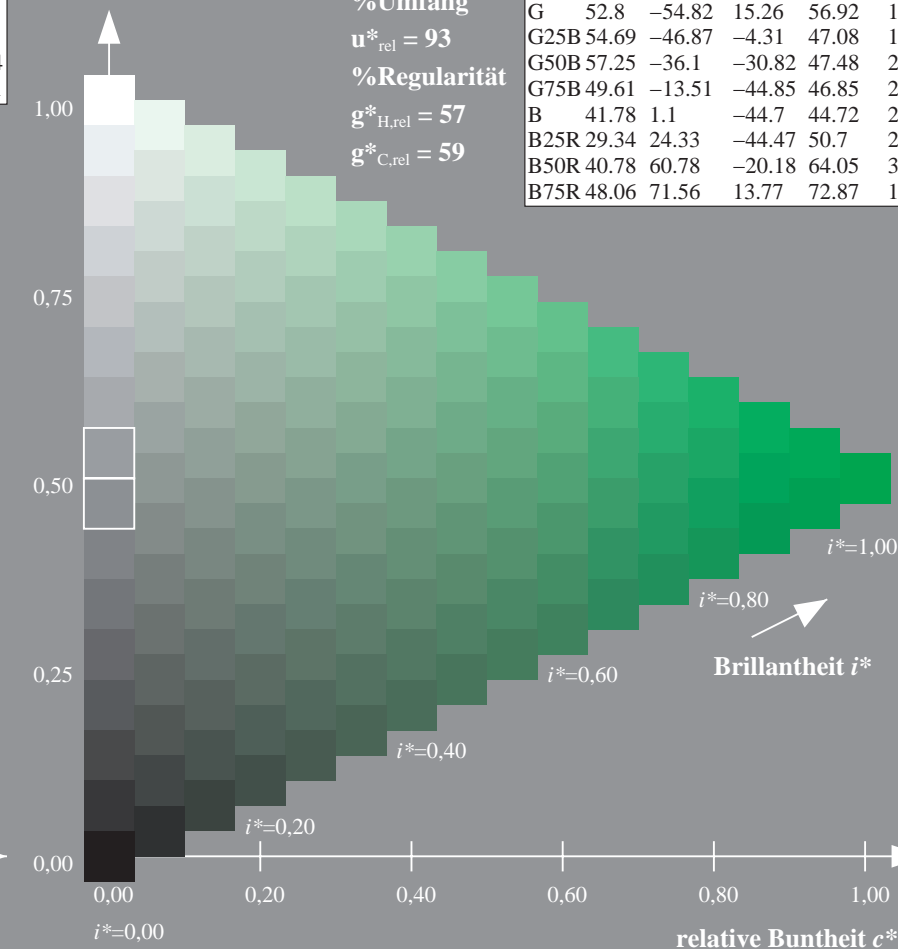
%Umfang

$u^*_{rel} = 93$

%Regularität

$g^*_{H,rel} = 57$

$g^*_{C,rel} = 59$



ZG720-7F, 9stufige Reihen für konstanten CIELAB Buntton 151/360 = 0.419 (links)

Seite 13/60

ZG720-7F, 16stufige Reihen für konstanten CIELAB Buntton 151/360 = 0.419 (rechts)

BAM-Prüfvorlage ZG72; Farbmimetrik-Systeme, Seite 13/60 Eingabe: $rgb / cmy0 set(rgb/cmyk)color$

D65: 9 und 16stufige Farbreihen für 10 Bunttöne

Ausgabe: $->LAB^*->cmy4^* setcmykcolo$

Eingabe: Farbmétrisches Offset-Reflektiv-System ORS18

für Buntton $h^* = lab^*h = 236/360 = 0.656$

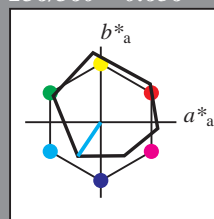
lab^*tch und lab^*nch

D65: Buntton C

LCH*Ma: 59 54 236

olv*Ma: 0.0 1.0 1.0

Dreiecks-Helligkeit t^*



%Umfang

$u^*_{rel} = 93$

%Regularität

$g^*_{H,rel} = 57$

$g^*_{C,rel} = 59$

ORS18; adaptierte CIELAB-Daten	$L^*=L^*_a$	a^*_a	b^*_a	$C^*_{ab,a}$	$h^*_{ab,a}$
O _{Ma}	47.94	65.39	50.52	82.63	38
Y _{Ma}	90.37	-10.26	91.75	92.32	96
L _{Ma}	50.9	-62.83	34.96	71.91	151
C _{Ma}	58.62	-30.34	-45.01	54.3	236
V _{Ma}	25.72	31.1	-44.4	54.22	305
M _{Ma}	48.13	75.28	-8.36	75.74	354
N _{Ma}	18.01	0.0	0.0	0.0	0
W _{Ma}	95.41	0.0	0.0	0.0	0
R _{CIE}	39.92	58.66	26.98	64.57	25
J _{CIE}	81.26	-2.16	67.76	67.79	92
G _{CIE}	52.23	-42.25	11.76	43.87	164
B _{CIE}	30.57	1.15	-46.84	46.86	271

Ausgabe: Farbmétrisches Offset-Reflektiv-System ORS18

für Buntton $h^* = lab^*h = 236/360 = 0.656$

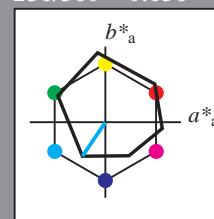
lab^*tch und lab^*nch

D65: Buntton C

LCH*Ma: 59 54 236

olv*Ma: 0.0 1.0 1.0

Dreiecks-Helligkeit t^*



%Umfang

$u^*_{rel} = 93$

%Regularität

$g^*_{H,rel} = 57$

$g^*_{C,rel} = 59$

ORS18; adaptierte CIELAB-Daten	$L^*=L^*_a$	a^*_a	b^*_a	$C^*_{ab,a}$	$h^*_{ab,a}$
R	48.0	68.58	31.54	75.48	25
R25J	50.11	61.52	52.63	80.96	41
R50J	62.87	38.77	65.02	75.71	59
R75J	74.87	17.37	76.69	78.63	77
J	86.19	-2.8	87.69	87.73	92
J25G	84.01	-18.73	82.6	84.7	103
J50G	71.17	-35.83	64.13	73.46	119
J75G	56.99	-54.71	43.72	70.05	141
G	52.8	-54.82	15.26	56.92	164
G25B	54.69	-46.87	-4.31	47.08	185
G50B	57.25	-36.1	-30.82	47.48	220
G75B	49.61	-13.51	-44.85	46.85	253
B	41.78	1.1	-44.7	44.72	271
B25R	29.34	24.33	-44.47	50.7	299
B50R	40.78	60.78	-20.18	64.05	342
B75R	48.06	71.56	13.77	72.87	11

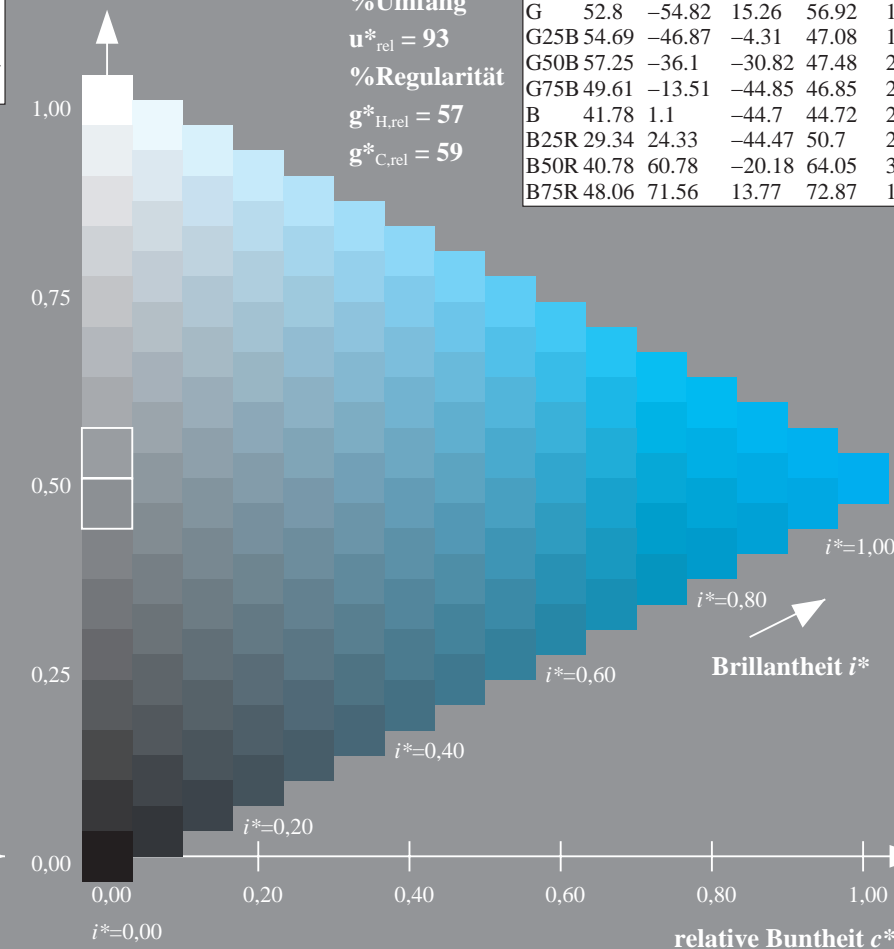
%Umfang

$u^*_{rel} = 93$

%Regularität

$g^*_{H,rel} = 57$

$g^*_{C,rel} = 59$



ZG720-7F, 9stufige Reihen für konstanten CIELAB Buntton 236/360 = 0.656 (links)

Seite 14/60

ZG720-7F, 16stufige Reihen für konstanten CIELAB Buntton 236/360 = 0.656 (rechts)

BAM-Prüfvorlage ZG72; Farbmétrik-Systeme, Seite 14/60 Eingabe: $rgb / cmy0$ set($rgb/cmyk$)color

D65: 9 und 16stufige Farbreihen für 10 Bunttöne

Ausgabe: $->LAB^*->cmy4^*$ set($cmykcolo$

Eingabe: Farbmétrisches Offset-Reflektiv-System ORS18

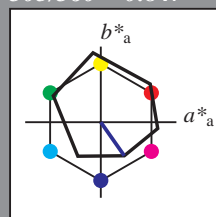
für Buntton $h^* = lab^*h = 305/360 = 0.847$

*lab*tch* und *lab*nch*

D65: Buntton V

LCH*Ma: 26 54 305

olv*Ma: 0.0 0.0 1.0



Dreiecks-Helligkeit t^*

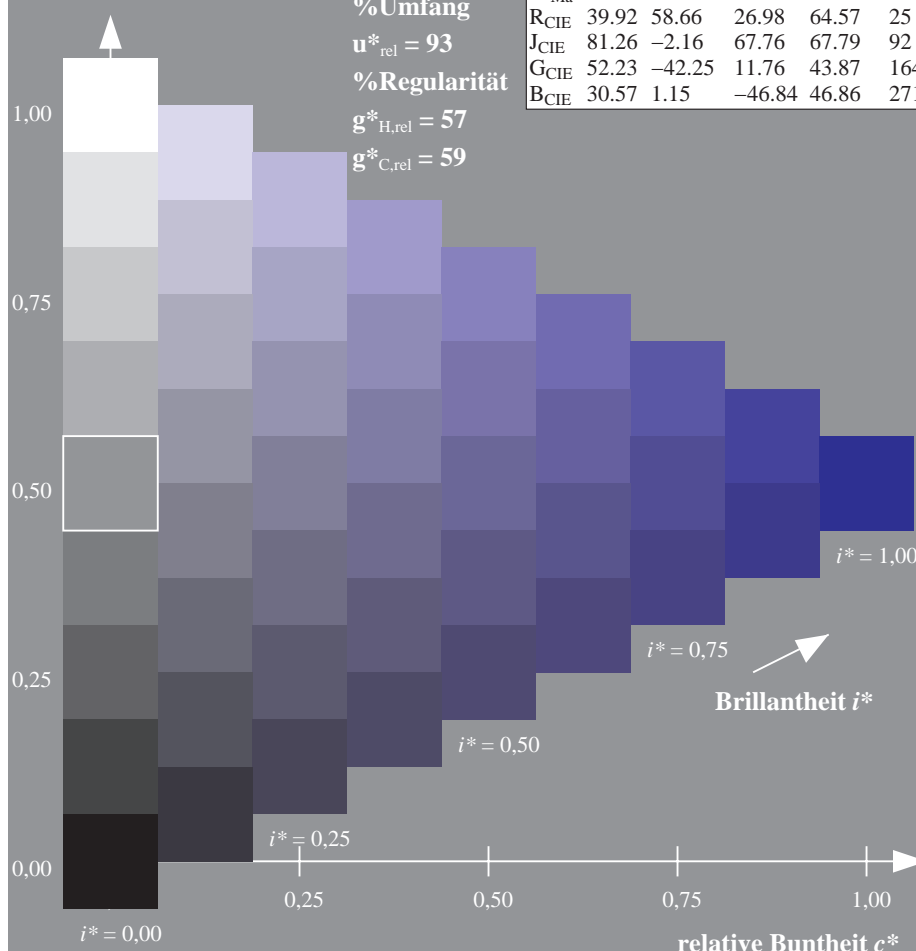
%Umfang

 $u^*_{rel} = 93$

%Regularität

$$g^*_{H_{rel}} = 57$$

$g^*_{C_{rel}} = 59$

ZG720-7F, 9stufige Reihen für konstanten CIELAB Buntton $305/360 = 0.847$ (links) Seite 15/60

BAM-Prüfvorlage ZG72; Farbmetrik-Systeme, S
D65: 9 und 16stufige Farbreihen für 10 Bunttöne

Ausgabe: Farbmétrisches Offset-Reflektiv-System ORS18

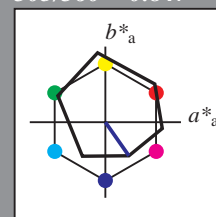
für Buntton $h^* = lab^*h = 305/360 = 0.847$

lab*tch und lab*nch

D65: Buntton V

LCH*Ma: 26 54 305

olv*Ma: 0.0 0.0 1.0

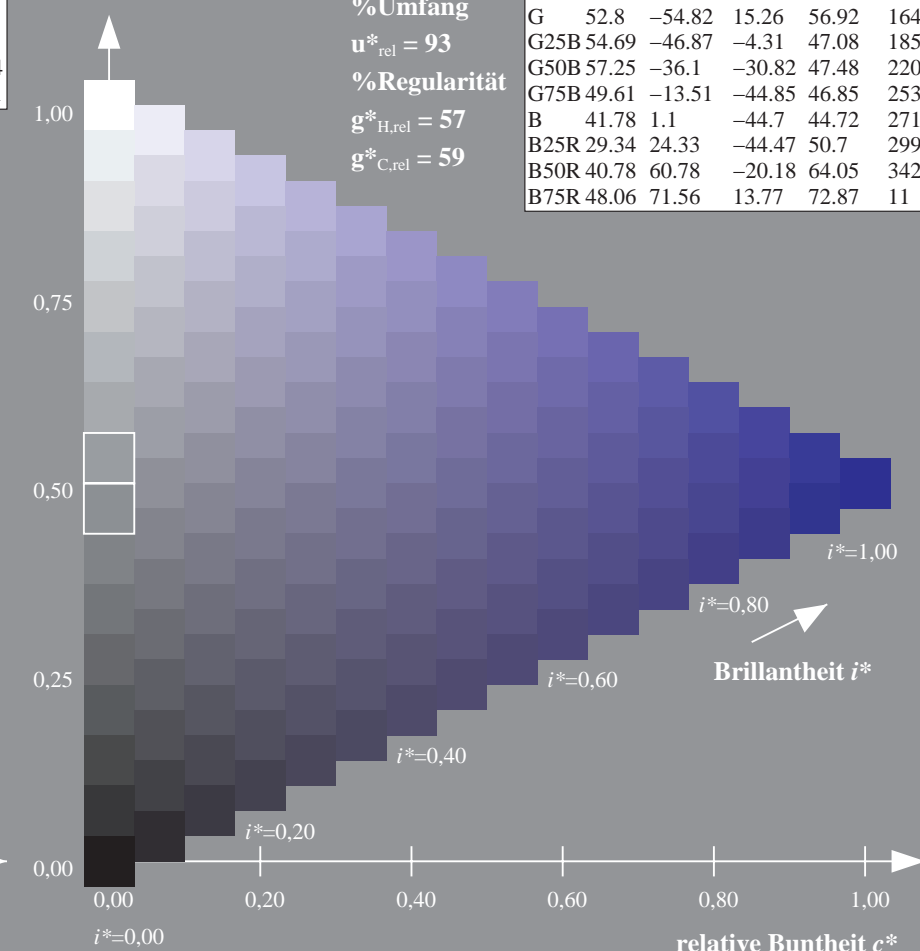


Dreiecks-Helligkeit t^*

%Umfang

$$u_{rel}^* = 93$$

%Regularität

$$g^*_{H_{rel}} = 57$$
$$g^*_{C_{rel}} = 59$$
ZG720-7F, 16stufige Reihen für konstanten CIELAB Buntton $305/360 = 0.847$ (rechts)

0) Eingabe: *rgb / cmy0 set(rgb/cmyk)color*
Ausgabe: $\rightarrow LAB^* \rightarrow cmy n4^* setcmykcolor$

Eingabe: Farbmétrisches Offset-Reflektiv-System ORS18

für Buntton $h^* = lab^*h = 25/360 = 0.069$

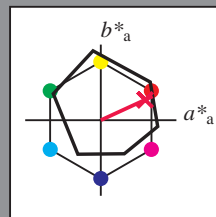
*lab*tch* und *lab*nch*

D65: Buntton R

LCH*Ma: 48 75 25

olv*Ma: 1.0 0.0 0.32

Dreiecks-Helligkeit t^*



%Umfang

$$\mathbf{u}_{\text{rel}}^* = 93$$

%Regularität

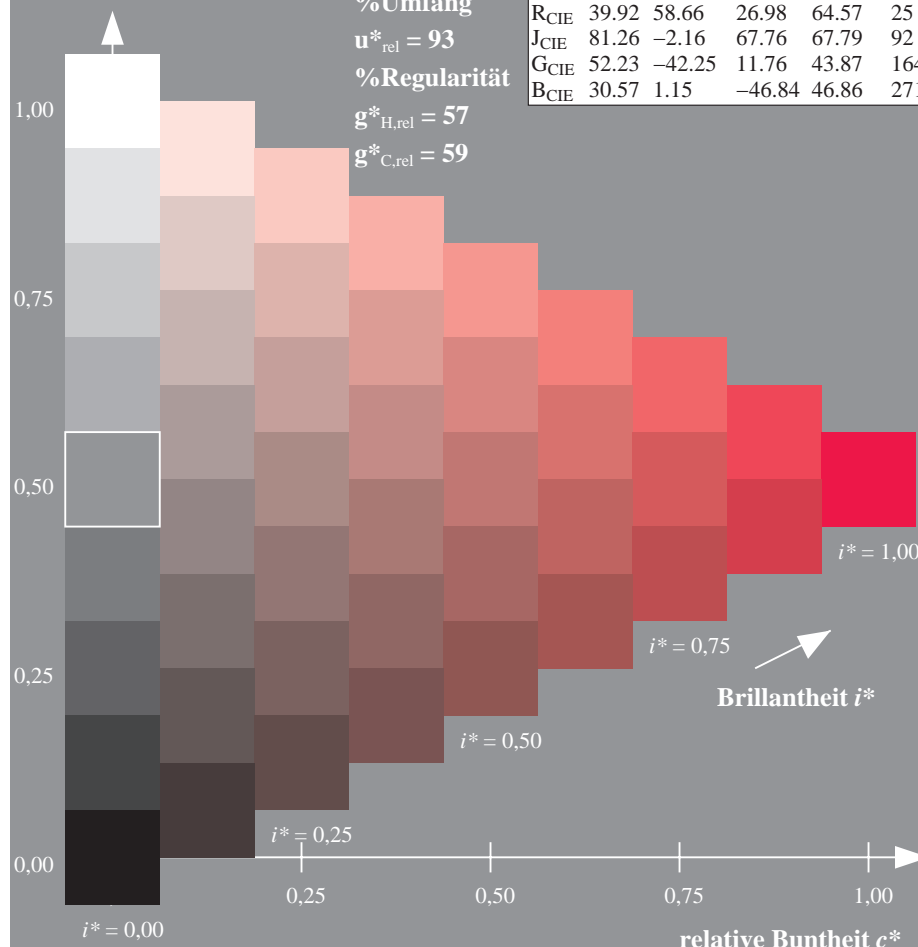
$$g^*_{H_{rel}} = 57$$

$g^*_{C_{rel}} = 59$

Response	Percentage
Yes, the current system is the best way to run the country	65%
No, the current system is not the best way to run the country	35%

ORS18; adaptierte CIELAB-Daten

	$L^* = L^*_a$	$d^* = d_a$	$b^* = b_a$	$C^* = C_{ab,a}$	$n^* = n_{ab,a}$
O _{Ma}	47.94	65.39	50.52	82.63	38
Y _{Ma}	90.37	-10.26	91.75	92.32	96
L _{Ma}	50.9	-62.83	34.96	71.91	151
C _{Ma}	58.62	-30.34	-45.01	54.3	236
V _{Ma}	25.72	31.1	-44.4	54.22	305
M _{Ma}	48.13	75.28	-8.36	75.74	354
N _{Ma}	18.01	0.0	0.0	0.0	0
W _{Ma}	95.41	0.0	0.0	0.0	0
R _{CIE}	39.92	58.66	26.98	64.57	25
J _{CIE}	81.26	-2.16	67.76	67.79	92
G _{CIE}	52.23	-42.25	11.76	43.87	164
B _{CIE}	30.57	1.15	-46.84	46.86	271



ZG720-7F, 9stufige Reihen für konstanten CIELAB Buntton $25/360 = 0.069$ (links)

Seite 17/60

BAM-Prüfvorlage ZG72: Farbmimetrik-Systeme. Seite

D65: 9 und 16stufige Farbreihen für 10 Bunttöne

Ausgabe: Farbmétrisches Offset-Reflektiv-System ORS18

für Buntton $h^* = lab^*h = 25/360 = 0.069$

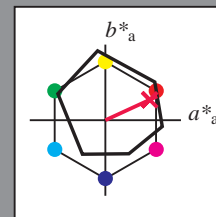
*lab*tch* und *lab*nch*

D65: Buntton R

LCH*Ma: 48 75 25

olv*Ma: 1.0 0.0 0.32

Dreiecks-Helligkeit t^*



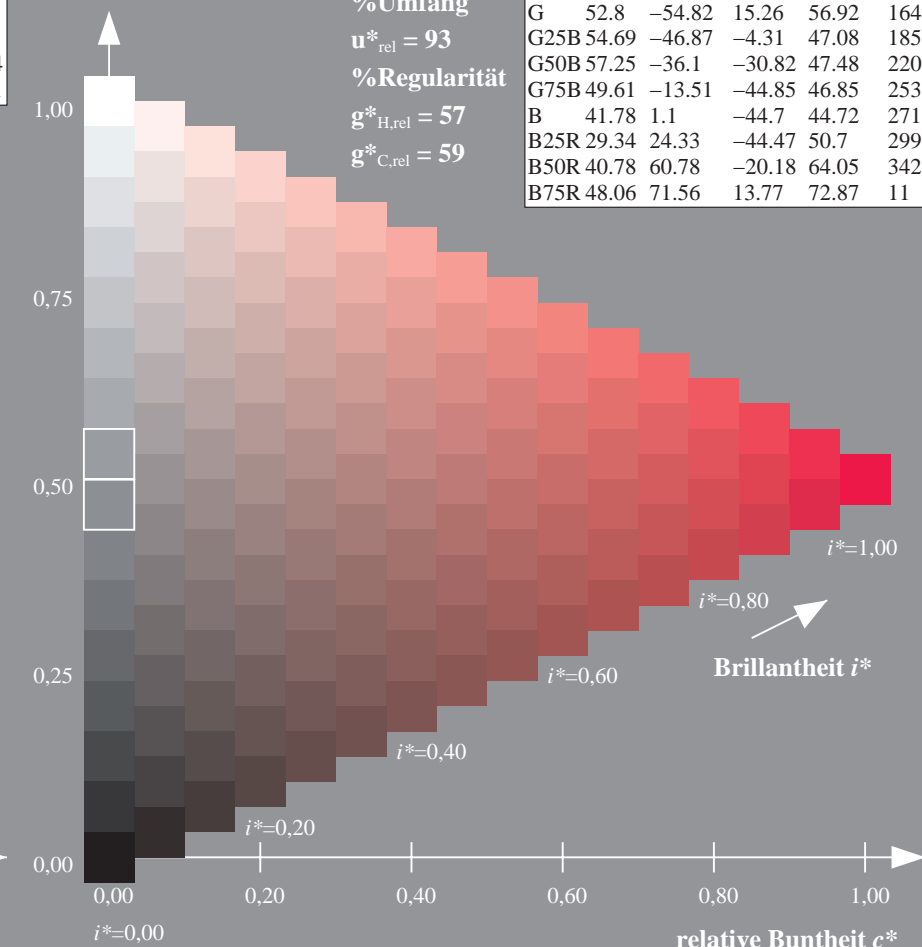
%Umfang

$$\mathbf{u}_{\text{rel}}^* = 93$$

%Regularität

$$g^*_{H_{rel}} = 57$$
$$g^*_{C_{rel}} = 59$$
ORS18; adaptierte CIELAB-Daten

	$L^* = L^*_a$	d^*_a	b^*_a	$C^*_{ab,a}$	$n^*_{ab,a}$
R	48.0	68.58	31.54	75.48	25
R25J	50.11	61.52	52.63	80.96	41
R50J	62.87	38.77	65.02	75.71	59
R75J	74.87	17.37	76.69	78.63	77
J	86.19	-2.8	87.69	87.73	92
J25G	84.01	-18.73	82.6	84.7	103
J50G	71.17	-35.83	64.13	73.46	119
J75G	56.99	-54.71	43.72	70.05	141
G	52.8	-54.82	15.26	56.92	164
G25B	54.69	-46.87	-4.31	47.08	185
G50B	57.25	-36.1	-30.82	47.48	220
G75B	49.61	-13.51	-44.85	46.85	253
B	41.78	1.1	-44.7	44.72	271
B25R	29.34	24.33	-44.47	50.7	299
B50R	40.78	60.78	-20.18	64.05	342
B75R	48.06	71.56	13.77	72.87	411

ZG720-7F, 16stufige Reihen für konstanten CIELAB Buntton $25/360 = 0.069$ (rechts)

0 Eingabe: *rgb / cmv0 set(rgb/cmyk)color*

Ausgabe: $->LAB^*->cmvn4^*setcmvkcolo$

Eingabe: Farbmimetrisches Offset-Reflektiv-System ORS18

für Buntton $h^* = lab^*h = 92/360 = 0.255$

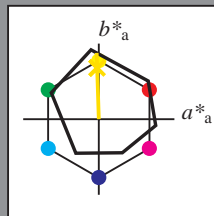
lab^*tch und lab^*nch

D65: Buntton J

LCH*Ma: 86 88 92

olv*Ma: 1.0 0.9 0.0

Dreiecks-Helligkeit t^*



%Umfang

$u^*_{rel} = 93$

%Regularität

$g^*_{H,rel} = 57$

$g^*_{C,rel} = 59$

ORS18; adaptierte CIELAB-Daten	$L^*=L^*_a$	a^*_a	b^*_a	$C^*_{ab,a}$	$h^*_{ab,a}$
O _{Ma}	47.94	65.39	50.52	82.63	38
Y _{Ma}	90.37	-10.26	91.75	92.32	96
L _{Ma}	50.9	-62.83	34.96	71.91	151
C _{Ma}	58.62	-30.34	-45.01	54.3	236
V _{Ma}	25.72	31.1	-44.4	54.22	305
M _{Ma}	48.13	75.28	-8.36	75.74	354
N _{Ma}	18.01	0.0	0.0	0.0	0
W _{Ma}	95.41	0.0	0.0	0.0	0
R _{CIE}	39.92	58.66	26.98	64.57	25
J _{CIE}	81.26	-2.16	67.76	67.79	92
G _{CIE}	52.23	-42.25	11.76	43.87	164
B _{CIE}	30.57	1.15	-46.84	46.86	271

Ausgabe: Farbmimetrisches Offset-Reflektiv-System ORS18

für Buntton $h^* = lab^*h = 92/360 = 0.255$

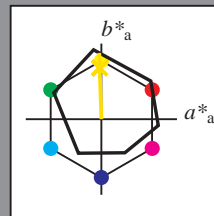
lab^*tch und lab^*nch

D65: Buntton J

LCH*Ma: 86 88 92

olv*Ma: 1.0 0.9 0.0

Dreiecks-Helligkeit t^*



%Umfang

$u^*_{rel} = 93$

%Regularität

$g^*_{H,rel} = 57$

$g^*_{C,rel} = 59$

ORS18; adaptierte CIELAB-Daten	$L^*=L^*_a$	a^*_a	b^*_a	$C^*_{ab,a}$	$h^*_{ab,a}$
R	48.0	68.58	31.54	75.48	25
R25J	50.11	61.52	52.63	80.96	41
R50J	62.87	38.77	65.02	75.71	59
R75J	74.87	17.37	76.69	78.63	77
J	86.19	-2.8	87.69	87.73	92
J25G	84.01	-18.73	82.6	84.7	103
J50G	71.17	-35.83	64.13	73.46	119
J75G	56.99	-54.71	43.72	70.05	141
G	52.8	-54.82	15.26	56.92	164
G25B	54.69	-46.87	-4.31	47.08	185
G50B	57.25	-36.1	-30.82	47.48	220
G75B	49.61	-13.51	-44.85	46.85	253
B	41.78	1.1	-44.7	44.72	271
B25R	29.34	24.33	-44.47	50.7	299
B50R	40.78	60.78	-20.18	64.05	342
B75R	48.06	71.56	13.77	72.87	11

%Umfang

$u^*_{rel} = 93$

%Regularität

$g^*_{H,rel} = 57$

$g^*_{C,rel} = 59$

%Umfang

$u^*_{rel} = 93$

%Regularität

$g^*_{H,rel} = 57$

$g^*_{C,rel} = 59$

%Umfang

$u^*_{rel} = 93$

%Regularität

$g^*_{H,rel} = 57$

$g^*_{C,rel} = 59$

%Umfang

$u^*_{rel} = 93$

%Regularität

$g^*_{H,rel} = 57$

$g^*_{C,rel} = 59$

%Umfang

$u^*_{rel} = 93$

%Regularität

$g^*_{H,rel} = 57$

$g^*_{C,rel} = 59$

ZG720-7F, 9stufige Reihen für konstanten CIELAB Buntton 92/360 = 0.255 (links)

Seite 18/60

ZG720-7F, 16stufige Reihen für konstanten CIELAB Buntton 92/360 = 0.255 (rechts)

BAM-Prüfvorlage ZG72; Farbmimetrik-Systeme, Seite 18/60 Eingabe: $rgb / cmy0 set(rgb/cmyk)color$

D65: 9 und 16stufige Farbreihen für 10 Bunttöne

Ausgabe: $->LAB^*->cmy4^* setcmykcolo$

Eingabe: Farbmimetrisches Offset-Reflektiv-System ORS18

für Buntton $h^* = lab^*h = 164/360 = 0.457$

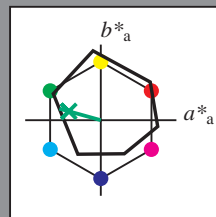
lab^*tch und lab^*nch

D65: Buntton G

LCH*Ma: 53 57 164

olv*Ma: 0.0 1.0 0.25

Dreiecks-Helligkeit t^*



%Umfang

$u^*_{rel} = 93$

%Regularität

$g^*_{H,rel} = 57$

$g^*_{C,rel} = 59$

ORS18; adaptierte CIELAB-Daten					
	$L^*=L^*_a$	a^*_a	b^*_a	$C^*_{ab,a}$	$h^*_{ab,a}$
O _{Ma}	47.94	65.39	50.52	82.63	38
Y _{Ma}	90.37	-10.26	91.75	92.32	96
L _{Ma}	50.9	-62.83	34.96	71.91	151
C _{Ma}	58.62	-30.34	-45.01	54.3	236
V _{Ma}	25.72	31.1	-44.4	54.22	305
M _{Ma}	48.13	75.28	-8.36	75.74	354
N _{Ma}	18.01	0.0	0.0	0.0	0
W _{Ma}	95.41	0.0	0.0	0.0	0
R _{CIE}	39.92	58.66	26.98	64.57	25
J _{CIE}	81.26	-2.16	67.76	67.79	92
G _{CIE}	52.23	-42.25	11.76	43.87	164
B _{CIE}	30.57	1.15	-46.84	46.86	271

Ausgabe: Farbmimetrisches Offset-Reflektiv-System ORS18

für Buntton $h^* = lab^*h = 164/360 = 0.457$

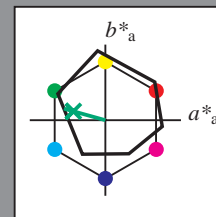
lab^*tch und lab^*nch

D65: Buntton G

LCH*Ma: 53 57 164

olv*Ma: 0.0 1.0 0.25

Dreiecks-Helligkeit t^*



%Umfang

$u^*_{rel} = 93$

%Regularität

$g^*_{H,rel} = 57$

$g^*_{C,rel} = 59$

ORS18; adaptierte CIELAB-Daten					
	$L^*=L^*_a$	a^*_a	b^*_a	$C^*_{ab,a}$	$h^*_{ab,a}$
R	48.0	68.58	31.54	75.48	25
R25J	50.11	61.52	52.63	80.96	41
R50J	62.87	38.77	65.02	75.71	59
R75J	74.87	17.37	76.69	78.63	77
J	86.19	-2.8	87.69	87.73	92
J25G	84.01	-18.73	82.6	84.7	103
J50G	71.17	-35.83	64.13	73.46	119
J75G	56.99	-54.71	43.72	70.05	141
G	52.8	-54.82	15.26	56.92	164
G25B	54.69	-46.87	-4.31	47.08	185
G50B	57.25	-36.1	-30.82	47.48	220
G75B	49.61	-13.51	-44.85	46.85	253
B	41.78	1.1	-44.7	44.72	271
B25R	29.34	24.33	-44.47	50.7	299
B50R	40.78	60.78	-20.18	64.05	342
B75R	48.06	71.56	13.77	72.87	11

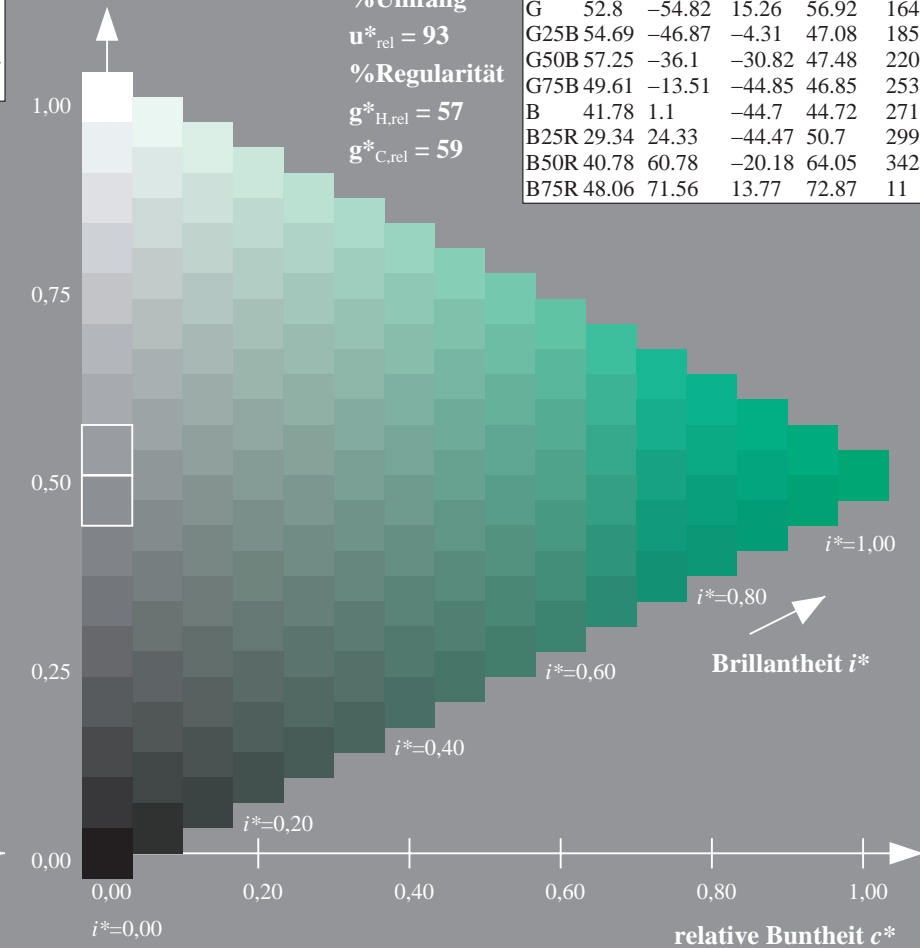
%Umfang

$u^*_{rel} = 93$

%Regularität

$g^*_{H,rel} = 57$

$g^*_{C,rel} = 59$



ZG720-7F, 9stufige Reihen für konstanten CIELAB Buntton 164/360 = 0.457 (links)

Seite 19/60

ZG720-7F, 16stufige Reihen für konstanten CIELAB Buntton 164/360 = 0.457 (rechts)

BAM-Prüfvorlage ZG72; Farbmimetrik-Systeme, Seite 19/60 Eingabe: $rgb / cmy0$ set($rgb/cmyk$)color

D65: 9 und 16stufige Farbreihen für 10 Bunttöne

Ausgabe: $->LAB^*->cmy4^*$ set($cmykcolo$

Eingabe: Farbmétrisches Offset-Reflektiv-System ORS18

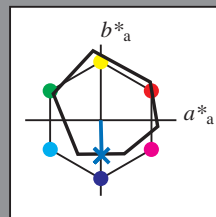
für Buntton $h^* = lab^*h = 271/360 = 0.754$

*lab*tch* und *lab*nch*

D65: Buntton B

LCH*Ma: 42 45 271

olv*Ma: 0.0 0.49 1.0



Dreiecks-Helligkeit t^*

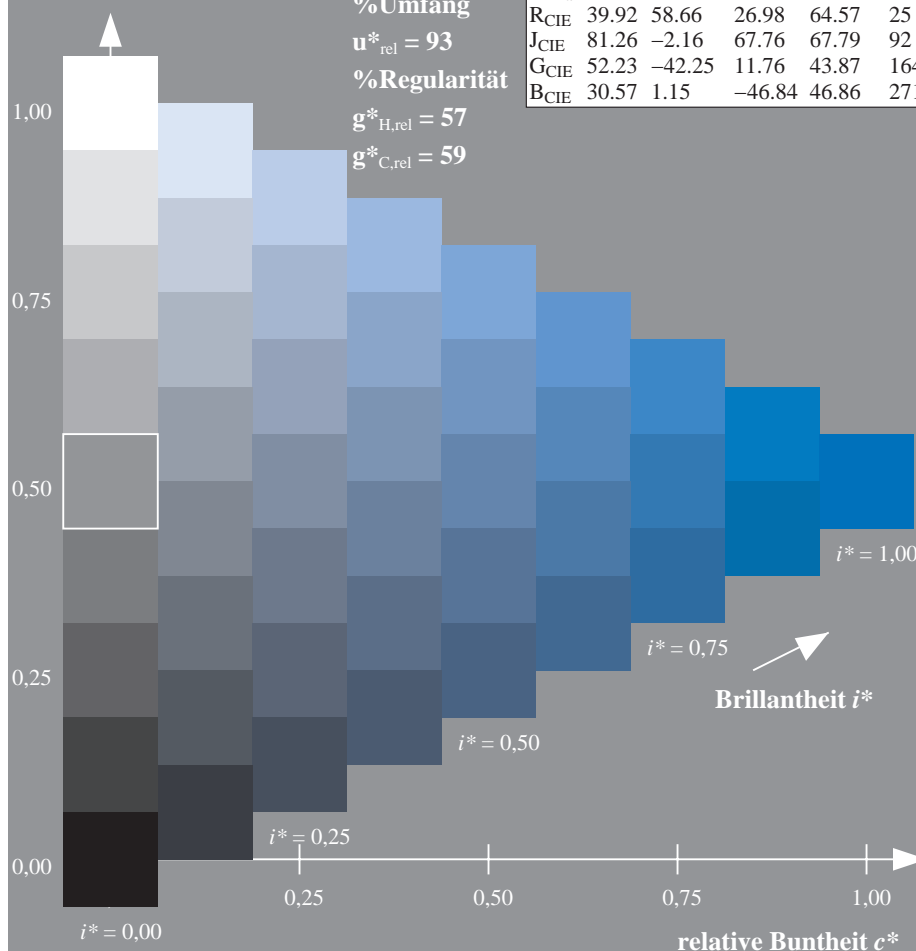
%Umfang

$$\mathbf{u}_{\text{rel}}^* = 93$$

%Regularität

$$g^*_{H,rel} = 57$$

$g^*_{C_{rel}} = 59$

ZG720-7F, 9stufige Reihen für konstanten CIELAB Buntton $271/360 = 0.754$ (links) Seite 20/60

BAM-Prüfvorlage ZG72: Farbmatrik-Systeme. Seite 20/60 Eingabe: *rgb / cmv0 set(rgb/cmvk)color*

D65: 9 und 16stufige Farbreihen für 10 Bunttöne

Ausgabe: Farbmétrisches Offset-Reflektiv-System ORS18

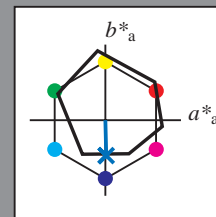
für Buntton $h^* = lab^*h = 271/360 = 0.754$

*lab*tch* und *lab*nch*

D65: Buntton B

LCH*Ma: 42 45 271

olv*Ma: 0.0 0.49 1.0

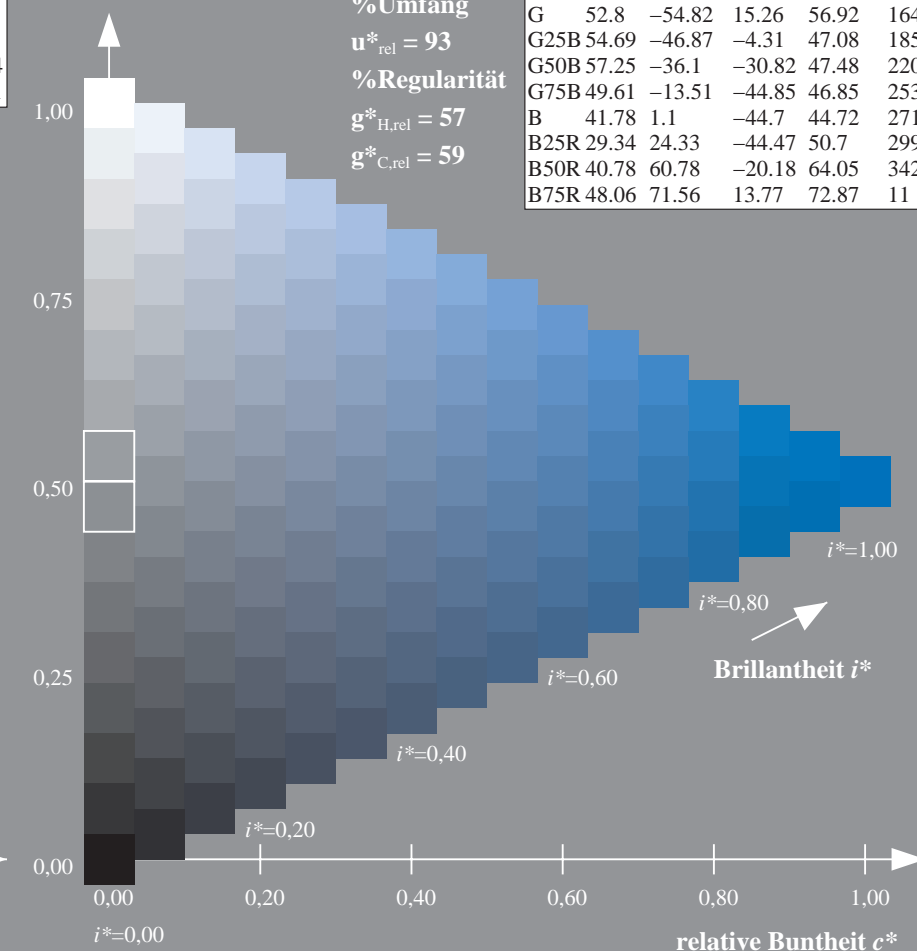


Dreiecks-Helligkeit t^*

%Umfang

$$\mathbf{u}_{\text{rel}}^* = 93$$

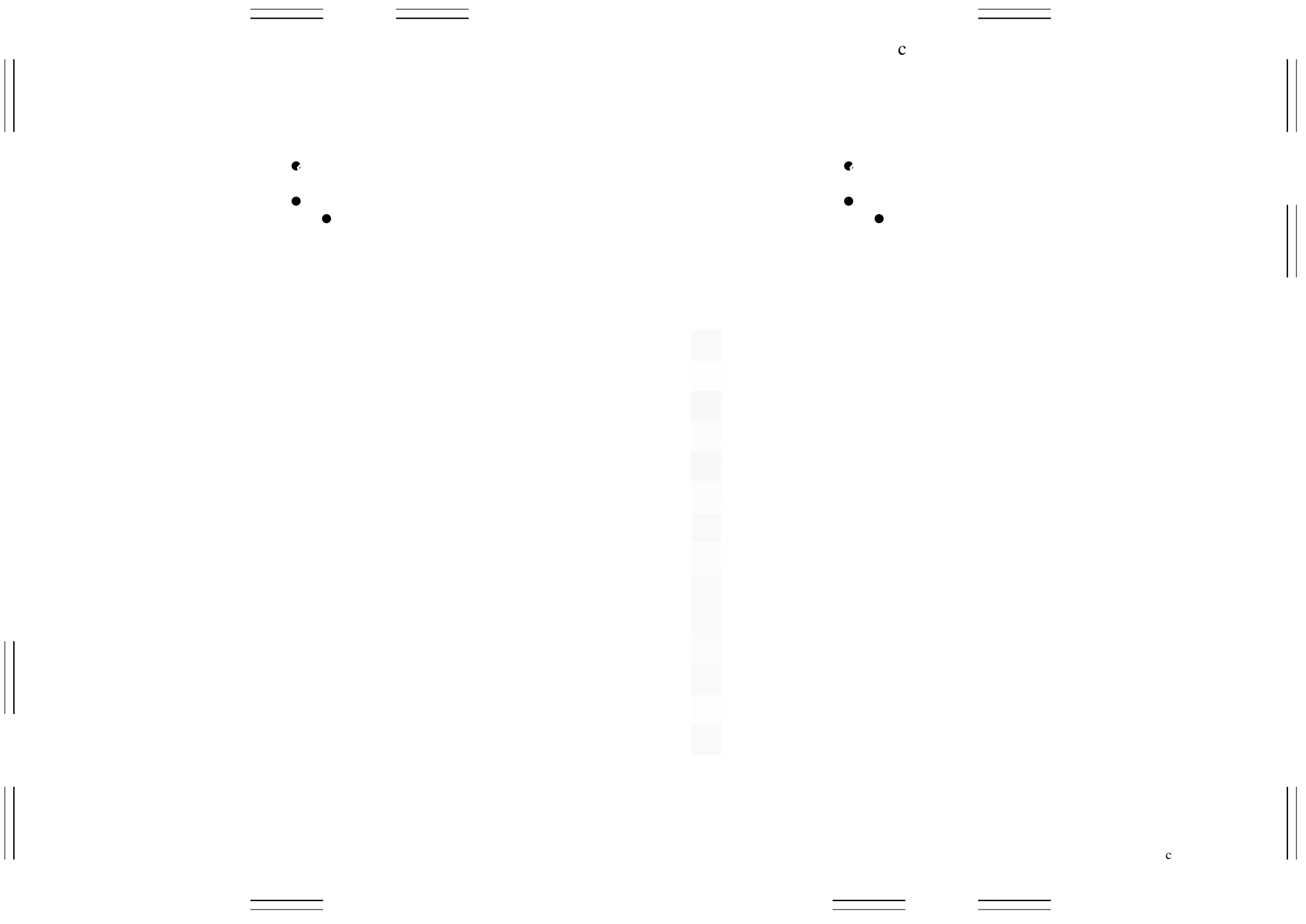
%Regularität

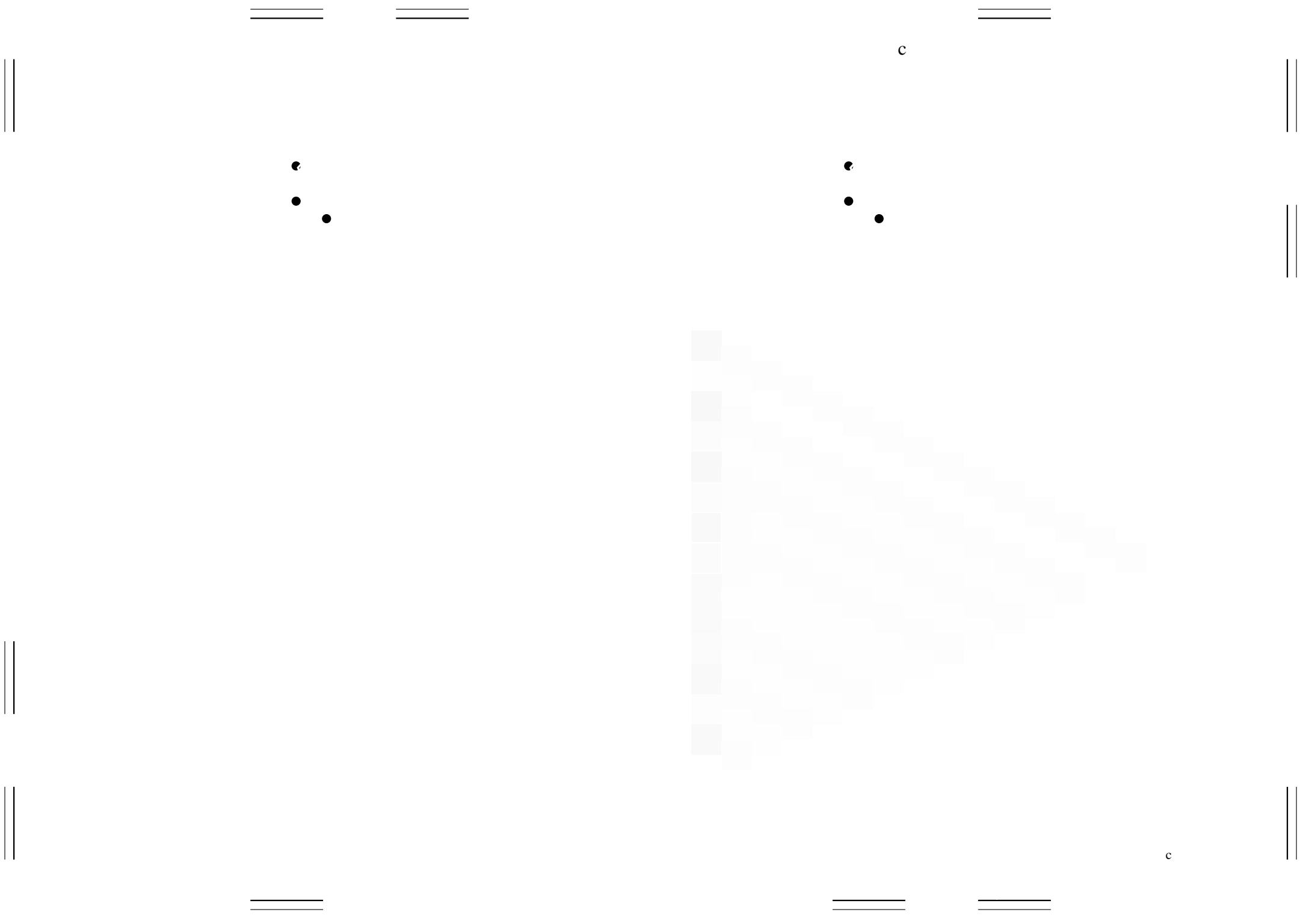
$$g^*_{H,rel} = 57$$
$$g^*_{C_{rel}} = 59$$


ZG720-7F, 16stufige Reihen für konstanten CIELAB Buntton $271/360 = 0.754$ (rechts)

0) Eingabe: *rgb / cmv0 set(rgb/cmyk)color*

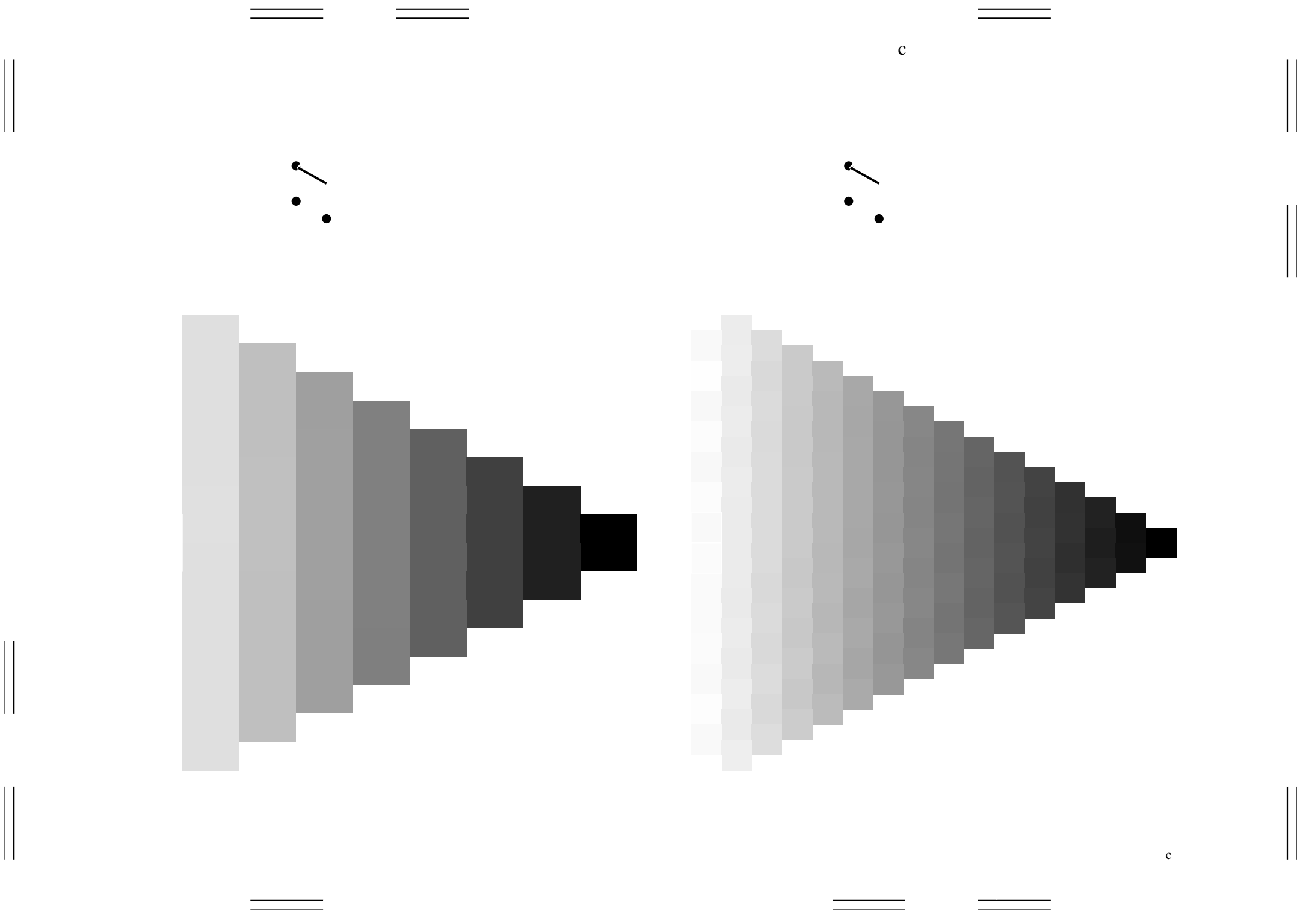
Ausgabe: $\rightarrow LAB^* \rightarrow cmvn4^* setcmvcolo$

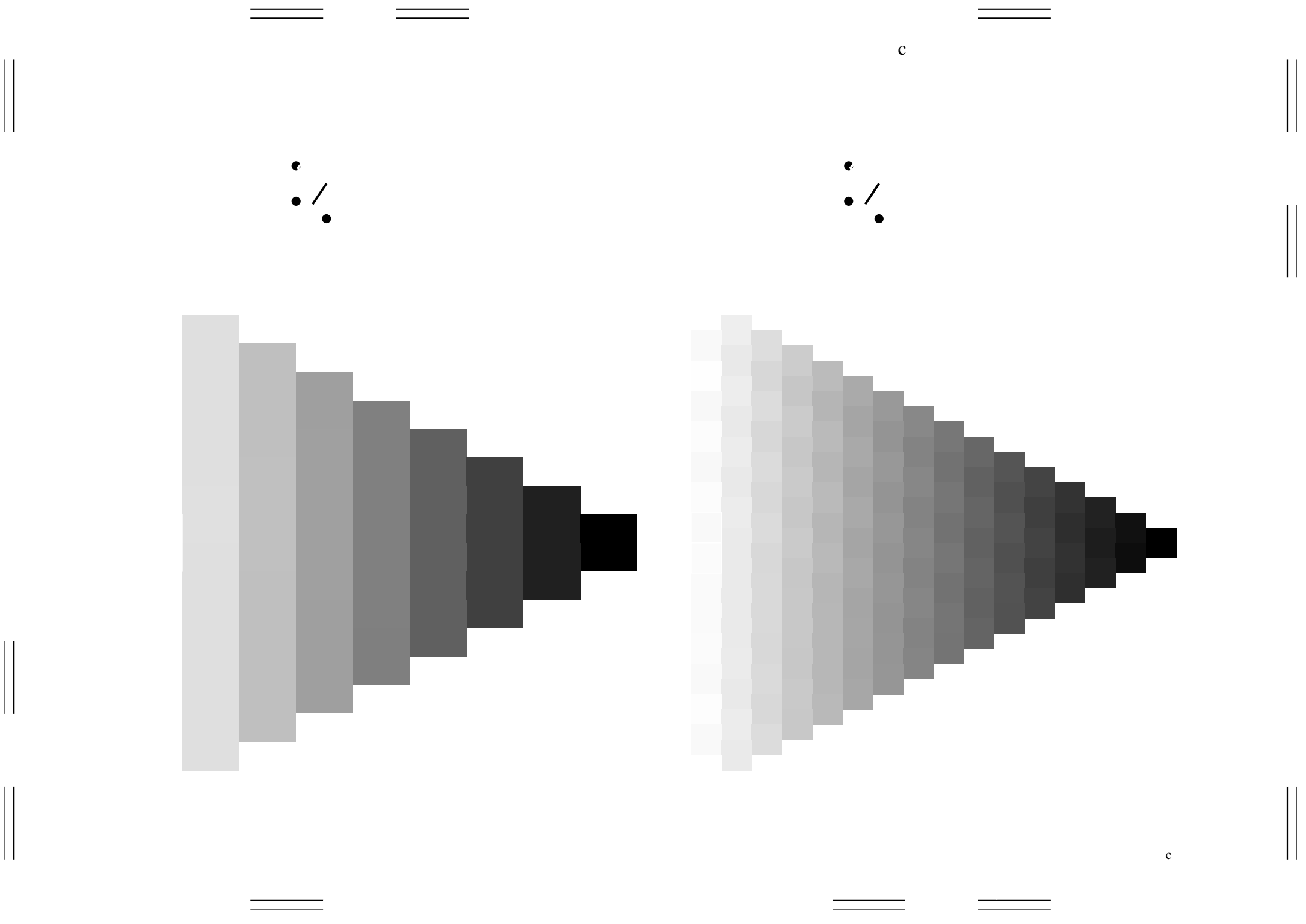


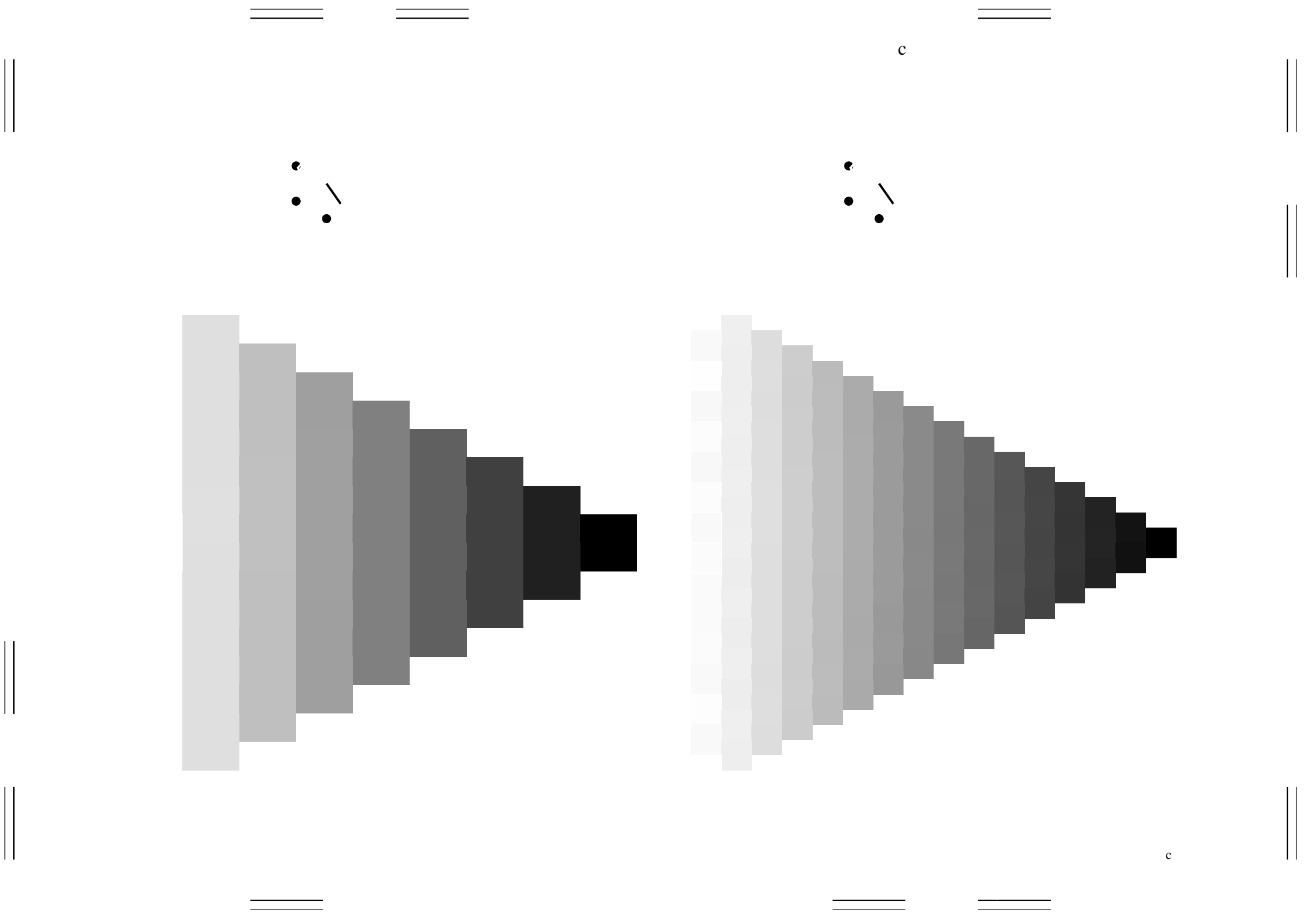


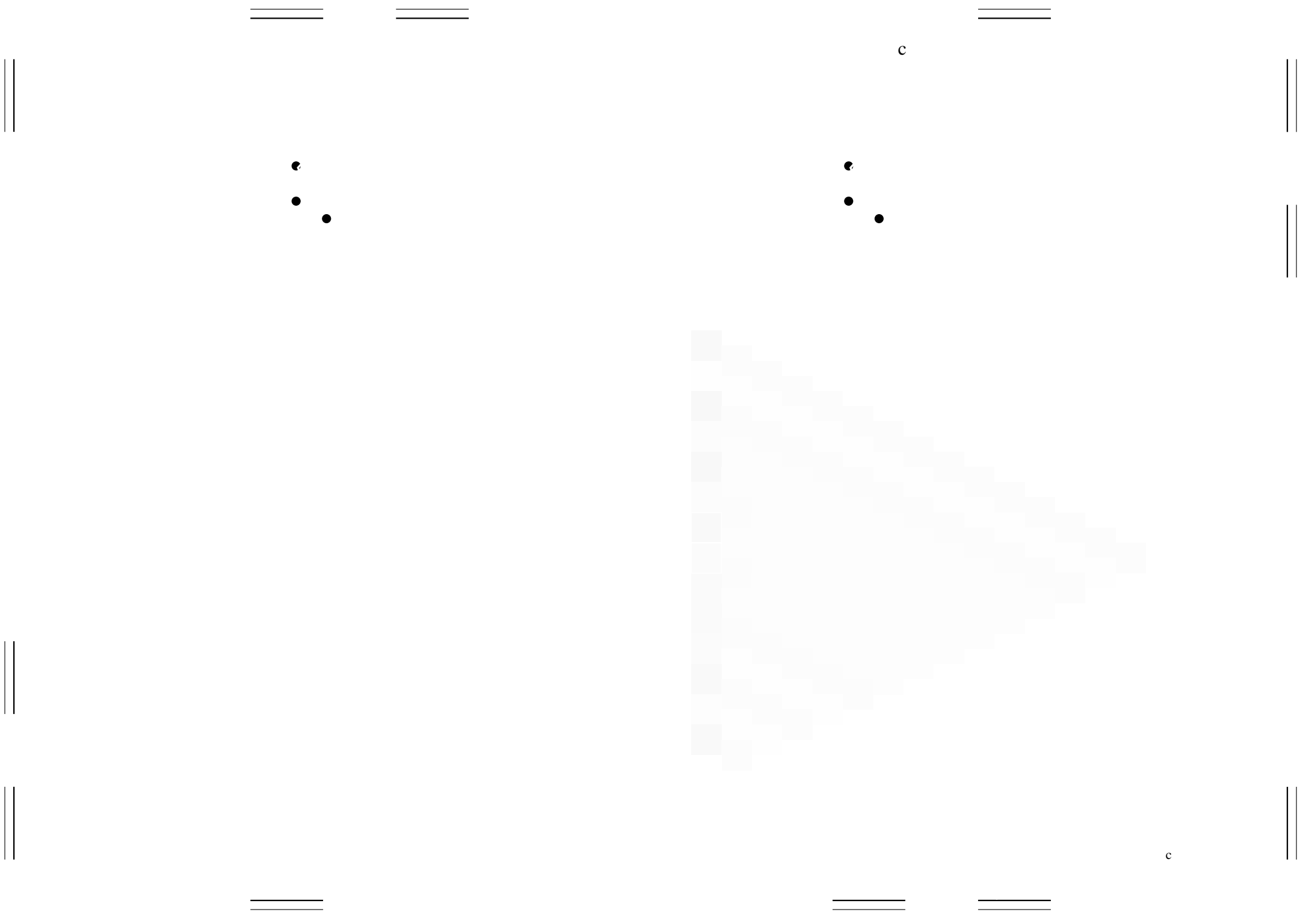
c

c



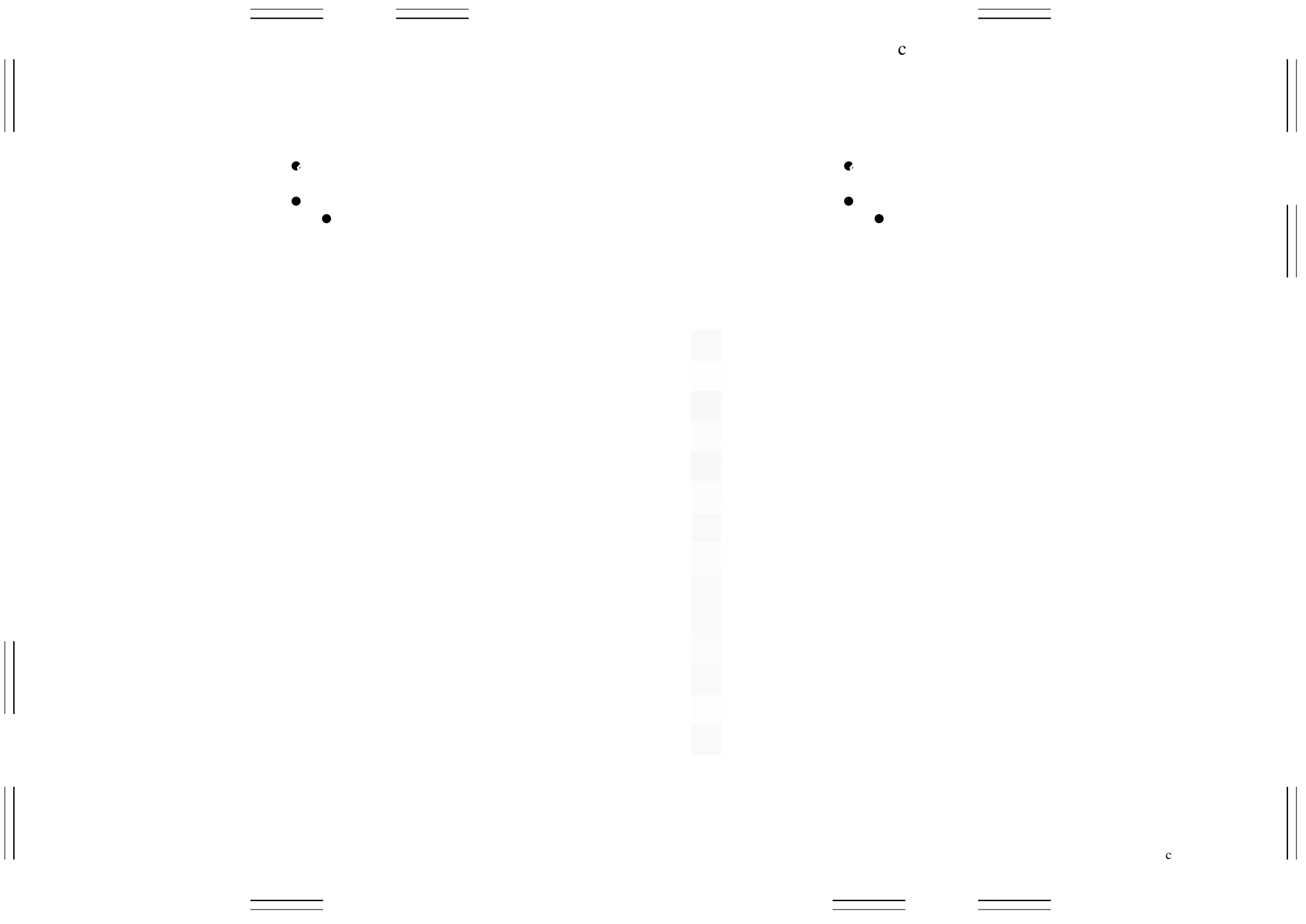


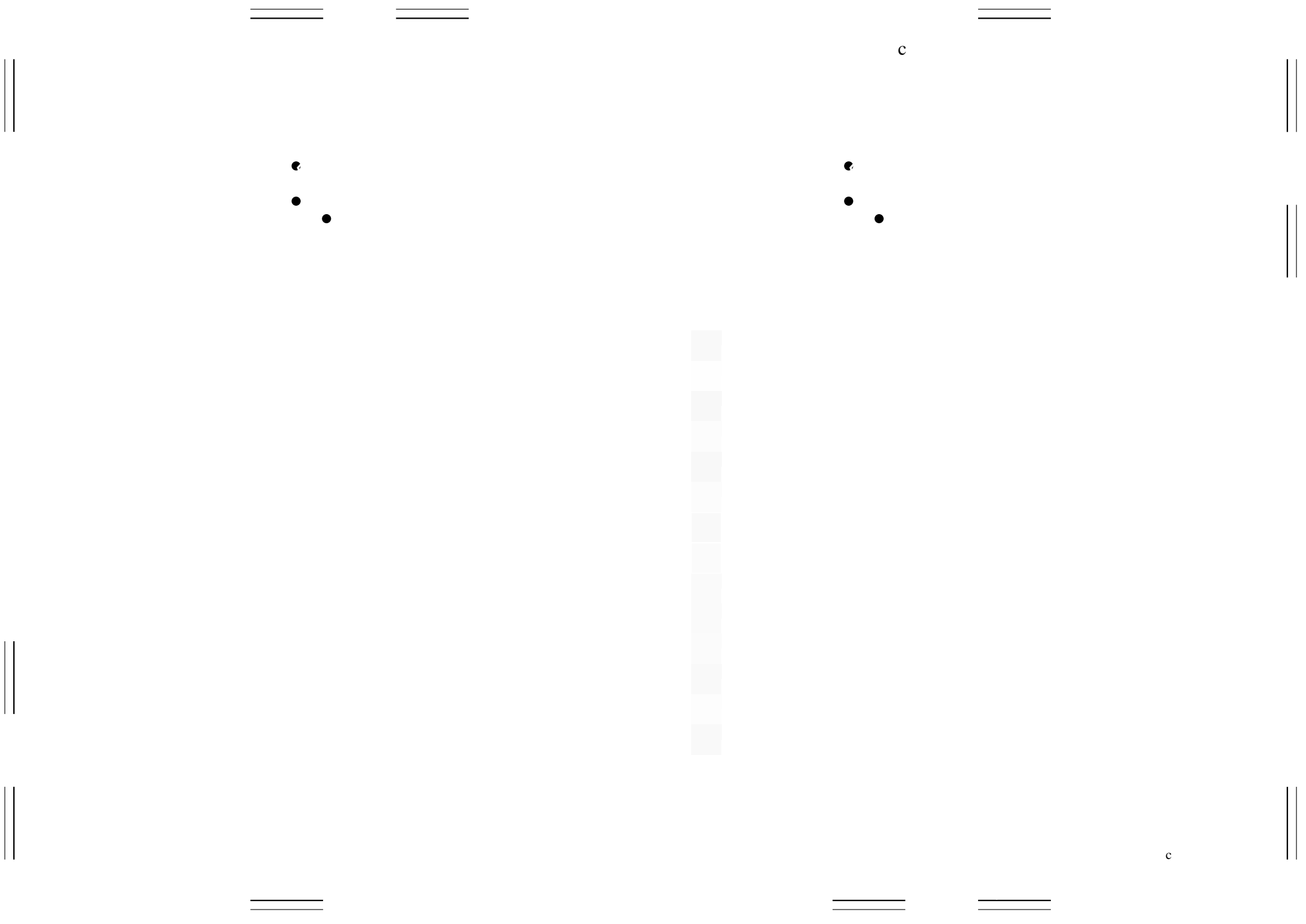




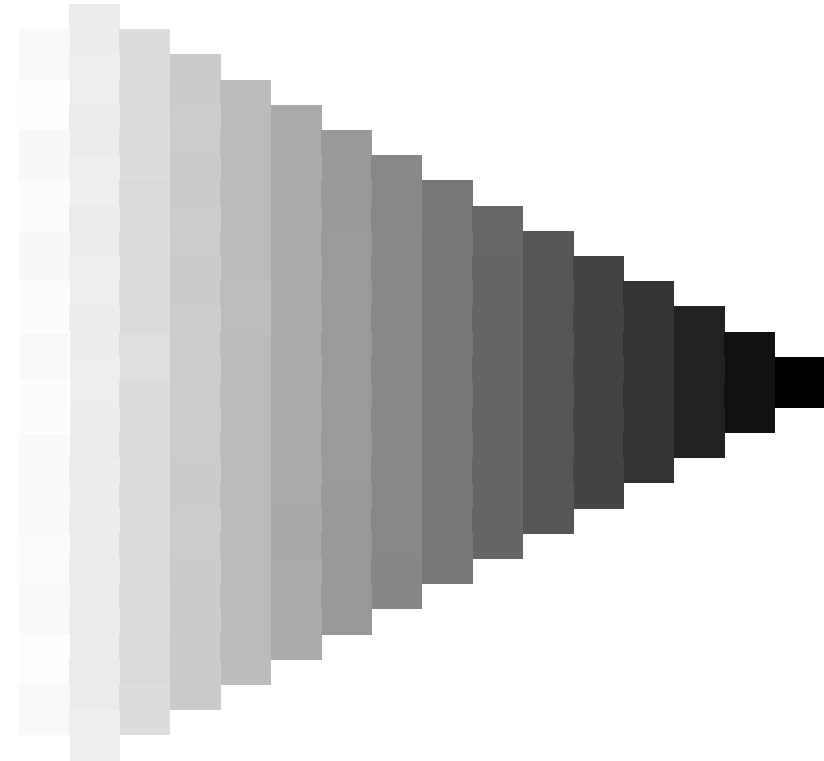
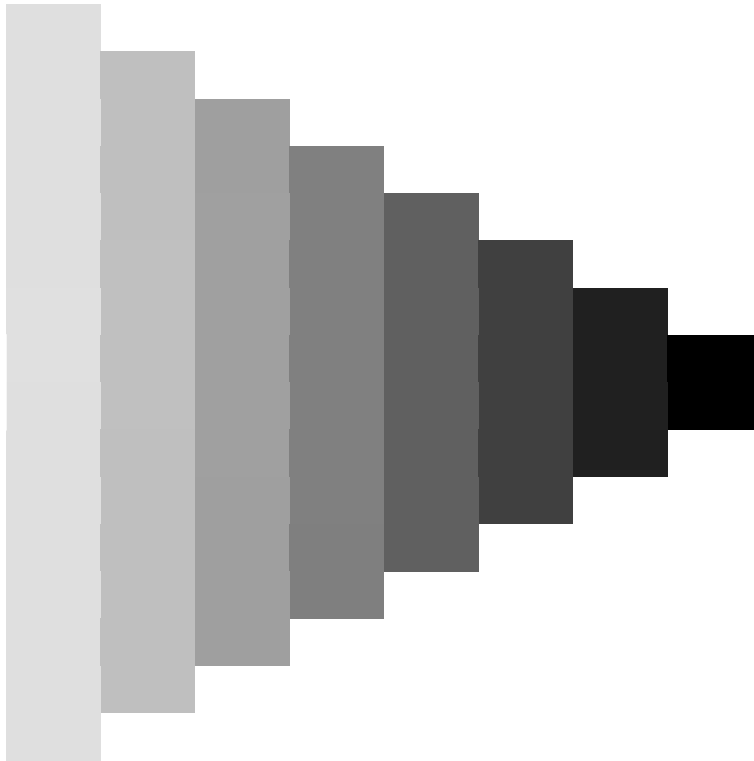
c

c



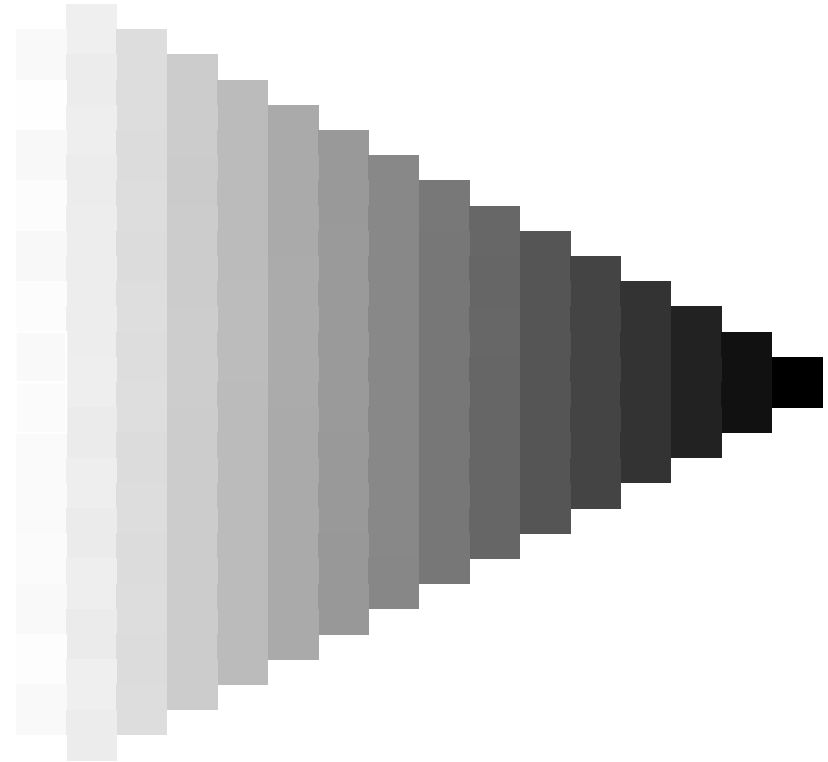
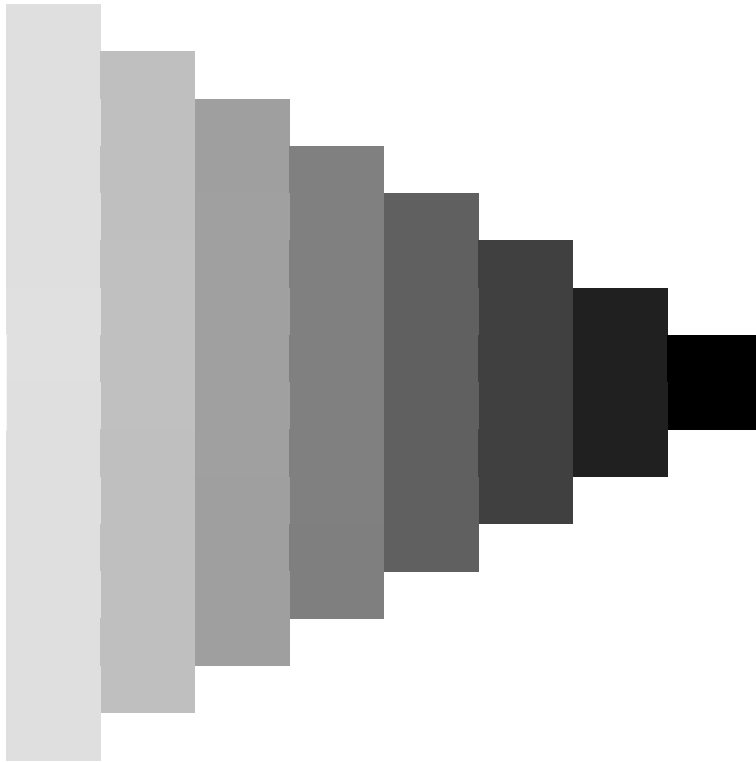
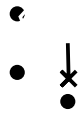


c

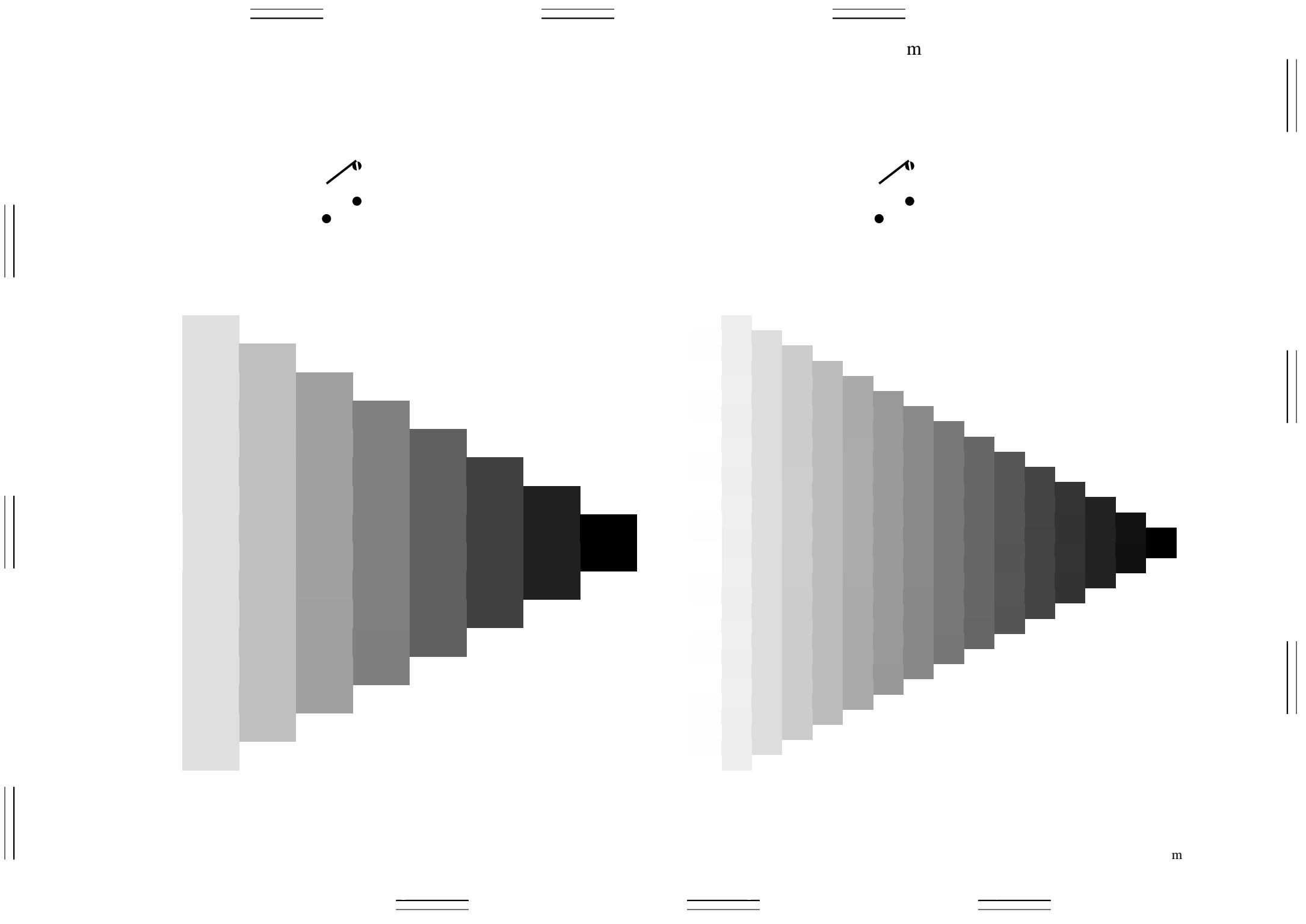


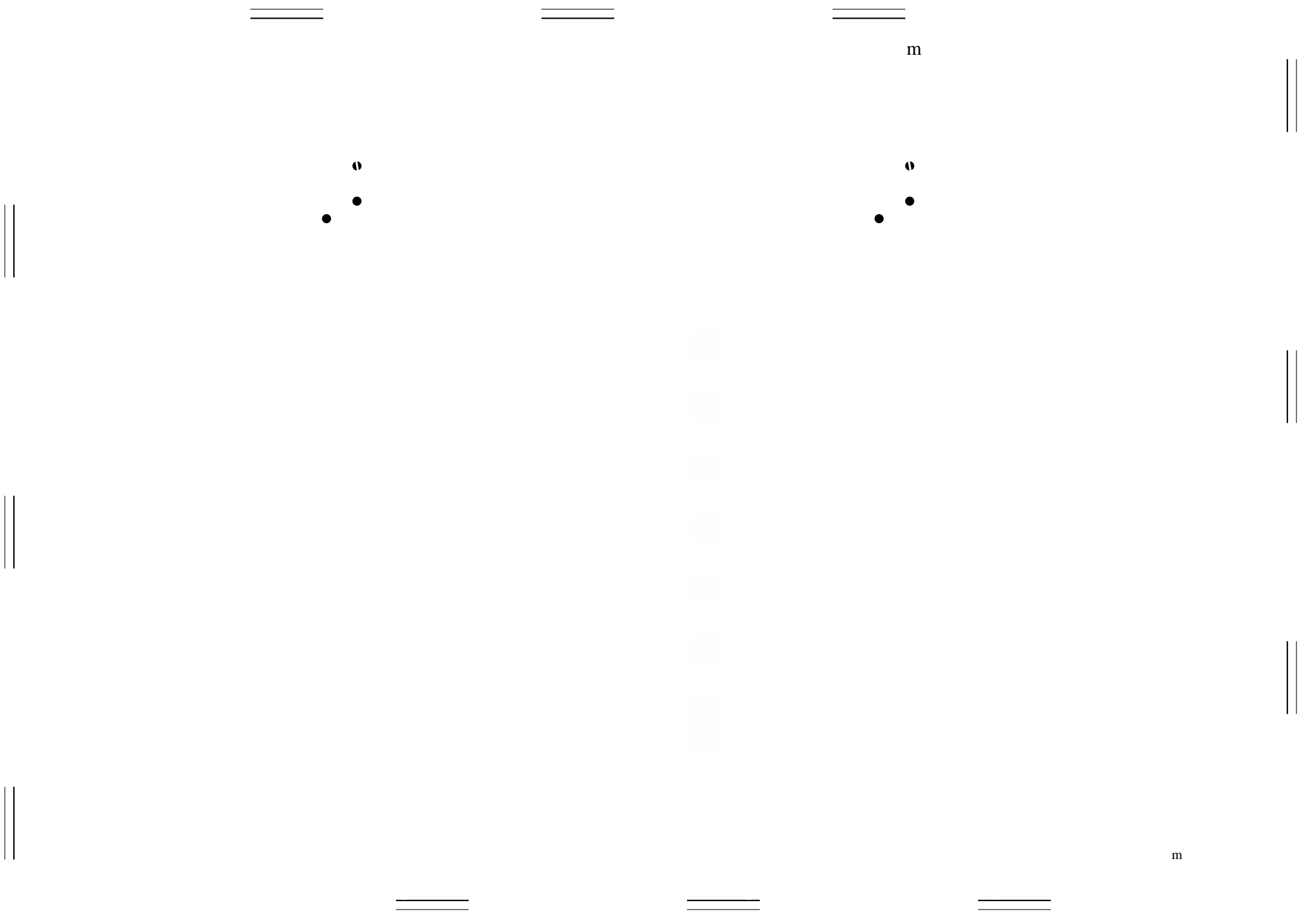
c

c



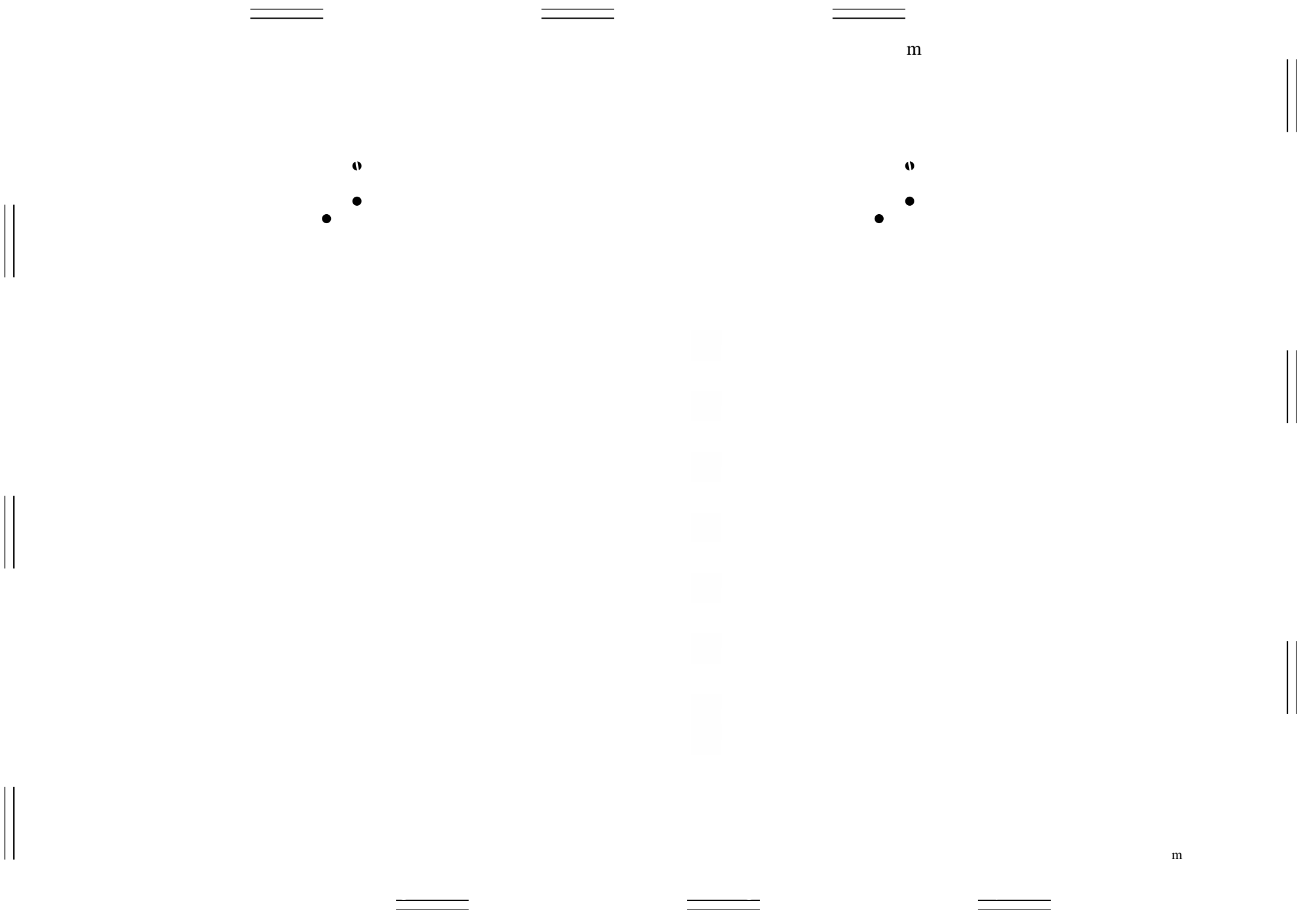
c

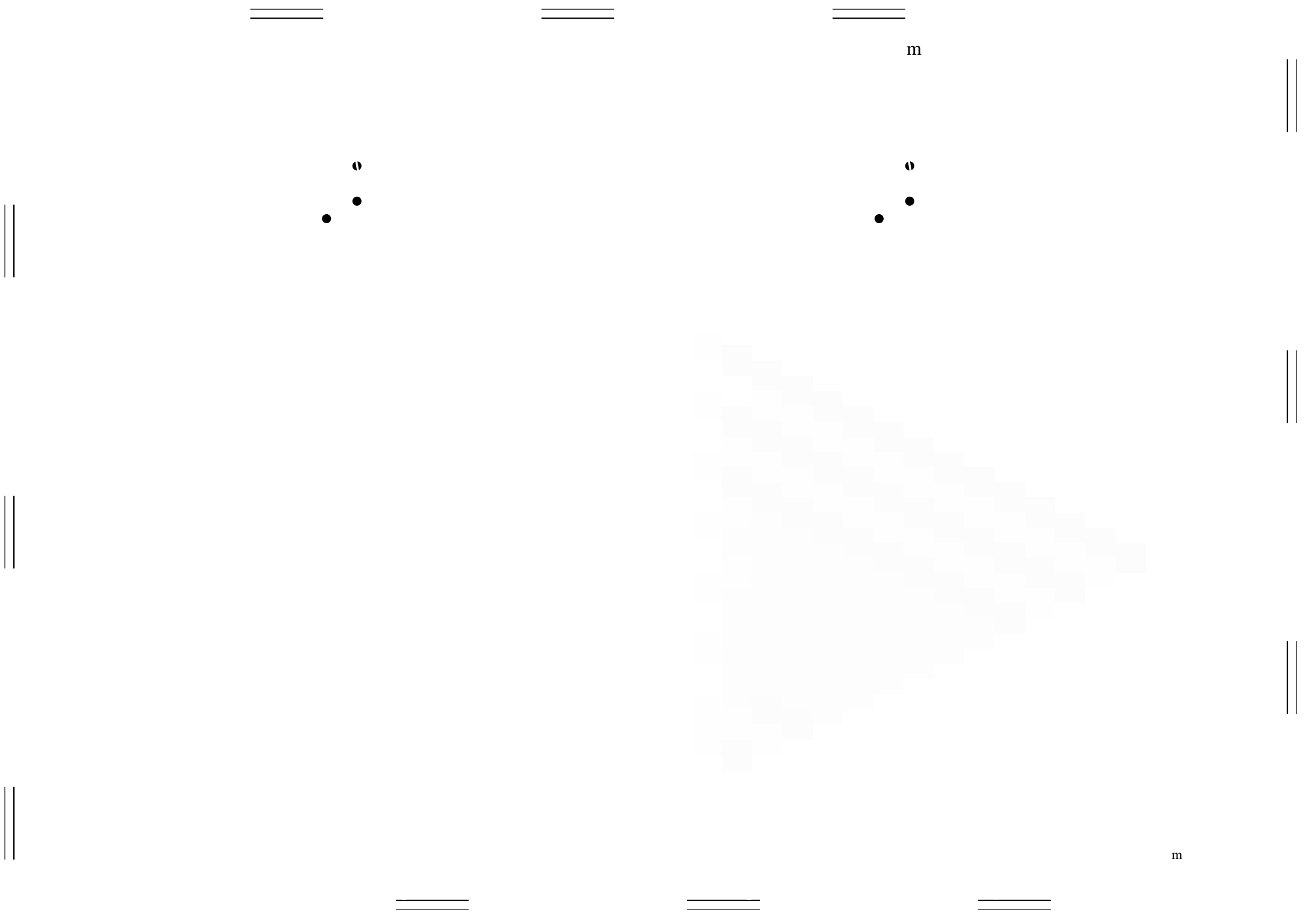




m

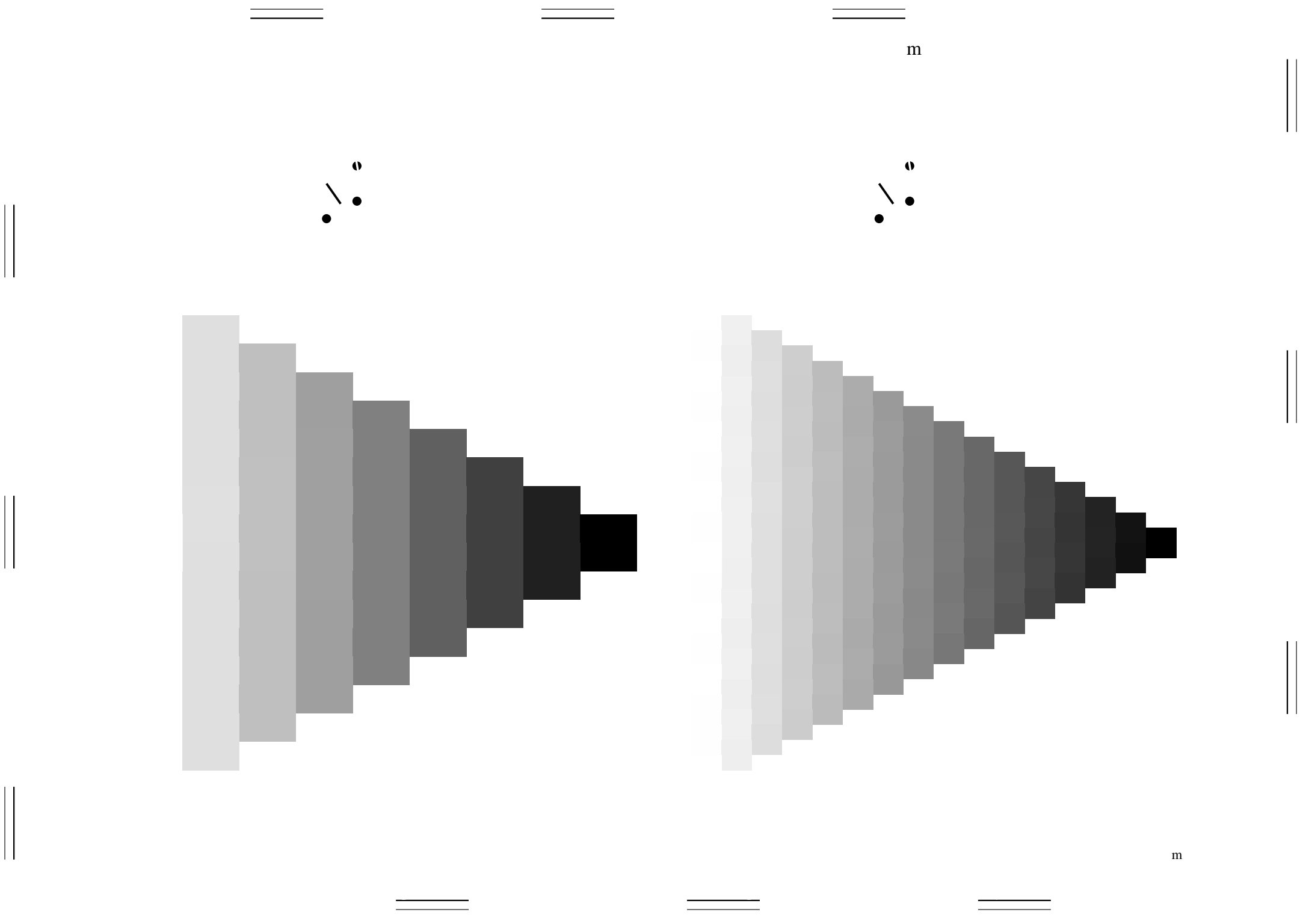
m

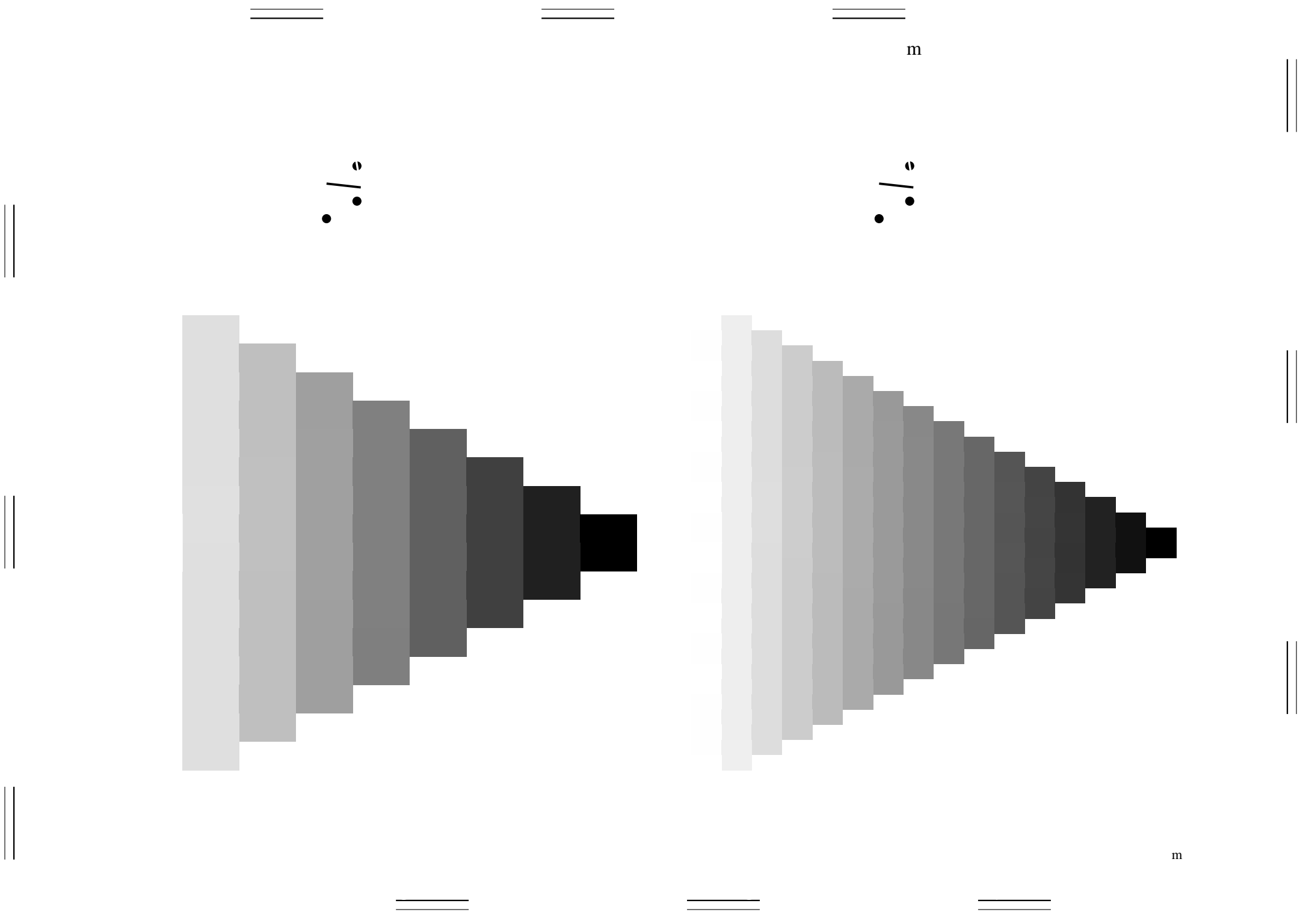


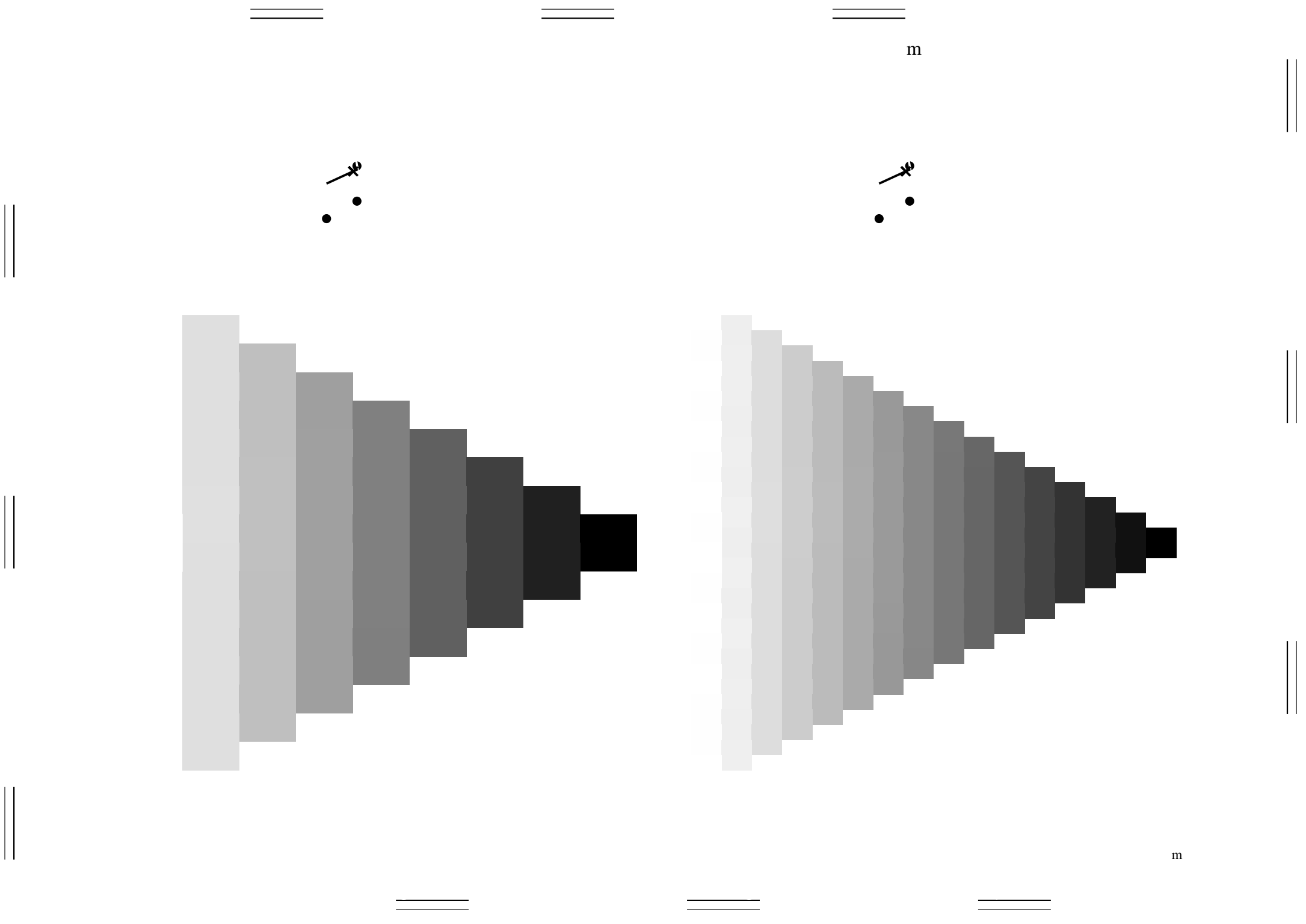


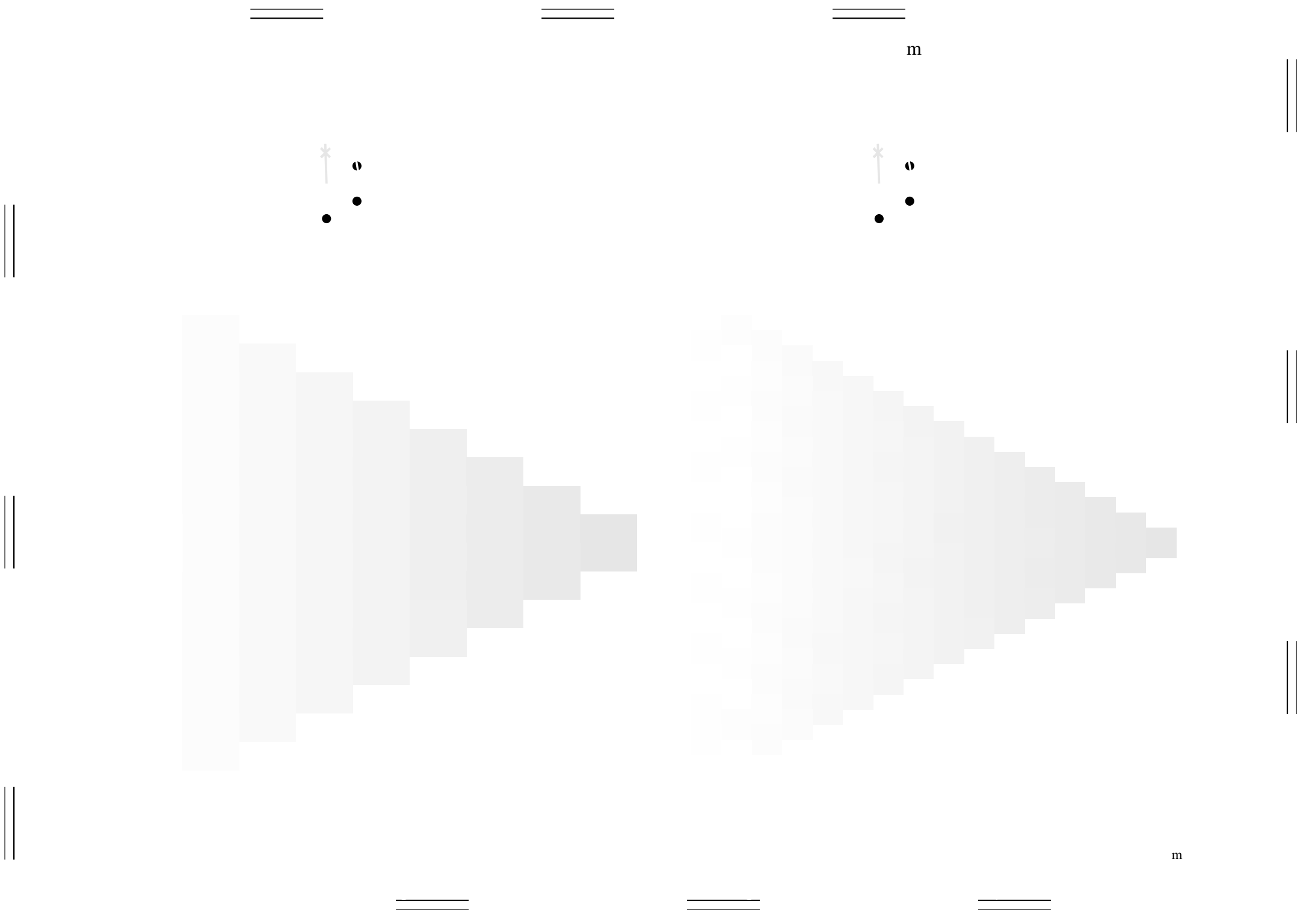
m

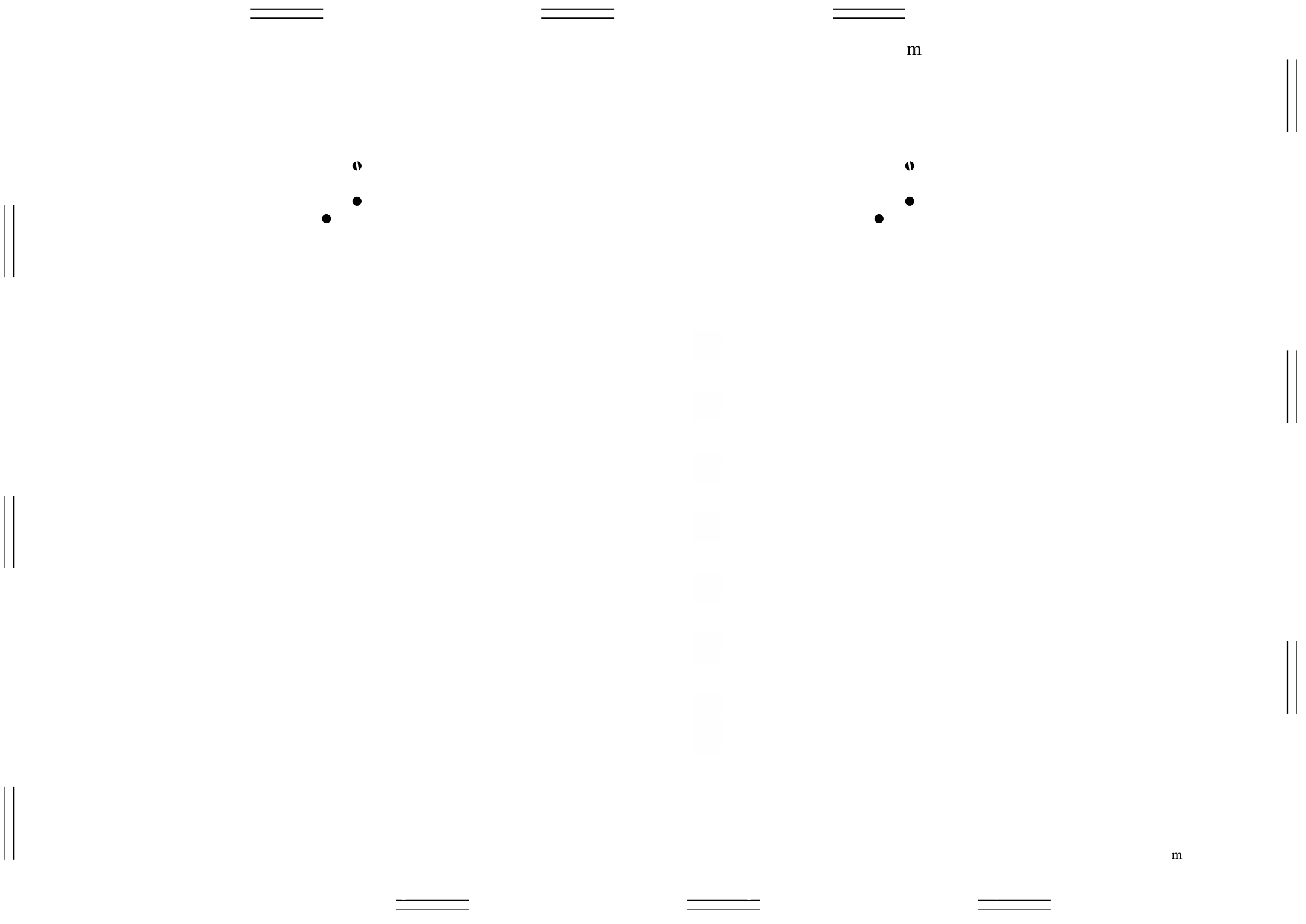
m





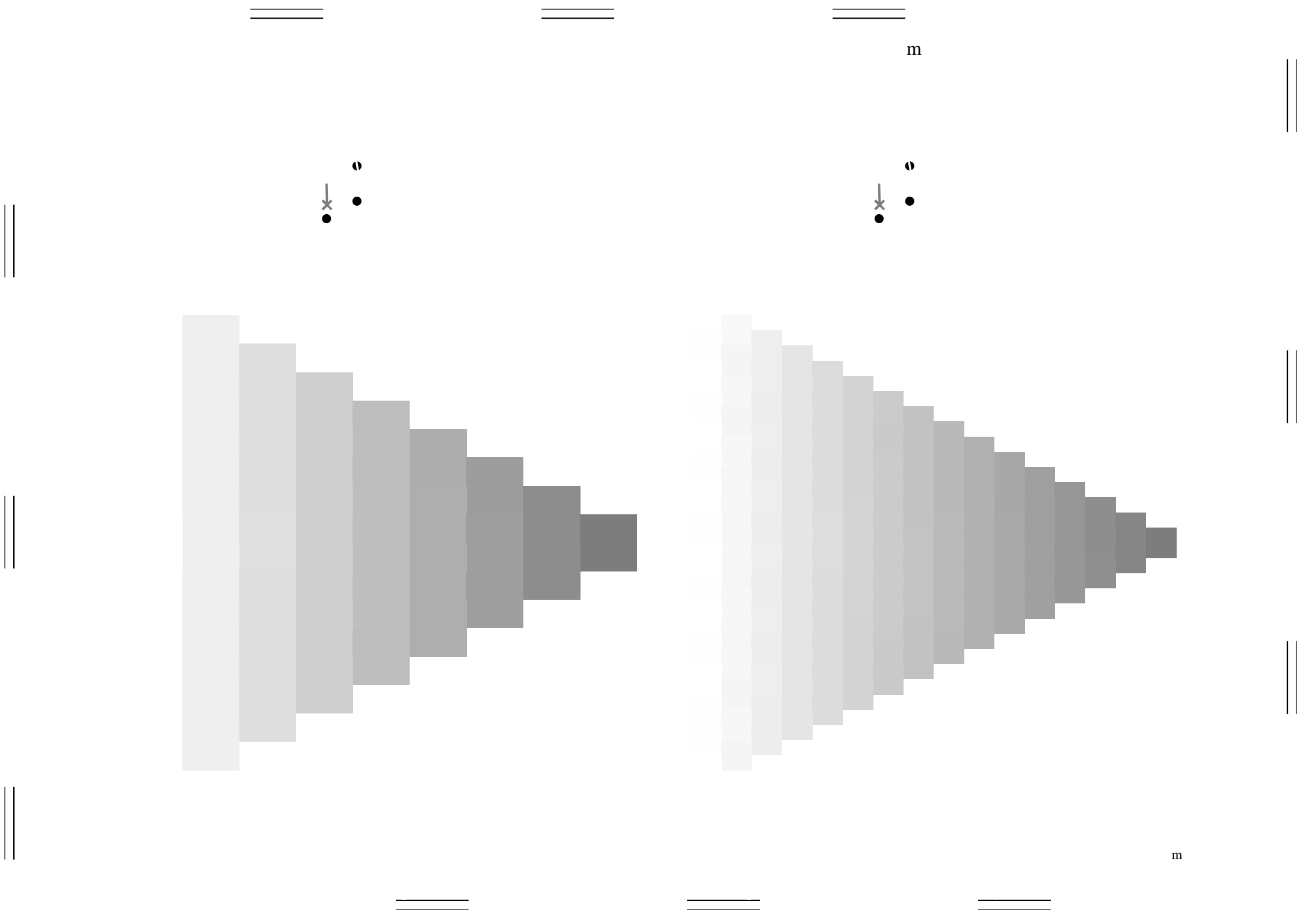


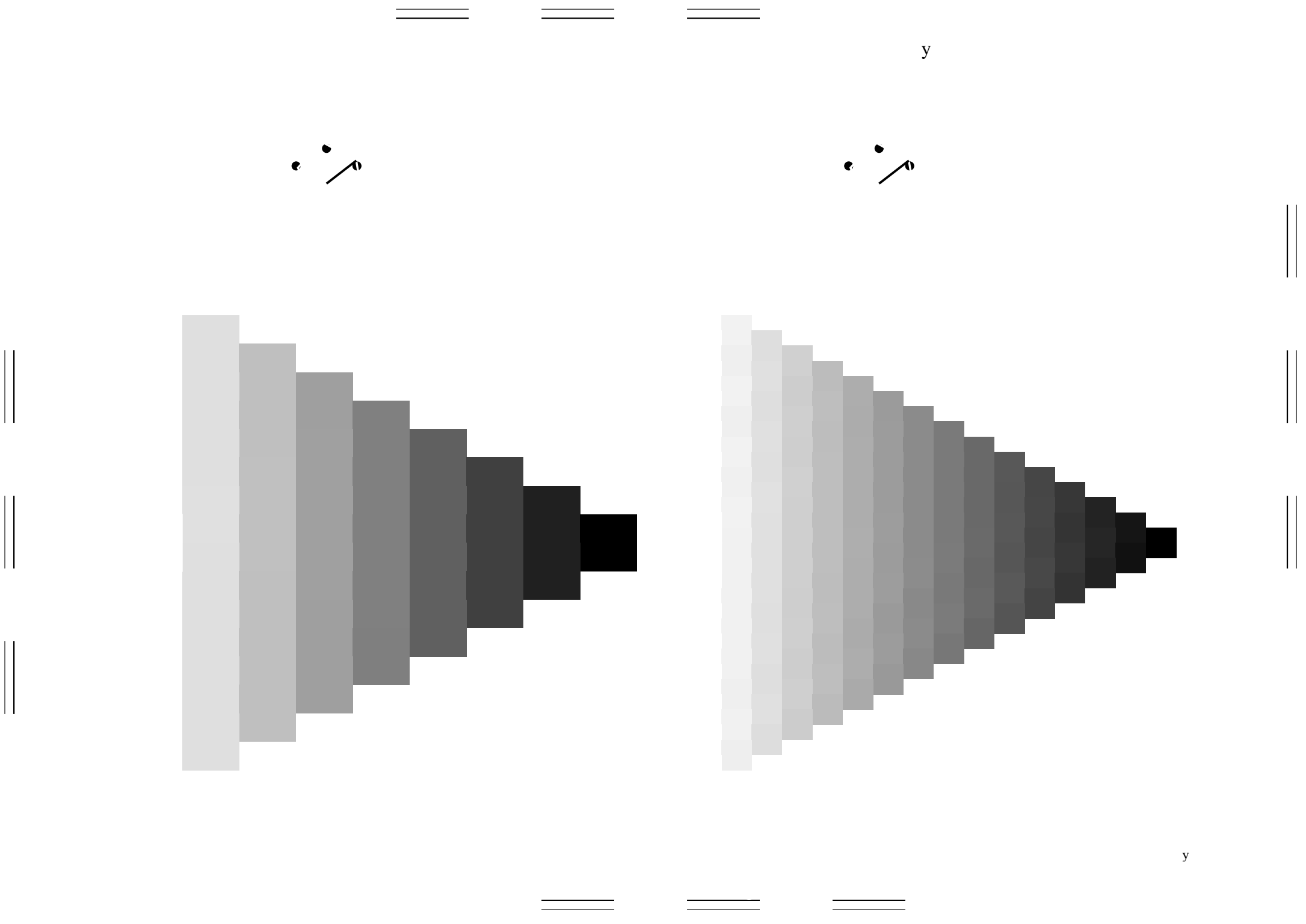


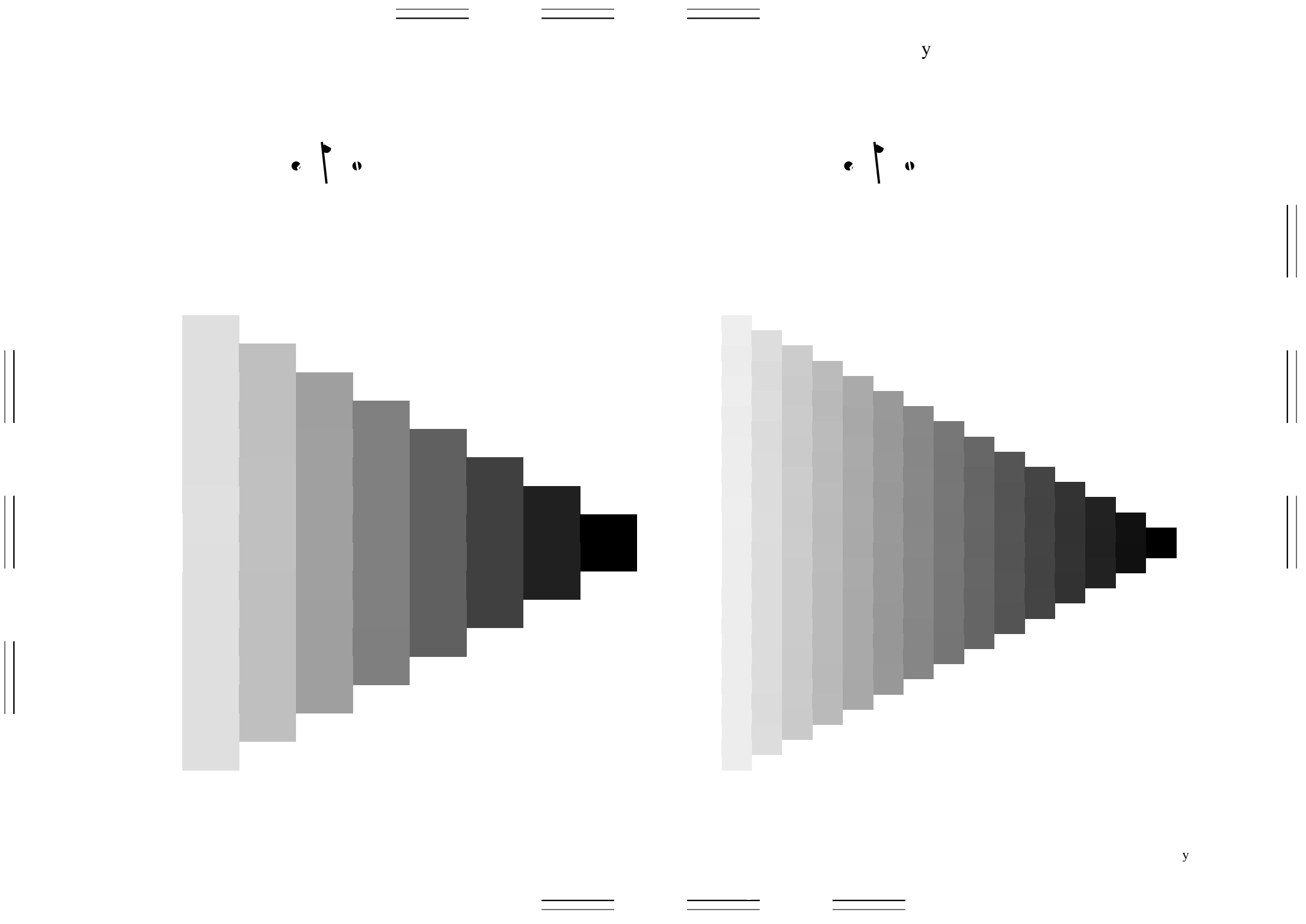


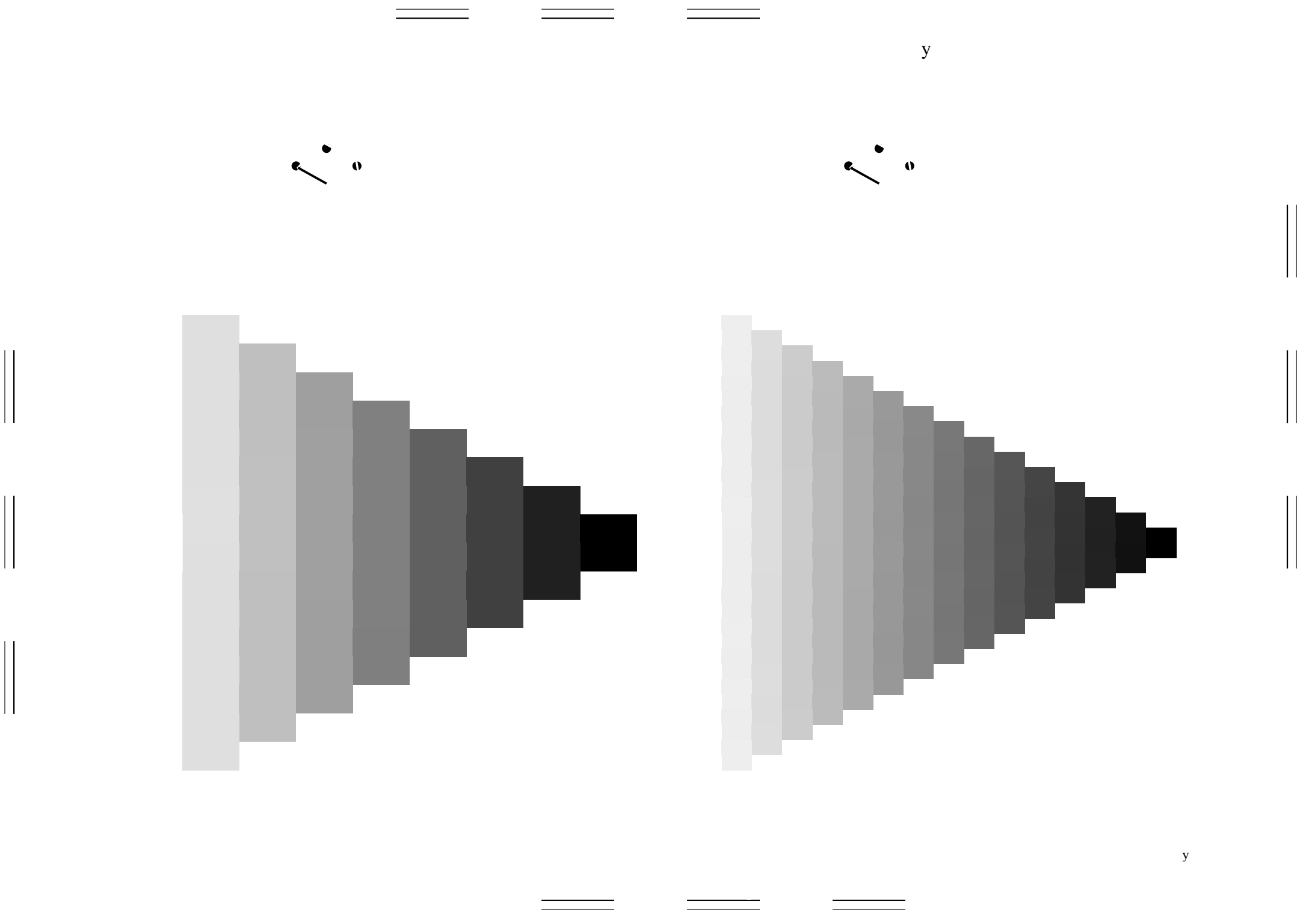
m

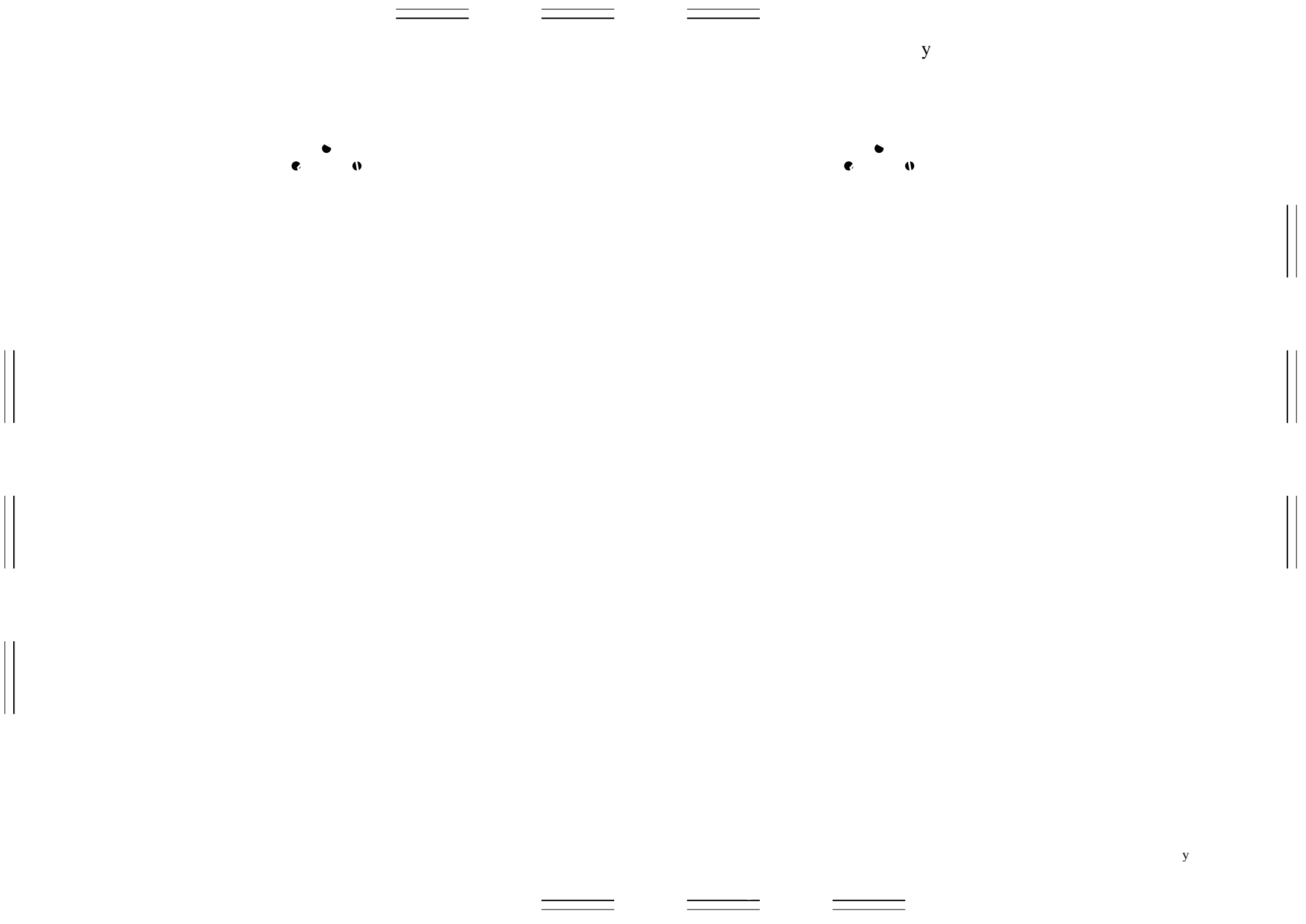
m





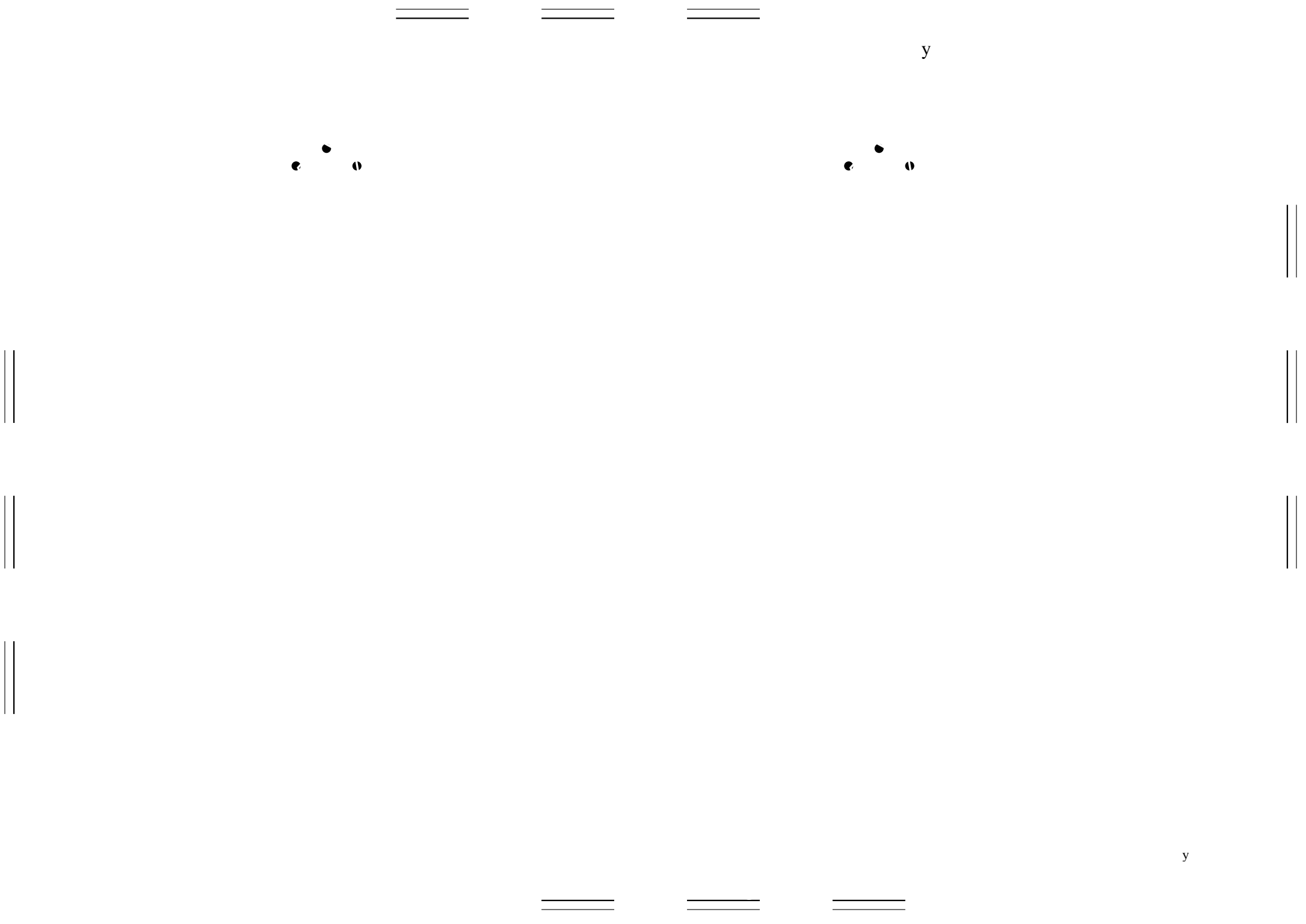






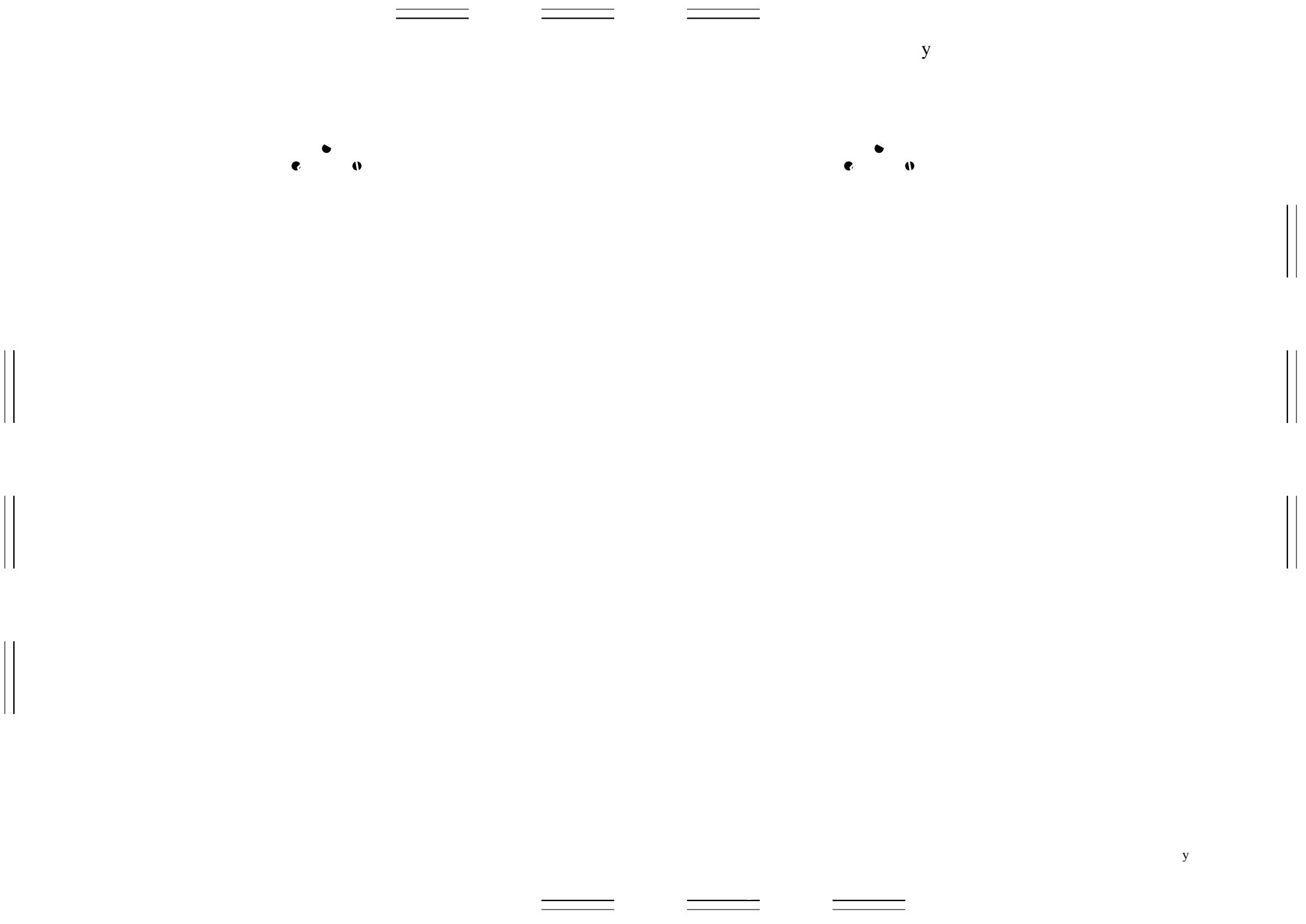
y

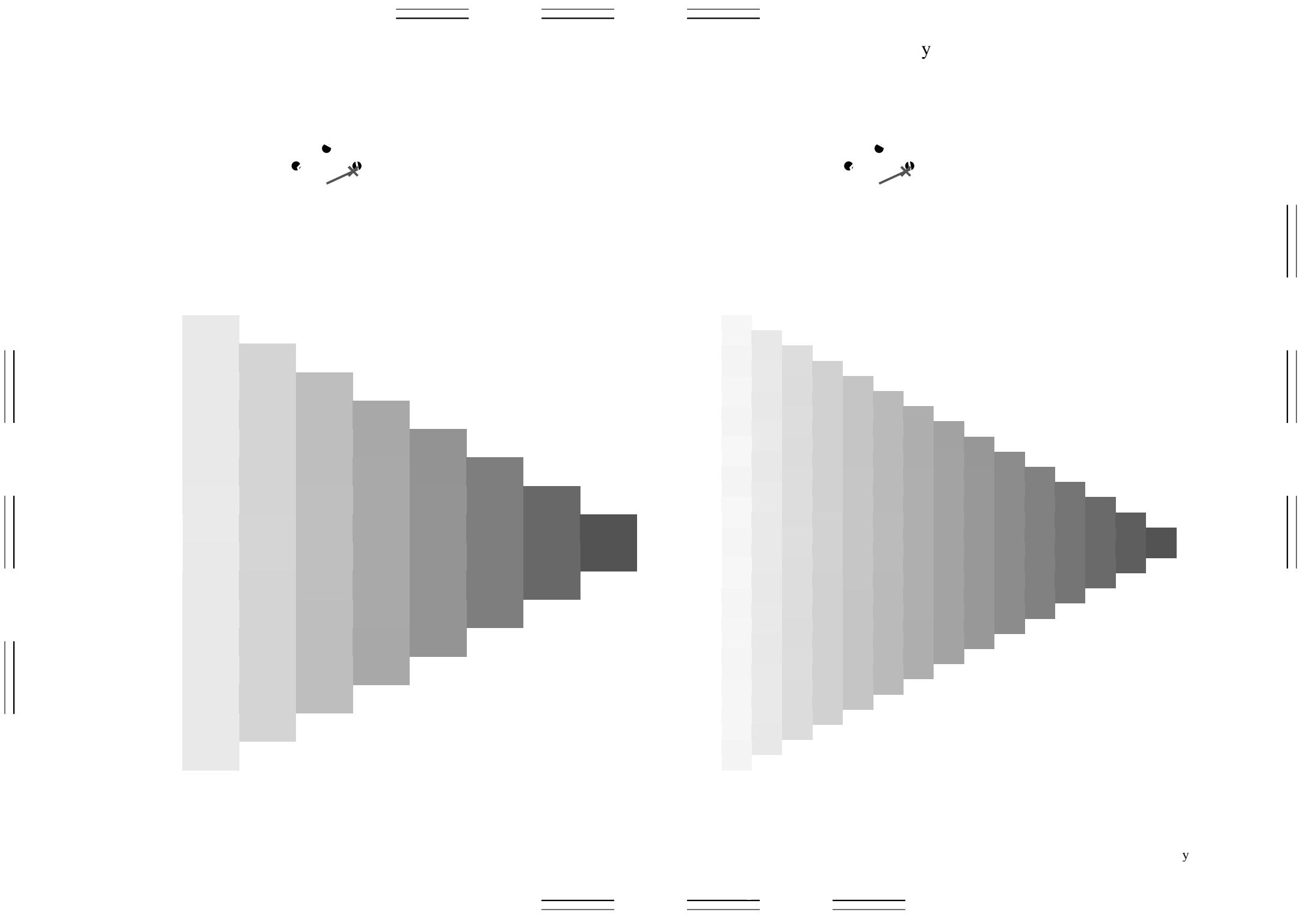
y

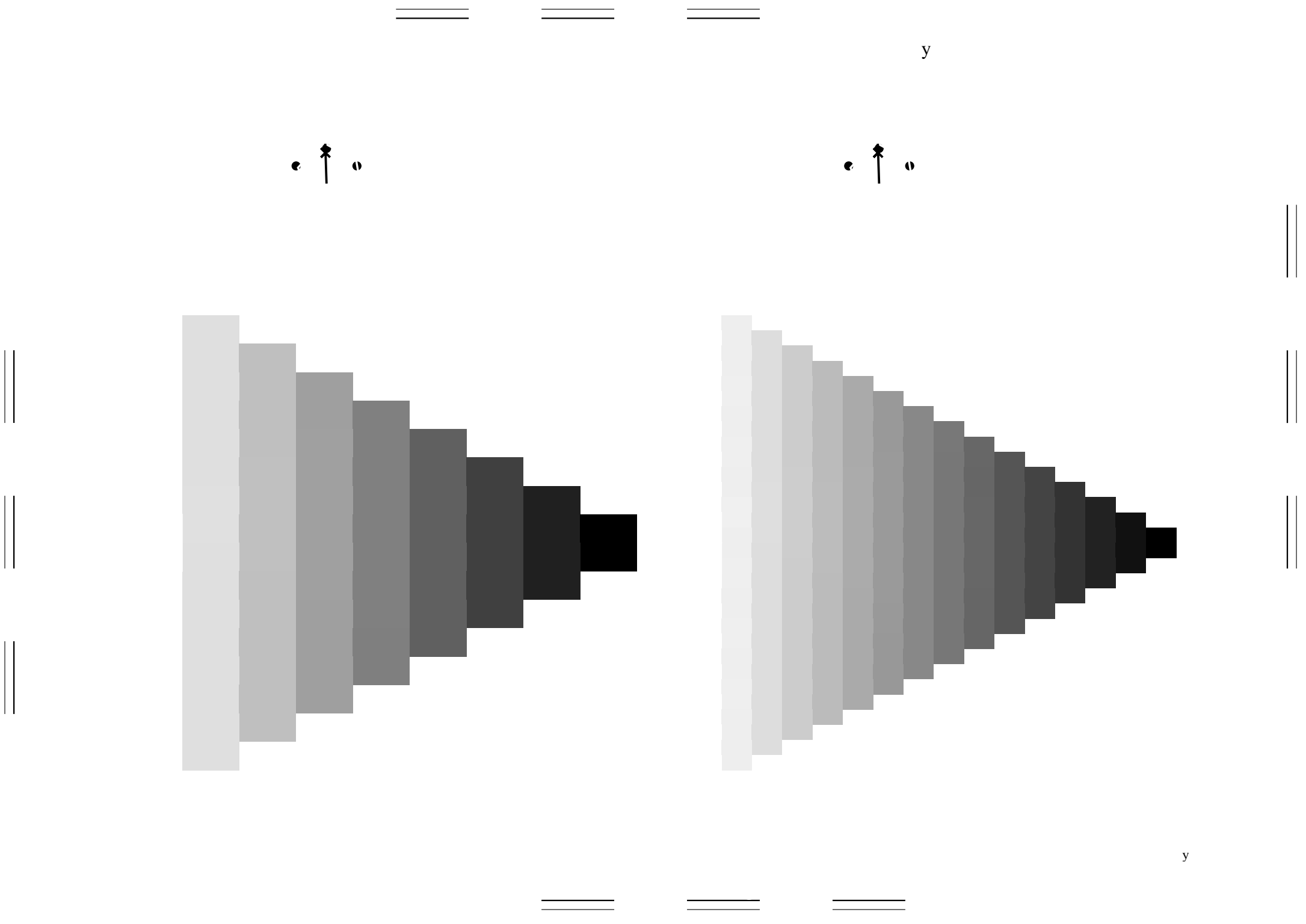


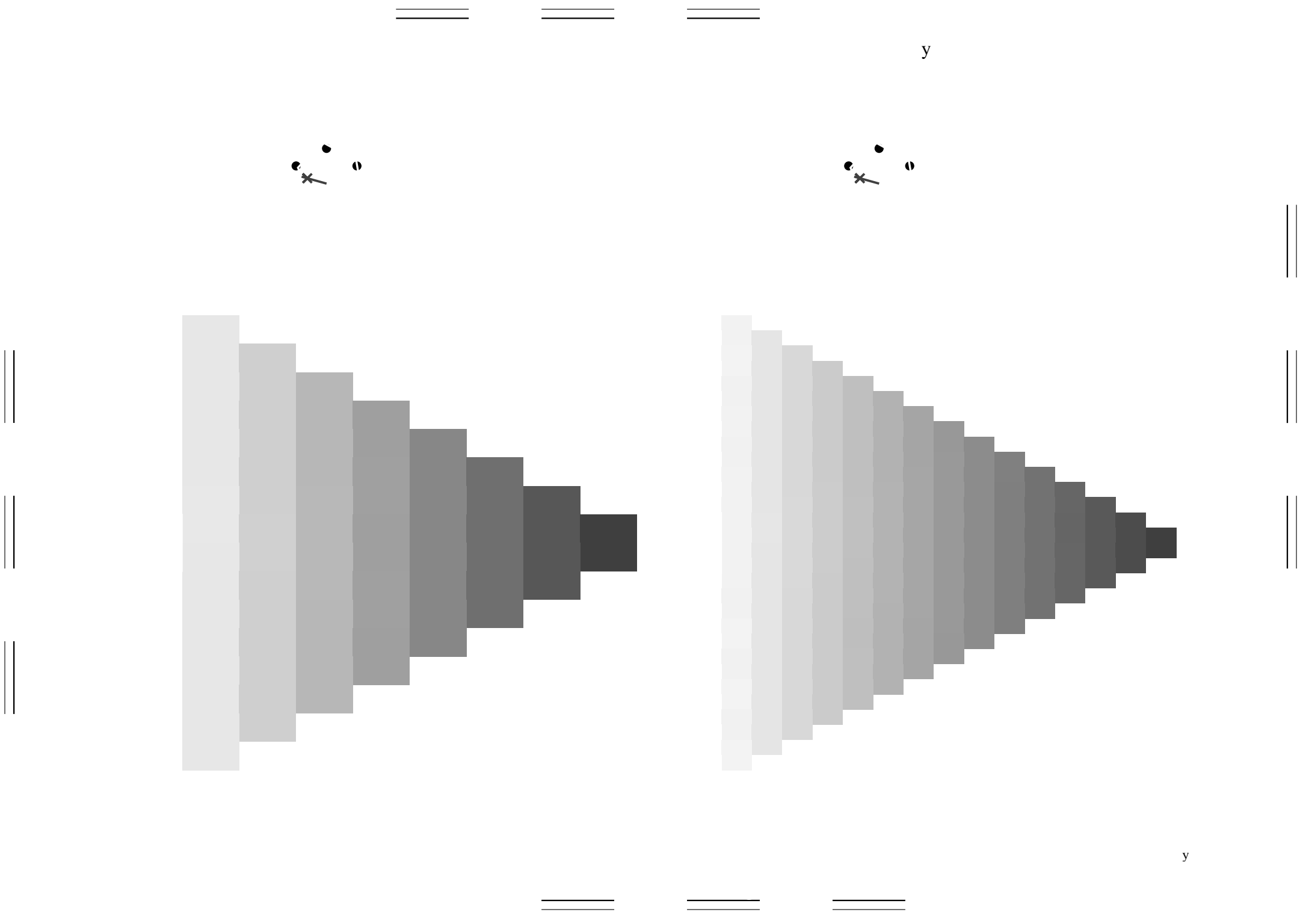
y

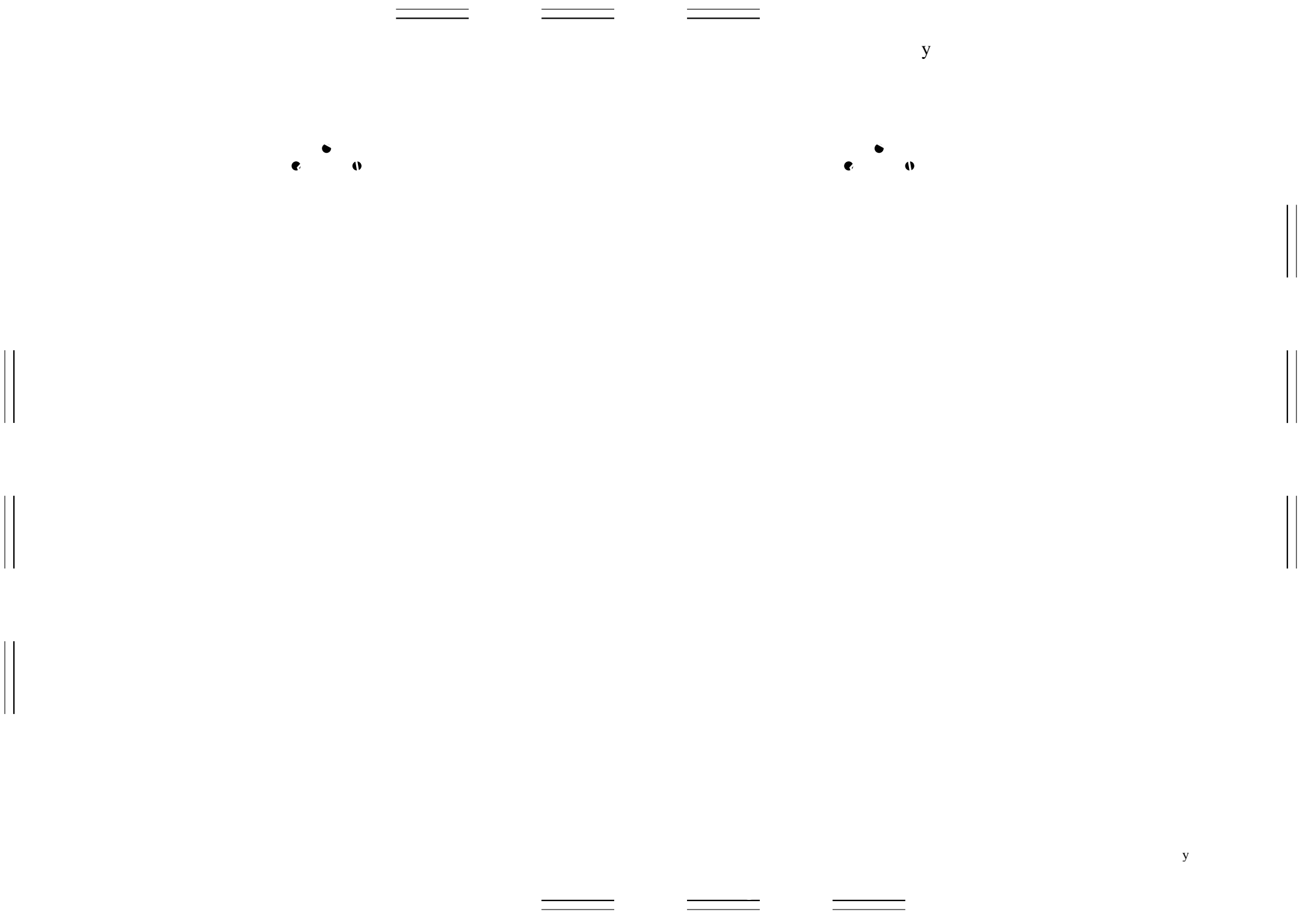
y











Eingabe: Farbmétrisches Offset-Reflektiv-System ORS18

für Buntton $h^* = lab^*h = 38/360 = 0.105$

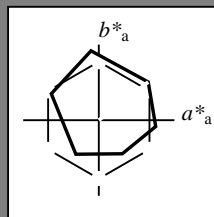
lab^*tch und lab^*nch

D65: Buntton O

LCH*Ma: 48 83 38

olv*Ma: 1.0 0.0 0.0

Dreiecks-Helligkeit t^*



%Umfang

$u^*_{rel} = 93$

%Regularität

$g^*_{H,rel} = 57$

$g^*_{C,rel} = 59$

ORS18; adaptierte CIELAB-Daten

	$L^*=L^*_a$	a^*_a	b^*_a	$C^*_{ab,a}$	$h^*_{ab,a}$
O _{Ma}	47.94	65.39	50.52	82.63	38
Y _{Ma}	90.37	-10.26	91.75	92.32	96
L _{Ma}	50.9	-62.83	34.96	71.91	151
C _{Ma}	58.62	-30.34	-45.01	54.3	236
V _{Ma}	25.72	31.1	-44.4	54.22	305
M _{Ma}	48.13	75.28	-8.36	75.74	354
N _{Ma}	18.01	0.0	0.0	0.0	0
W _{Ma}	95.41	0.0	0.0	0.0	0
R _{CIE}	39.92	58.66	26.98	64.57	25
J _{CIE}	81.26	-2.16	67.76	67.79	92
G _{CIE}	52.23	-42.25	11.76	43.87	164
B _{CIE}	30.57	1.15	-46.84	46.86	271

Ausgabe: Farbmétrisches Offset-Reflektiv-System ORS18

für Buntton $h^* = lab^*h = 38/360 = 0.105$

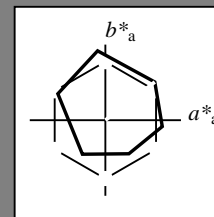
lab^*tch und lab^*nch

D65: Buntton O

LCH*Ma: 48 83 38

olv*Ma: 1.0 0.0 0.0

Dreiecks-Helligkeit t^*



%Umfang

$u^*_{rel} = 93$

%Regularität

$g^*_{H,rel} = 57$

$g^*_{C,rel} = 59$

ORS18; adaptierte CIELAB-Daten

	$L^*=L^*_a$	a^*_a	b^*_a	$C^*_{ab,a}$	$h^*_{ab,a}$
R	48.0	68.58	31.54	75.48	25
R25J	50.11	61.52	52.63	80.96	41
R50J	62.87	38.77	65.02	75.71	59
R75J	74.87	17.37	76.69	78.63	77
J	86.19	-2.8	87.69	87.73	92
J25G	84.01	-18.73	82.6	84.7	103
J50G	71.17	-35.83	64.13	73.46	119
J75G	56.99	-54.71	43.72	70.05	141
G	52.8	-54.82	15.26	56.92	164
G25B	54.69	-46.87	-4.31	47.08	185
G50B	57.25	-36.1	-30.82	47.48	220
G75B	49.61	-13.51	-44.85	46.85	253
B	41.78	1.1	-44.7	44.72	271
B25R	29.34	24.33	-44.47	50.7	299
B50R	40.78	60.78	-20.18	64.05	342
B75R	48.06	71.56	13.77	72.87	11

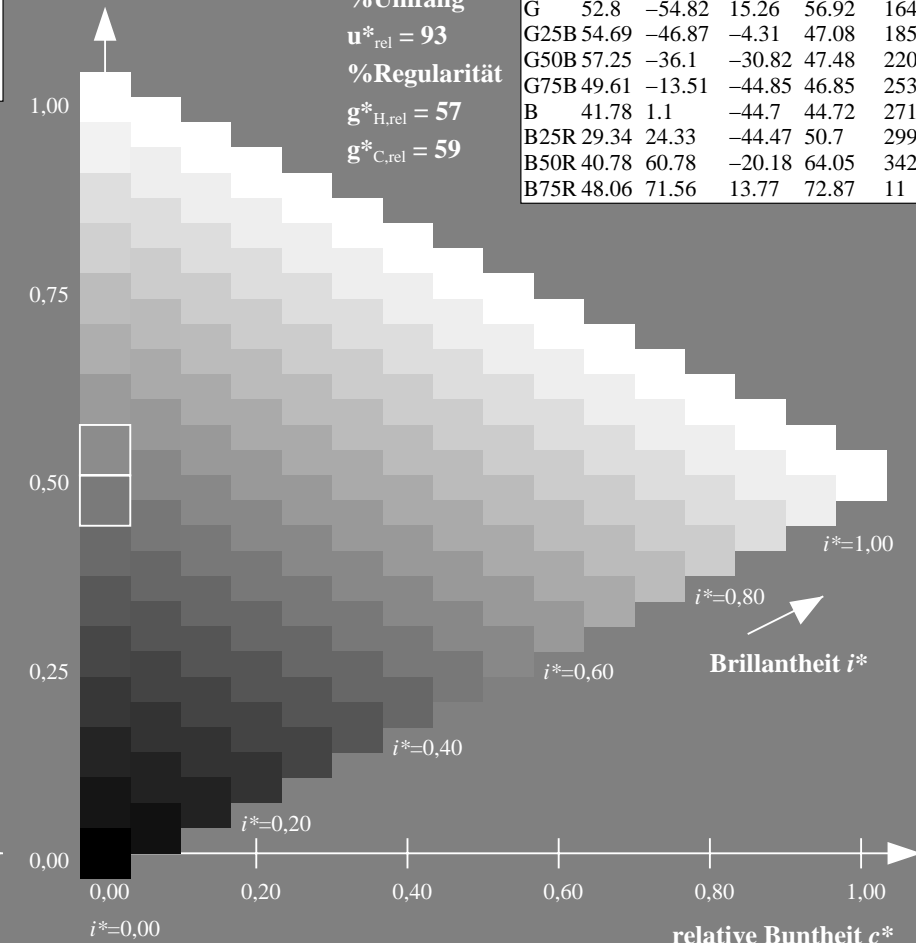
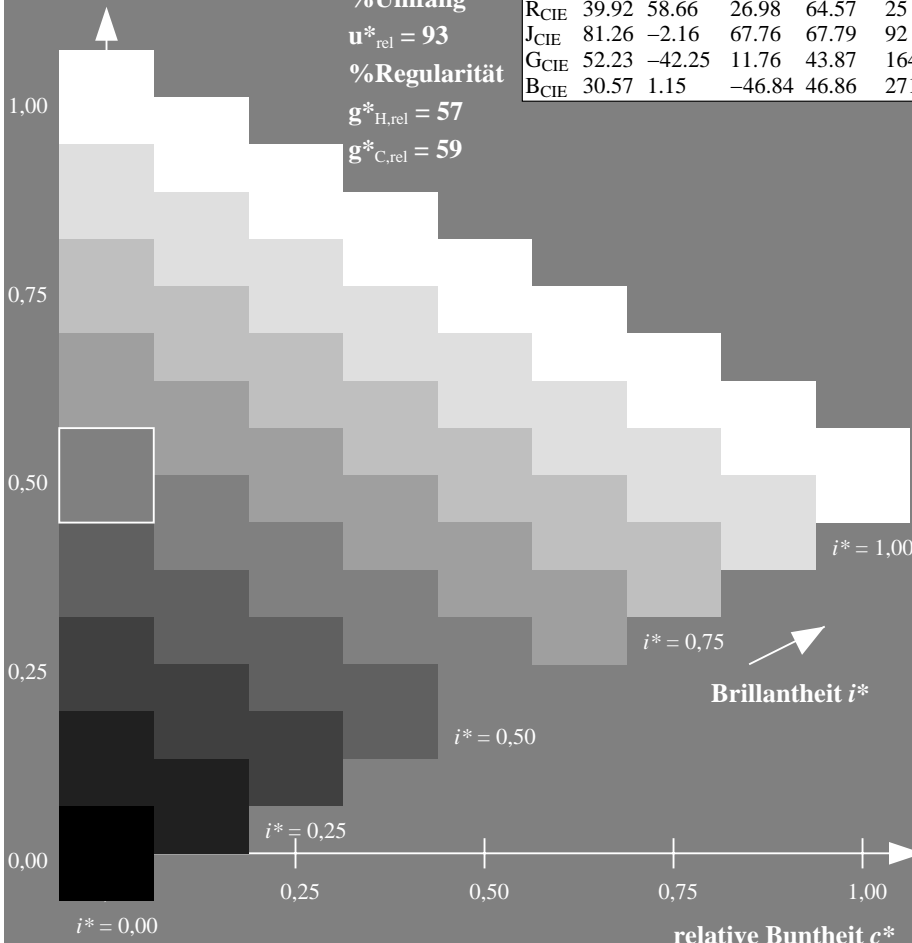
%Umfang

$u^*_{rel} = 93$

%Regularität

$g^*_{H,rel} = 57$

$g^*_{C,rel} = 59$



ZG720-7F, 9stufige Reihen für konstanten CIELAB Buntton 38/360 = 0.105 (links)

Seite 51/60

ZG720-7F, 16stufige Reihen für konstanten CIELAB Buntton 38/360 = 0.105 (rechts)

BAM-Prüfvorlage ZG72; Farbmétrische Systeme, Seite 51/60 Eingabe: $rgb / cmy0 set(rgb/cmyk)color$

D65: 9 und 16stufige Farbreihen für 10 Bunttöne

Ausgabe: $->LAB^*->cmy4^* setcmykcolo$

Eingabe: Farbmétrisches Offset-Reflektiv-System ORS18

für Buntton $h^* = lab^*h = 96/360 = 0.268$

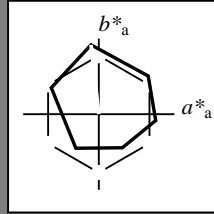
lab^*tch und lab^*nch

D65: Buntton Y

LCH*Ma: 90 92 96

olv*Ma: 1.0 1.0 0.0

Dreiecks-Helligkeit t^*



%Umfang

$u^*_{rel} = 93$

%Regularität

$g^*_{H,rel} = 57$

$g^*_{C,rel} = 59$

ORS18; adaptierte CIELAB-Daten

	$L^*=L^*_a$	a^*_a	b^*_a	$C^*_{ab,a}$	$h^*_{ab,a}$
O _{Ma}	47.94	65.39	50.52	82.63	38
Y _{Ma}	90.37	-10.26	91.75	92.32	96
L _{Ma}	50.9	-62.83	34.96	71.91	151
C _{Ma}	58.62	-30.34	-45.01	54.3	236
V _{Ma}	25.72	31.1	-44.4	54.22	305
M _{Ma}	48.13	75.28	-8.36	75.74	354
N _{Ma}	18.01	0.0	0.0	0.0	0
W _{Ma}	95.41	0.0	0.0	0.0	0
R _{CIE}	39.92	58.66	26.98	64.57	25
J _{CIE}	81.26	-2.16	67.76	67.79	92
G _{CIE}	52.23	-42.25	11.76	43.87	164
B _{CIE}	30.57	1.15	-46.84	46.86	271

Ausgabe: Farbmétrisches Offset-Reflektiv-System ORS18

für Buntton $h^* = lab^*h = 96/360 = 0.268$

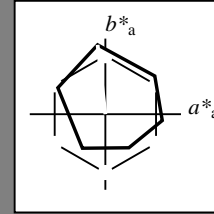
lab^*tch und lab^*nch

D65: Buntton Y

LCH*Ma: 90 92 96

olv*Ma: 1.0 1.0 0.0

Dreiecks-Helligkeit t^*



%Umfang

$u^*_{rel} = 93$

%Regularität

$g^*_{H,rel} = 57$

$g^*_{C,rel} = 59$

ORS18; adaptierte CIELAB-Daten

	$L^*=L^*_a$	a^*_a	b^*_a	$C^*_{ab,a}$	$h^*_{ab,a}$
R	48.0	68.58	31.54	75.48	25
R25J	50.11	61.52	52.63	80.96	41
R50J	62.87	38.77	65.02	75.71	59
R75J	74.87	17.37	76.69	78.63	77
J	86.19	-2.8	87.69	87.73	92
J25G	84.01	-18.73	82.6	84.7	103
J50G	71.17	-35.83	64.13	73.46	119
J75G	56.99	-54.71	43.72	70.05	141
G	52.8	-54.82	15.26	56.92	164
G25B	54.69	-46.87	-4.31	47.08	185
G50B	57.25	-36.1	-30.82	47.48	220
G75B	49.61	-13.51	-44.85	46.85	253
B	41.78	1.1	-44.7	44.72	271
B25R	29.34	24.33	-44.47	50.7	299
B50R	40.78	60.78	-20.18	64.05	342
B75R	48.06	71.56	13.77	72.87	11

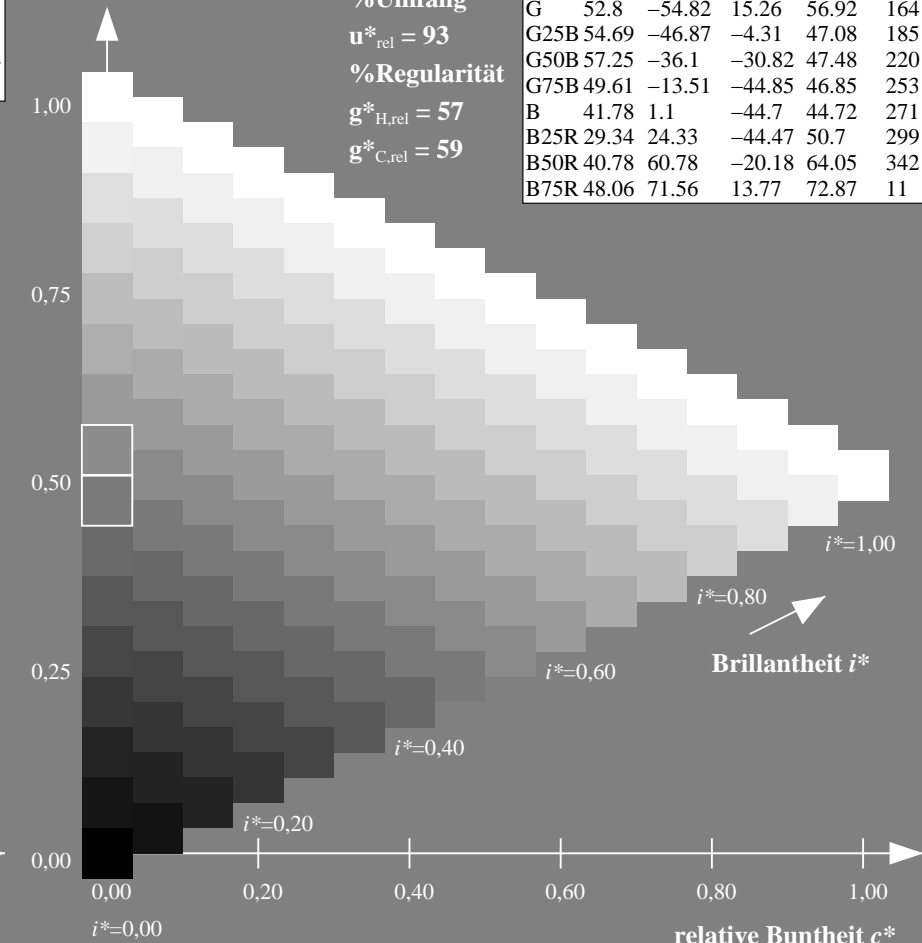
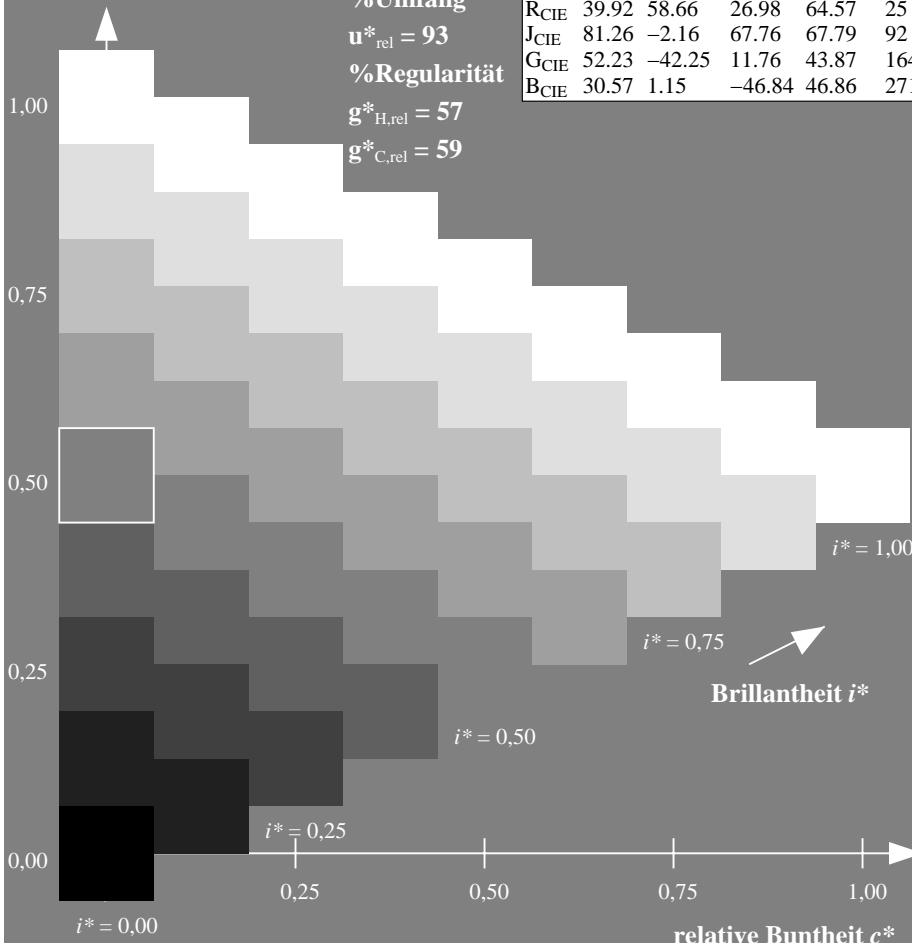
%Umfang

$u^*_{rel} = 93$

%Regularität

$g^*_{H,rel} = 57$

$g^*_{C,rel} = 59$



ZG720-7F, 9stufige Reihen für konstanten CIELAB Buntton 96/360 = 0.268 (links)

Seite 52/60

ZG720-7F, 16stufige Reihen für konstanten CIELAB Buntton 96/360 = 0.268 (rechts)

n*

BAM-Prüfvorlage ZG72; Farbmétrik-Systeme, Seite 52/60 Eingabe: $rgb / cmy0 set(rgb/cmyk)color$

D65: 9 und 16stufige Farbreihen für 10 Bunttöne

Ausgabe: $->LAB^*->cmy4^* setcmykcolo$

Eingabe: Farbmétrisches Offset-Reflektiv-System ORS18

für Buntton $h^* = lab^*h = 151/360 = 0.419$

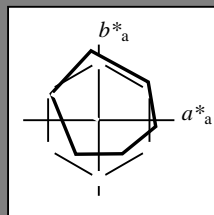
lab^*tch und lab^*nch

D65: Buntton L

LCH*Ma: 51 72 151

olv*Ma: 0.0 1.0 0.0

Dreiecks-Helligkeit t^*



%Umfang

$u^*_{rel} = 93$

%Regularität

$g^*_{H,rel} = 57$

$g^*_{C,rel} = 59$

ORS18; adaptierte CIELAB-Daten

	$L^*=L^*_a$	a^*_a	b^*_a	$C^*_{ab,a}$	$h^*_{ab,a}$
O _{Ma}	47.94	65.39	50.52	82.63	38
Y _{Ma}	90.37	-10.26	91.75	92.32	96
L _{Ma}	50.9	-62.83	34.96	71.91	151
C _{Ma}	58.62	-30.34	-45.01	54.3	236
V _{Ma}	25.72	31.1	-44.4	54.22	305
M _{Ma}	48.13	75.28	-8.36	75.74	354
N _{Ma}	18.01	0.0	0.0	0.0	0
W _{Ma}	95.41	0.0	0.0	0.0	0
R _{CIE}	39.92	58.66	26.98	64.57	25
J _{CIE}	81.26	-2.16	67.76	67.79	92
G _{CIE}	52.23	-42.25	11.76	43.87	164
B _{CIE}	30.57	1.15	-46.84	46.86	271

Ausgabe: Farbmétrisches Offset-Reflektiv-System ORS18

für Buntton $h^* = lab^*h = 151/360 = 0.419$

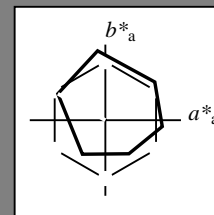
lab^*tch und lab^*nch

D65: Buntton L

LCH*Ma: 51 72 151

olv*Ma: 0.0 1.0 0.0

Dreiecks-Helligkeit t^*



%Umfang

$u^*_{rel} = 93$

%Regularität

$g^*_{H,rel} = 57$

$g^*_{C,rel} = 59$

ORS18; adaptierte CIELAB-Daten

	$L^*=L^*_a$	a^*_a	b^*_a	$C^*_{ab,a}$	$h^*_{ab,a}$
R	48.0	68.58	31.54	75.48	25
R25J	50.11	61.52	52.63	80.96	41
R50J	62.87	38.77	65.02	75.71	59
R75J	74.87	17.37	76.69	78.63	77
J	86.19	-2.8	87.69	87.73	92
J25G	84.01	-18.73	82.6	84.7	103
J50G	71.17	-35.83	64.13	73.46	119
J75G	56.99	-54.71	43.72	70.05	141
G	52.8	-54.82	15.26	56.92	164
G25B	54.69	-46.87	-4.31	47.08	185
G50B	57.25	-36.1	-30.82	47.48	220
G75B	49.61	-13.51	-44.85	46.85	253
B	41.78	1.1	-44.7	44.72	271
B25R	29.34	24.33	-44.47	50.7	299
B50R	40.78	60.78	-20.18	64.05	342
B75R	48.06	71.56	13.77	72.87	11

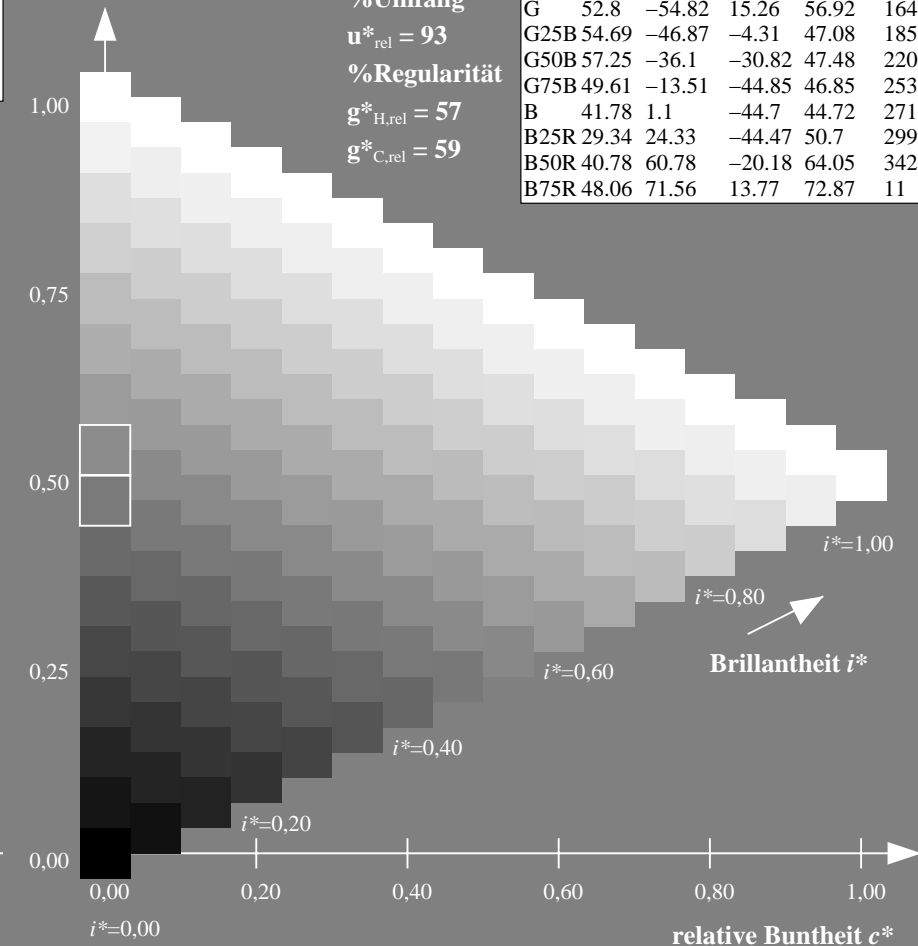
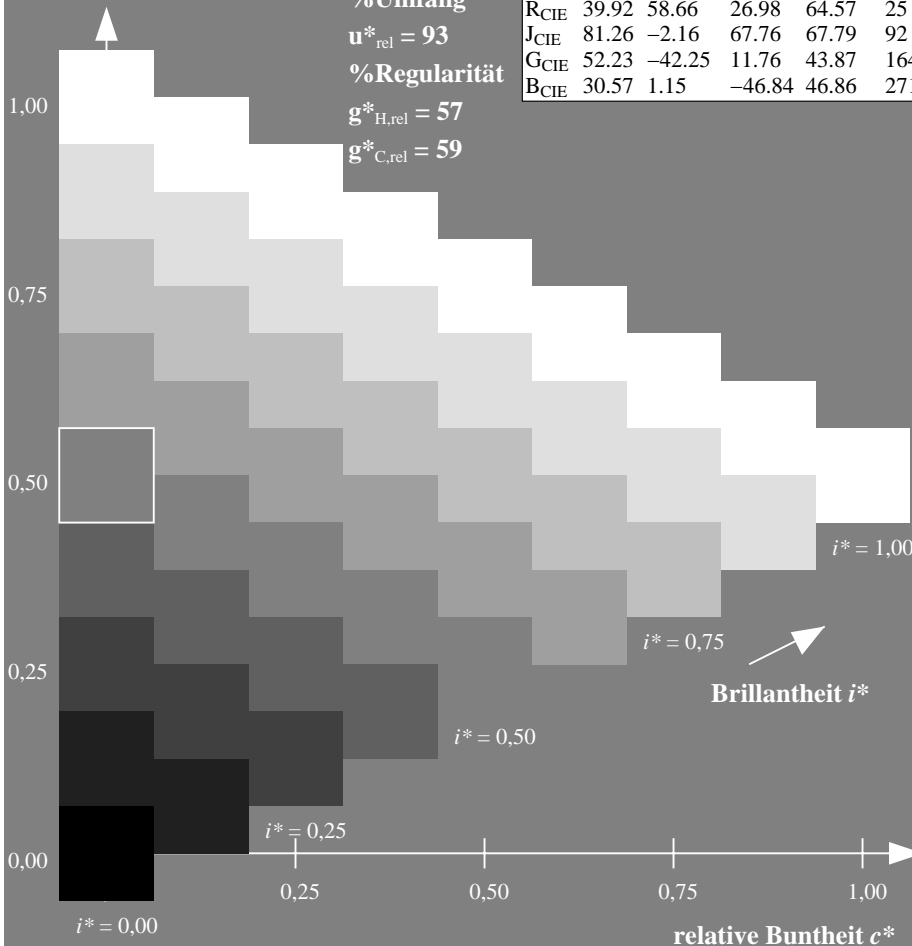
%Umfang

$u^*_{rel} = 93$

%Regularität

$g^*_{H,rel} = 57$

$g^*_{C,rel} = 59$



ZG720-7F, 9stufige Reihen für konstanten CIELAB Buntton 151/360 = 0.419 (links) Seite 53/60

ZG720-7F, 16stufige Reihen für konstanten CIELAB Buntton 151/360 = 0.419 (rechts) n*

BAM-Prüfvorlage ZG72; Farbmétrik-Systeme, Seite 53/60 Eingabe: $rgb / cmy0 set(rgb/cmyk)color$

D65: 9 und 16stufige Farbreihen für 10 Bunttöne

Ausgabe: $->LAB^*->cmy4^* setcmykcolo$

Eingabe: Farbmétrisches Offset-Reflektiv-System ORS18

für Buntton $h^* = lab^*h = 236/360 = 0.656$

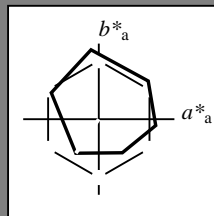
lab^*tch und lab^*nch

D65: Buntton C

LCH*Ma: 59 54 236

olv*Ma: 0.0 1.0 1.0

Dreiecks-Helligkeit t^*



%Umfang

$u^*_{rel} = 93$

%Regularität

$g^*_{H,rel} = 57$

$g^*_{C,rel} = 59$

ORS18; adaptierte CIELAB-Daten

	$L^*=L^*_a$	a^*_a	b^*_a	$C^*_{ab,a}$	$h^*_{ab,a}$
O _{Ma}	47.94	65.39	50.52	82.63	38
Y _{Ma}	90.37	-10.26	91.75	92.32	96
L _{Ma}	50.9	-62.83	34.96	71.91	151
C _{Ma}	58.62	-30.34	-45.01	54.3	236
V _{Ma}	25.72	31.1	-44.4	54.22	305
M _{Ma}	48.13	75.28	-8.36	75.74	354
N _{Ma}	18.01	0.0	0.0	0.0	0
W _{Ma}	95.41	0.0	0.0	0.0	0
R _{CIE}	39.92	58.66	26.98	64.57	25
J _{CIE}	81.26	-2.16	67.76	67.79	92
G _{CIE}	52.23	-42.25	11.76	43.87	164
B _{CIE}	30.57	1.15	-46.84	46.86	271

Ausgabe: Farbmétrisches Offset-Reflektiv-System ORS18

für Buntton $h^* = lab^*h = 236/360 = 0.656$

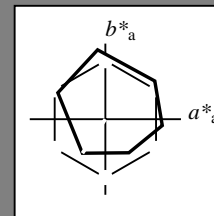
lab^*tch und lab^*nch

D65: Buntton C

LCH*Ma: 59 54 236

olv*Ma: 0.0 1.0 1.0

Dreiecks-Helligkeit t^*



%Umfang

$u^*_{rel} = 93$

%Regularität

$g^*_{H,rel} = 57$

$g^*_{C,rel} = 59$

ORS18; adaptierte CIELAB-Daten

	$L^*=L^*_a$	a^*_a	b^*_a	$C^*_{ab,a}$	$h^*_{ab,a}$
R	48.0	68.58	31.54	75.48	25
R25J	50.11	61.52	52.63	80.96	41
R50J	62.87	38.77	65.02	75.71	59
R75J	74.87	17.37	76.69	78.63	77
J	86.19	-2.8	87.69	87.73	92
J25G	84.01	-18.73	82.6	84.7	103
J50G	71.17	-35.83	64.13	73.46	119
J75G	56.99	-54.71	43.72	70.05	141
G	52.8	-54.82	15.26	56.92	164
G25B	54.69	-46.87	-4.31	47.08	185
G50B	57.25	-36.1	-30.82	47.48	220
G75B	49.61	-13.51	-44.85	46.85	253
B	41.78	1.1	-44.7	44.72	271
B25R	29.34	24.33	-44.47	50.7	299
B50R	40.78	60.78	-20.18	64.05	342
B75R	48.06	71.56	13.77	72.87	11

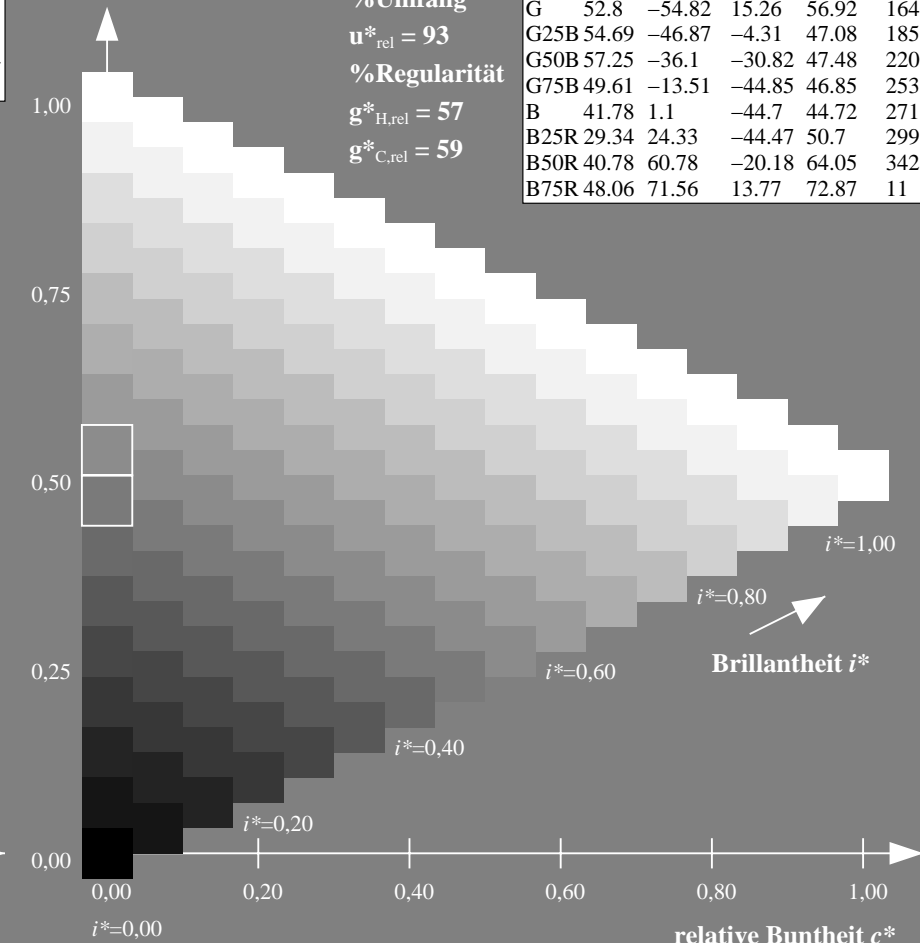
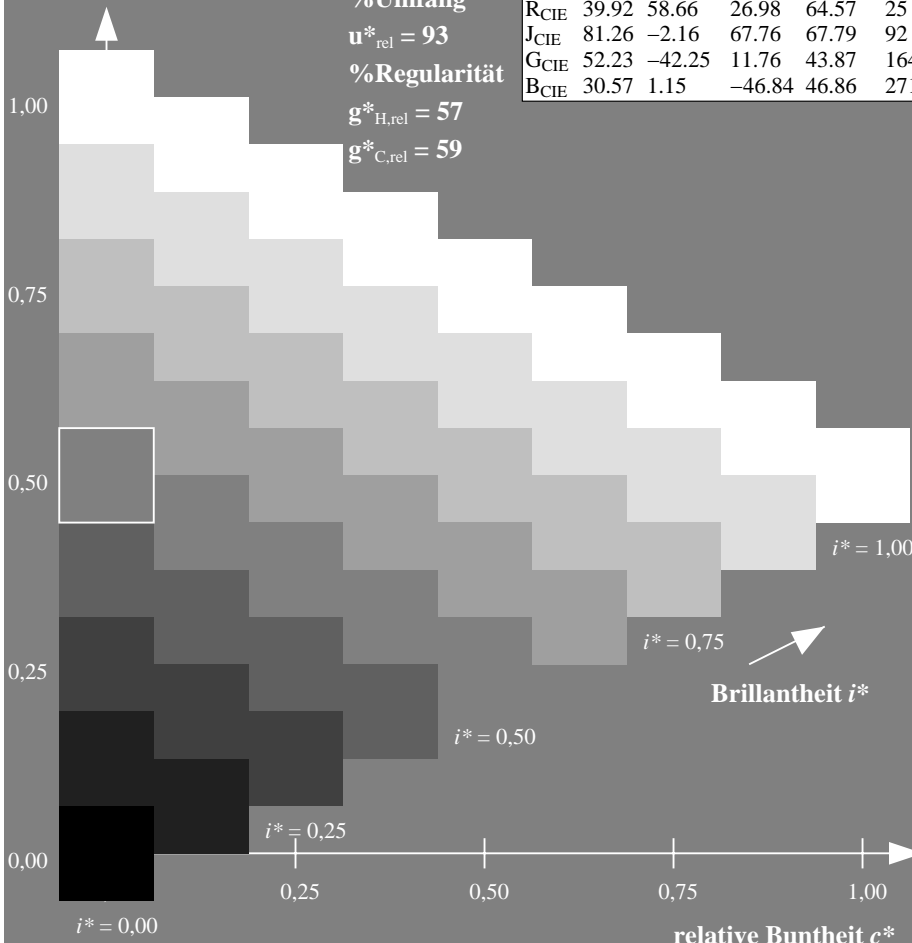
%Umfang

$u^*_{rel} = 93$

%Regularität

$g^*_{H,rel} = 57$

$g^*_{C,rel} = 59$



ZG720-7F, 9stufige Reihen für konstanten CIELAB Buntton 236/360 = 0.656 (links) Seite 54/60

ZG720-7F, 16stufige Reihen für konstanten CIELAB Buntton 236/360 = 0.656 (rechts) n*

BAM-Prüfvorlage ZG72; Farbmétrische-Systeme, Seite 54/60 Eingabe: $rgb / cmy0 set(rgb/cmyk)color$

D65: 9 und 16stufige Farbreihen für 10 Bunttöne

Ausgabe: $->LAB^*->cmy4^* setcmykcolo$

Eingabe: Farbmétrisches Offset-Reflektiv-System ORS18

für Buntton $h^* = lab^*h = 305/360 = 0.847$

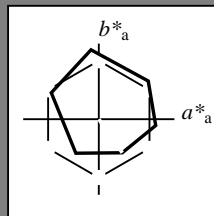
lab^*tch und lab^*nch

D65: Buntton V

LCH*Ma: 26 54 305

olv*Ma: 0.0 0.0 1.0

Dreiecks-Helligkeit t^*



%Umfang

$u^*_{rel} = 93$

%Regularität

$g^*_{H,rel} = 57$

$g^*_{C,rel} = 59$

ORS18; adaptierte CIELAB-Daten

	$L^*=L^*_a$	a^*_a	b^*_a	$C^*_{ab,a}$	$h^*_{ab,a}$
O _{Ma}	47.94	65.39	50.52	82.63	38
Y _{Ma}	90.37	-10.26	91.75	92.32	96
L _{Ma}	50.9	-62.83	34.96	71.91	151
C _{Ma}	58.62	-30.34	-45.01	54.3	236
V _{Ma}	25.72	31.1	-44.4	54.22	305
M _{Ma}	48.13	75.28	-8.36	75.74	354
N _{Ma}	18.01	0.0	0.0	0.0	0
W _{Ma}	95.41	0.0	0.0	0.0	0
R _{CIE}	39.92	58.66	26.98	64.57	25
J _{CIE}	81.26	-2.16	67.76	67.79	92
G _{CIE}	52.23	-42.25	11.76	43.87	164
B _{CIE}	30.57	1.15	-46.84	46.86	271

Ausgabe: Farbmétrisches Offset-Reflektiv-System ORS18

für Buntton $h^* = lab^*h = 305/360 = 0.847$

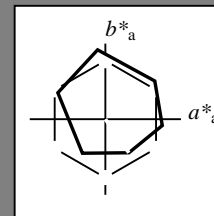
lab^*tch und lab^*nch

D65: Buntton V

LCH*Ma: 26 54 305

olv*Ma: 0.0 0.0 1.0

Dreiecks-Helligkeit t^*



%Umfang

$u^*_{rel} = 93$

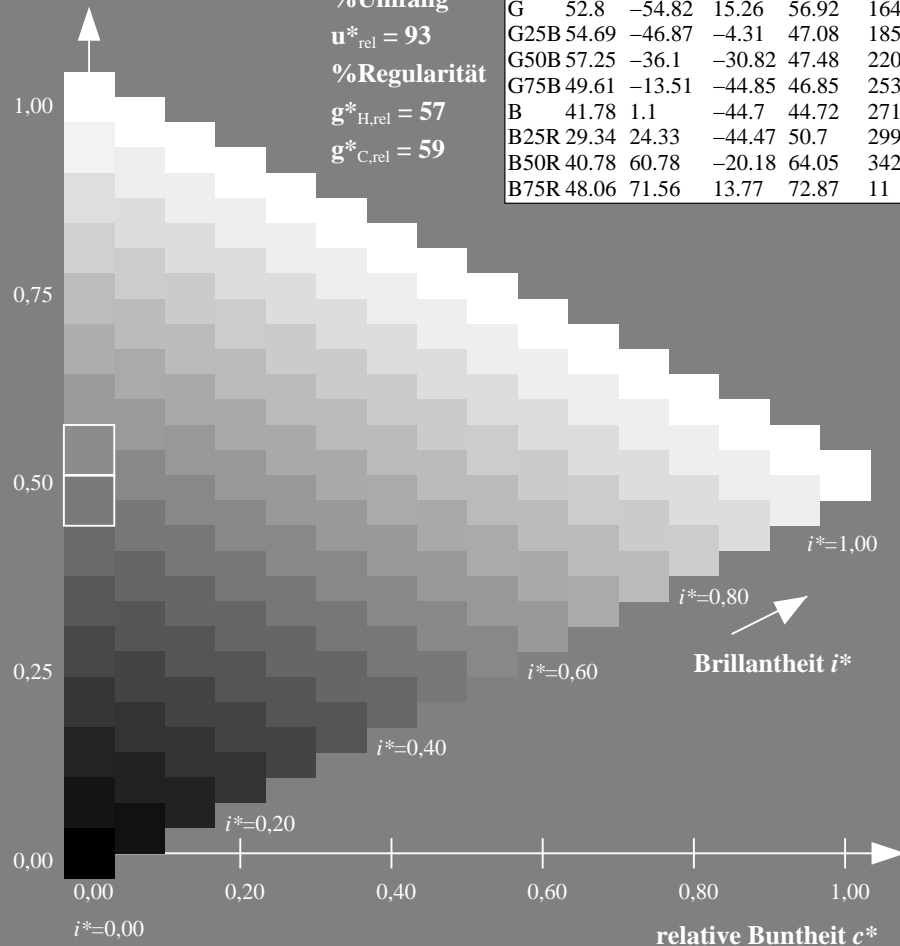
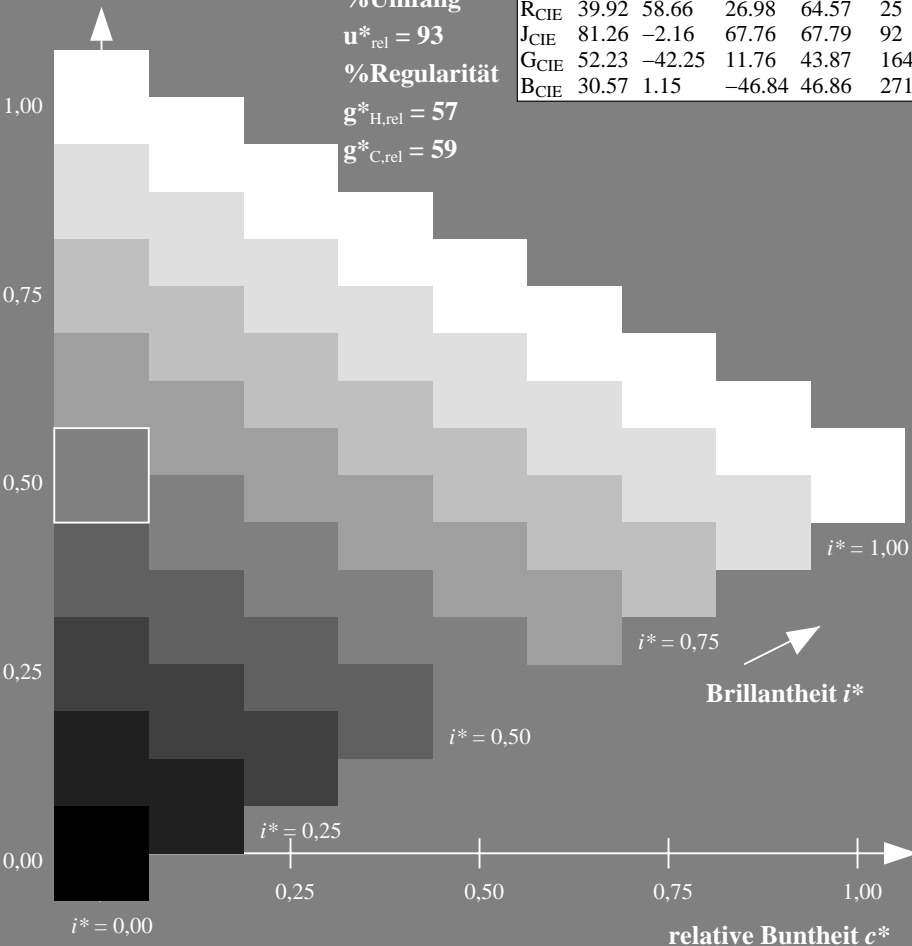
%Regularität

$g^*_{H,rel} = 57$

$g^*_{C,rel} = 59$

ORS18; adaptierte CIELAB-Daten

	$L^*=L^*_a$	a^*_a	b^*_a	$C^*_{ab,a}$	$h^*_{ab,a}$
R	48.0	68.58	31.54	75.48	25
R25J	50.11	61.52	52.63	80.96	41
R50J	62.87	38.77	65.02	75.71	59
R75J	74.87	17.37	76.69	78.63	77
J	86.19	-2.8	87.69	87.73	92
J25G	84.01	-18.73	82.6	84.7	103
J50G	71.17	-35.83	64.13	73.46	119
J75G	56.99	-54.71	43.72	70.05	141
G	52.8	-54.82	15.26	56.92	164
G25B	54.69	-46.87	-4.31	47.08	185
G50B	57.25	-36.1	-30.82	47.48	220
G75B	49.61	-13.51	-44.85	46.85	253
B	41.78	1.1	-44.7	44.72	271
B25R	29.34	24.33	-44.47	50.7	299
B50R	40.78	60.78	-20.18	64.05	342
B75R	48.06	71.56	13.77	72.87	11



ZG720-7F, 9stufige Reihen für konstanten CIELAB Buntton 305/360 = 0.847 (links) Seite 55/60

ZG720-7F, 16stufige Reihen für konstanten CIELAB Buntton 305/360 = 0.847 (rechts) n*

BAM-Prüfvorlage ZG72; Farbmétrische Systeme, Seite 55/60 Eingabe: $rgb / cmy0 set(rgb/cmyk)color$

D65: 9 und 16stufige Farbreihen für 10 Bunttöne

Ausgabe: $->LAB^*->cmy4^* setcmykcolo$

Eingabe: Farbmétrisches Offset-Reflektiv-System ORS18

für Buntton $h^* = lab^*h = 354/360 = 0.982$

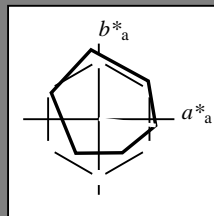
lab^*tch und lab^*nch

D65: Buntton M

LCH*Ma: 48 76 354

olv*Ma: 1.0 0.0 1.0

Dreiecks-Helligkeit t^*



%Umfang

$u^*_{rel} = 93$

%Regularität

$g^*_{H,rel} = 57$

$g^*_{C,rel} = 59$

ORS18; adaptierte CIELAB-Daten

	$L^*=L^*_a$	a^*_a	b^*_a	$C^*_{ab,a}$	$h^*_{ab,a}$
O _{Ma}	47.94	65.39	50.52	82.63	38
Y _{Ma}	90.37	-10.26	91.75	92.32	96
L _{Ma}	50.9	-62.83	34.96	71.91	151
C _{Ma}	58.62	-30.34	-45.01	54.3	236
V _{Ma}	25.72	31.1	-44.4	54.22	305
M _{Ma}	48.13	75.28	-8.36	75.74	354
N _{Ma}	18.01	0.0	0.0	0.0	0
W _{Ma}	95.41	0.0	0.0	0.0	0
R _{CIE}	39.92	58.66	26.98	64.57	25
J _{CIE}	81.26	-2.16	67.76	67.79	92
G _{CIE}	52.23	-42.25	11.76	43.87	164
B _{CIE}	30.57	1.15	-46.84	46.86	271

Ausgabe: Farbmétrisches Offset-Reflektiv-System ORS18

für Buntton $h^* = lab^*h = 354/360 = 0.982$

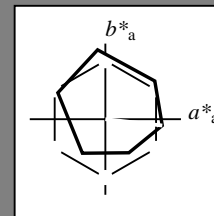
lab^*tch und lab^*nch

D65: Buntton M

LCH*Ma: 48 76 354

olv*Ma: 1.0 0.0 1.0

Dreiecks-Helligkeit t^*



%Umfang

$u^*_{rel} = 93$

%Regularität

$g^*_{H,rel} = 57$

$g^*_{C,rel} = 59$

ORS18; adaptierte CIELAB-Daten

	$L^*=L^*_a$	a^*_a	b^*_a	$C^*_{ab,a}$	$h^*_{ab,a}$
R	48.0	68.58	31.54	75.48	25
R25J	50.11	61.52	52.63	80.96	41
R50J	62.87	38.77	65.02	75.71	59
R75J	74.87	17.37	76.69	78.63	77
J	86.19	-2.8	87.69	87.73	92
J25G	84.01	-18.73	82.6	84.7	103
J50G	71.17	-35.83	64.13	73.46	119
J75G	56.99	-54.71	43.72	70.05	141
G	52.8	-54.82	15.26	56.92	164
G25B	54.69	-46.87	-4.31	47.08	185
G50B	57.25	-36.1	-30.82	47.48	220
G75B	49.61	-13.51	-44.85	46.85	253
B	41.78	1.1	-44.7	44.72	271
B25R	29.34	24.33	-44.47	50.7	299
B50R	40.78	60.78	-20.18	64.05	342
B75R	48.06	71.56	13.77	72.87	11

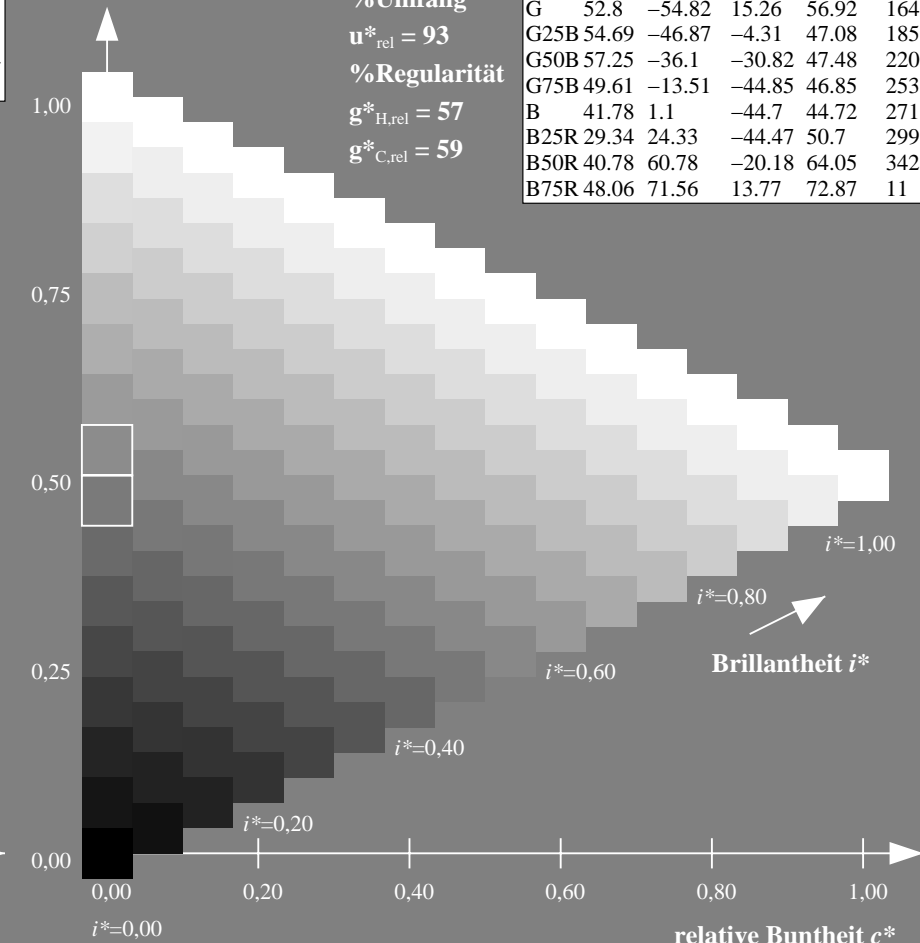
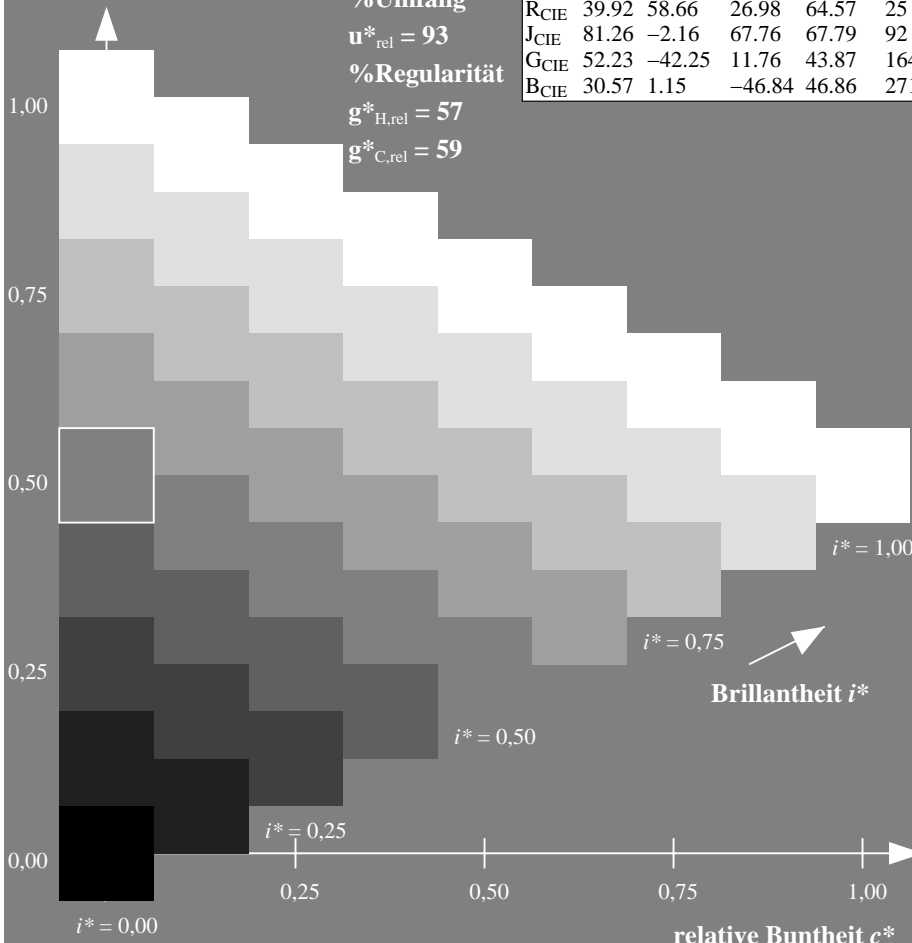
%Umfang

$u^*_{rel} = 93$

%Regularität

$g^*_{H,rel} = 57$

$g^*_{C,rel} = 59$



ZG720-7F, 9stufige Reihen für konstanten CIELAB Buntton 354/360 = 0.982 (links) Seite 56/60

ZG720-7F, 16stufige Reihen für konstanten CIELAB Buntton 354/360 = 0.982 (rechts) n*

BAM-Prüfvorlage ZG72; Farbmétrik-Systeme, Seite 56/60 Eingabe: $rgb / cmy0 set(rgb/cmyk)color$

D65: 9 und 16stufige Farbreihen für 10 Bunttöne

Ausgabe: $->LAB^*->cmy4^* setcmykcolo$

Eingabe: Farbmétrisches Offset-Reflektiv-System ORS18

für Buntton $h^* = lab^*h = 25/360 = 0.069$

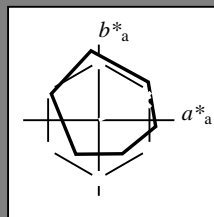
lab^*tch und lab^*nch

D65: Buntton R

LCH*Ma: 48 75 25

olv*Ma: 1.0 0.0 0.32

Dreiecks-Helligkeit t^*



%Umfang

$u^*_{rel} = 93$

%Regularität

$g^*_{H,rel} = 57$

$g^*_{C,rel} = 59$

ORS18; adaptierte CIELAB-Daten

	$L^*=L^*_a$	a^*_a	b^*_a	$C^*_{ab,a}$	$h^*_{ab,a}$
O _{Ma}	47.94	65.39	50.52	82.63	38
Y _{Ma}	90.37	-10.26	91.75	92.32	96
L _{Ma}	50.9	-62.83	34.96	71.91	151
C _{Ma}	58.62	-30.34	-45.01	54.3	236
V _{Ma}	25.72	31.1	-44.4	54.22	305
M _{Ma}	48.13	75.28	-8.36	75.74	354
N _{Ma}	18.01	0.0	0.0	0.0	0
W _{Ma}	95.41	0.0	0.0	0.0	0
R _{CIE}	39.92	58.66	26.98	64.57	25
J _{CIE}	81.26	-2.16	67.76	67.79	92
G _{CIE}	52.23	-42.25	11.76	43.87	164
B _{CIE}	30.57	1.15	-46.84	46.86	271

Ausgabe: Farbmétrisches Offset-Reflektiv-System ORS18

für Buntton $h^* = lab^*h = 25/360 = 0.069$

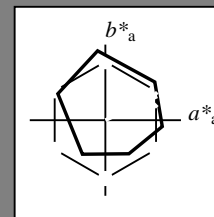
lab^*tch und lab^*nch

D65: Buntton R

LCH*Ma: 48 75 25

olv*Ma: 1.0 0.0 0.32

Dreiecks-Helligkeit t^*



%Umfang

$u^*_{rel} = 93$

%Regularität

$g^*_{H,rel} = 57$

$g^*_{C,rel} = 59$

ORS18; adaptierte CIELAB-Daten

	$L^*=L^*_a$	a^*_a	b^*_a	$C^*_{ab,a}$	$h^*_{ab,a}$
R	48.0	68.58	31.54	75.48	25
R25J	50.11	61.52	52.63	80.96	41
R50J	62.87	38.77	65.02	75.71	59
R75J	74.87	17.37	76.69	78.63	77
J	86.19	-2.8	87.69	87.73	92
J25G	84.01	-18.73	82.6	84.7	103
J50G	71.17	-35.83	64.13	73.46	119
J75G	56.99	-54.71	43.72	70.05	141
G	52.8	-54.82	15.26	56.92	164
G25B	54.69	-46.87	-4.31	47.08	185
G50B	57.25	-36.1	-30.82	47.48	220
G75B	49.61	-13.51	-44.85	46.85	253
B	41.78	1.1	-44.7	44.72	271
B25R	29.34	24.33	-44.47	50.7	299
B50R	40.78	60.78	-20.18	64.05	342
B75R	48.06	71.56	13.77	72.87	11

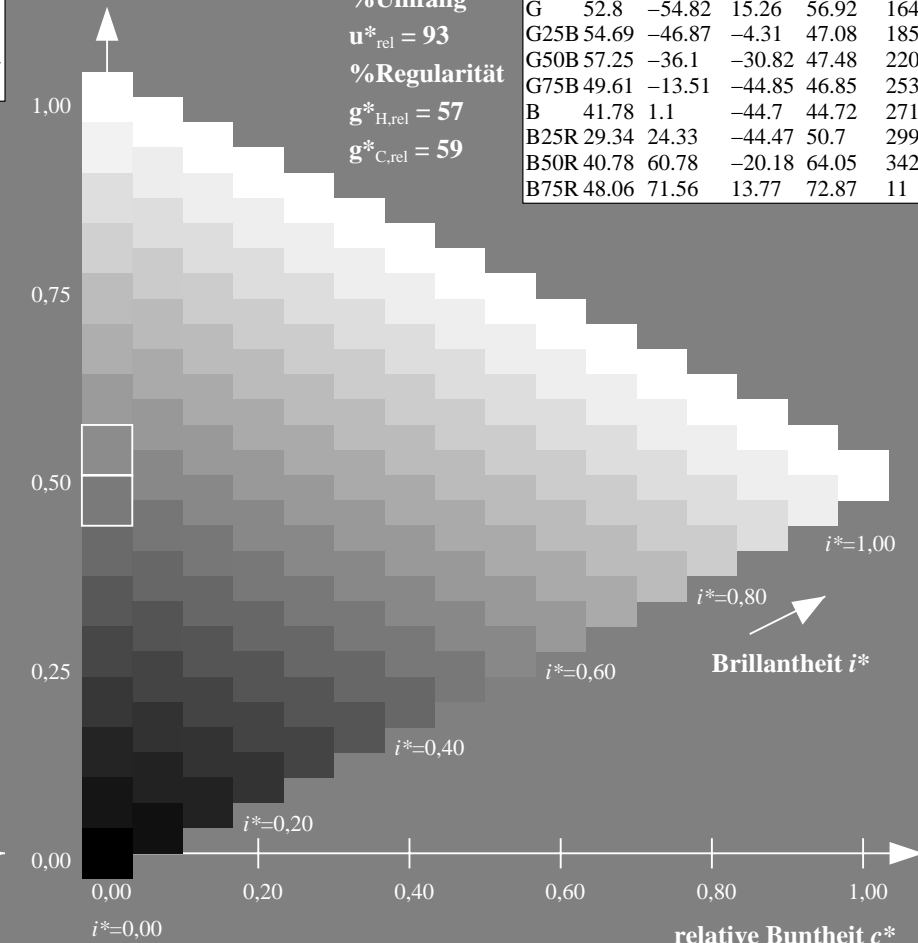
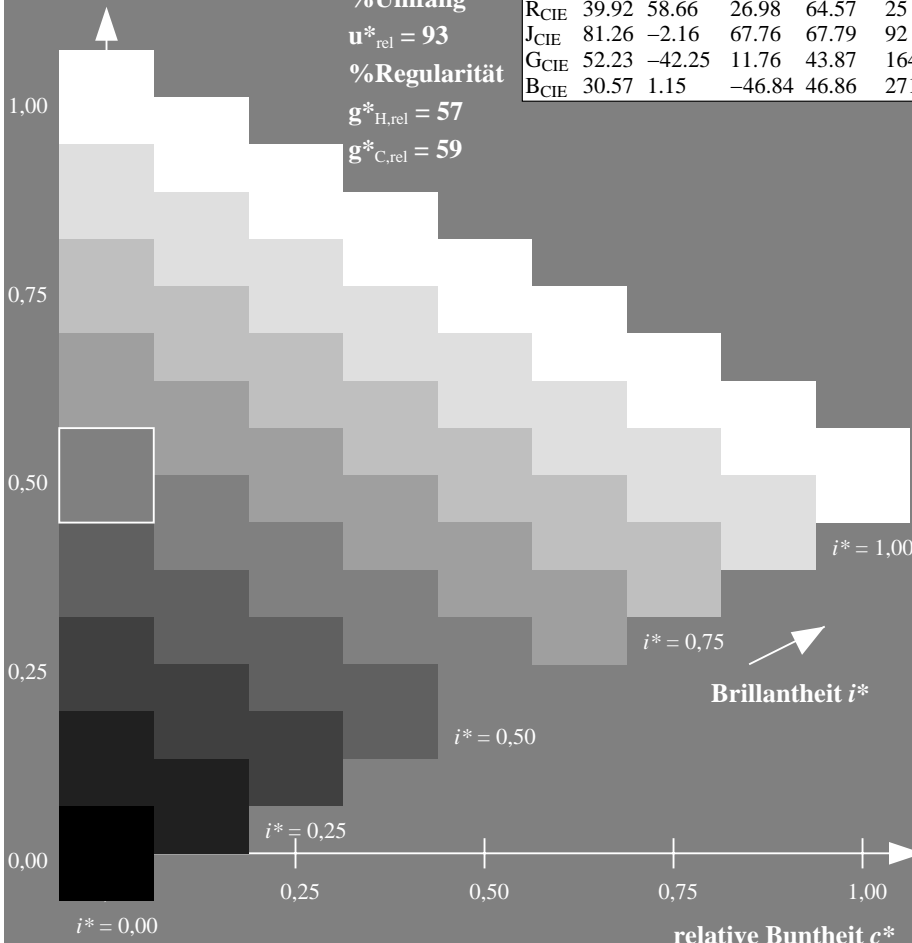
%Umfang

$u^*_{rel} = 93$

%Regularität

$g^*_{H,rel} = 57$

$g^*_{C,rel} = 59$



ZG720-7F, 9stufige Reihen für konstanten CIELAB Buntton 25/360 = 0.069 (links)

Seite 57/60

ZG720-7F, 16stufige Reihen für konstanten CIELAB Buntton 25/360 = 0.069 (rechts)

n*

BAM-Prüfvorlage ZG72; Farbmétrik-Systeme, Seite 57/60 Eingabe: $rgb / cmy0 set(rgb/cmyk)color$

D65: 9 und 16stufige Farbreihen für 10 Bunttöne

Ausgabe: $->LAB^*->cmy4^* setcmykcolo$

Eingabe: Farbmétrisches Offset-Reflektiv-System ORS18

für Buntton $h^* = lab^*h = 92/360 = 0.255$

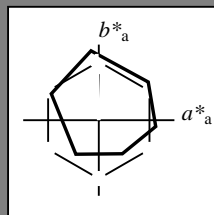
lab^*tch und lab^*nch

D65: Buntton J

LCH*Ma: 86 88 92

olv*Ma: 1.0 0.9 0.0

Dreiecks-Helligkeit t^*



%Umfang

$u^*_{rel} = 93$

%Regularität

$g^*_{H,rel} = 57$

$g^*_{C,rel} = 59$

ORS18; adaptierte CIELAB-Daten	$L^*=L^*_a$	a^*_a	b^*_a	$C^*_{ab,a}$	$h^*_{ab,a}$
O _{Ma}	47.94	65.39	50.52	82.63	38
Y _{Ma}	90.37	-10.26	91.75	92.32	96
L _{Ma}	50.9	-62.83	34.96	71.91	151
C _{Ma}	58.62	-30.34	-45.01	54.3	236
V _{Ma}	25.72	31.1	-44.4	54.22	305
M _{Ma}	48.13	75.28	-8.36	75.74	354
N _{Ma}	18.01	0.0	0.0	0.0	0
W _{Ma}	95.41	0.0	0.0	0.0	0
R _{CIE}	39.92	58.66	26.98	64.57	25
J _{CIE}	81.26	-2.16	67.76	67.79	92
G _{CIE}	52.23	-42.25	11.76	43.87	164
B _{CIE}	30.57	1.15	-46.84	46.86	271

Ausgabe: Farbmétrisches Offset-Reflektiv-System ORS18

für Buntton $h^* = lab^*h = 92/360 = 0.255$

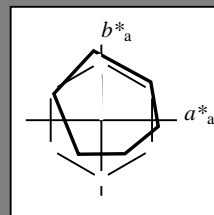
lab^*tch und lab^*nch

D65: Buntton J

LCH*Ma: 86 88 92

olv*Ma: 1.0 0.9 0.0

Dreiecks-Helligkeit t^*



%Umfang

$u^*_{rel} = 93$

%Regularität

$g^*_{H,rel} = 57$

$g^*_{C,rel} = 59$

ORS18; adaptierte CIELAB-Daten	$L^*=L^*_a$	a^*_a	b^*_a	$C^*_{ab,a}$	$h^*_{ab,a}$
R	48.0	68.58	31.54	75.48	25
R25J	50.11	61.52	52.63	80.96	41
R50J	62.87	38.77	65.02	75.71	59
R75J	74.87	17.37	76.69	78.63	77
J	86.19	-2.8	87.69	87.73	92
J25G	84.01	-18.73	82.6	84.7	103
J50G	71.17	-35.83	64.13	73.46	119
J75G	56.99	-54.71	43.72	70.05	141
G	52.8	-54.82	15.26	56.92	164
G25B	54.69	-46.87	-4.31	47.08	185
G50B	57.25	-36.1	-30.82	47.48	220
G75B	49.61	-13.51	-44.85	46.85	253
B	41.78	1.1	-44.7	44.72	271
B25R	29.34	24.33	-44.47	50.7	299
B50R	40.78	60.78	-20.18	64.05	342
B75R	48.06	71.56	13.77	72.87	11

%Umfang

$u^*_{rel} = 93$

%Regularität

$g^*_{H,rel} = 57$

$g^*_{C,rel} = 59$

%Umfang

$u^*_{rel} = 93$

%Regularität

$g^*_{H,rel} = 57$

$g^*_{C,rel} = 59$

%Umfang

$u^*_{rel} = 93$

%Regularität

$g^*_{H,rel} = 57$

$g^*_{C,rel} = 59$

%Umfang

$u^*_{rel} = 93$

%Regularität

$g^*_{H,rel} = 57$

$g^*_{C,rel} = 59$

%Umfang

$u^*_{rel} = 93$

%Regularität

$g^*_{H,rel} = 57$

$g^*_{C,rel} = 59$

%Umfang

$u^*_{rel} = 93$

%Regularität

$g^*_{H,rel} = 57$

$g^*_{C,rel} = 59$

%Umfang

$u^*_{rel} = 93$

%Regularität

$g^*_{H,rel} = 57$

$g^*_{C,rel} = 59$

%Umfang

$u^*_{rel} = 93$

%Regularität

$g^*_{H,rel} = 57$

$g^*_{C,rel} = 59$

%Umfang

$u^*_{rel} = 93$

%Regularität

$g^*_{H,rel} = 57$

$g^*_{C,rel} = 59$

%Umfang

$u^*_{rel} = 93$

%Regularität

$g^*_{H,rel} = 57$

$g^*_{C,rel} = 59$

%Umfang

$u^*_{rel} = 93$

%Regularität

$g^*_{H,rel} = 57$

$g^*_{C,rel} = 59$

%Umfang

$u^*_{rel} = 93$

%Regularität

$g^*_{H,rel} = 57$

$g^*_{C,rel} = 59$

%Umfang

$u^*_{rel} = 93$

%Regularität

$g^*_{H,rel} = 57$

$g^*_{C,rel} = 59$

%Umfang

$u^*_{rel} = 93$

%Regularität

$g^*_{H,rel} = 57$

$g^*_{C,rel} = 59$

%Umfang

$u^*_{rel} = 93$

%Regularität

$g^*_{H,rel} = 57$

$g^*_{C,rel} = 59$

%Umfang

$u^*_{rel} = 93$

%Regularität

$g^*_{H,rel} = 57$

$g^*_{C,rel} = 59$

%Umfang

$u^*_{rel} = 93$

%Regularität

$g^*_{H,rel} = 57$

$g^*_{C,rel} = 59$

%Umfang

$u^*_{rel} = 93$

%Regularität

$g^*_{H,rel} = 57$

$g^*_{C,rel} = 59$

%Umfang

$u^*_{rel} = 93$

%Regularität

$g^*_{H,rel} = 57$

$g^*_{C,rel} = 59$

%Umfang

$u^*_{rel} = 93$

%Regularität

$g^*_{H,rel} = 57$

$g^*_{C,rel} = 59$

%Umfang

$u^*_{rel} = 93$

%Regularität

$g^*_{H,rel} = 57$

$g^*_{C,rel} = 59$

%Umfang

$u^*_{rel} = 93$

%Regularität

$g^*_{H,rel} = 57$

$g^*_{C,rel} = 59$

%Umfang

$u^*_{rel} = 93$

%Regularität

$g^*_{H,rel} = 57$

$g^*_{C,rel} = 59$

%Umfang

$u^*_{rel} = 93$

%Regularität

$g^*_{H,rel} = 57$

$g^*_{C,rel} = 59$

%Umfang

$u^*_{rel} = 93$

%Regularität

$g^*_{H,rel} = 57$

$g^*_{C,rel} = 59$

%Umfang

$u^*_{rel} = 93$

%Regularität

$g^*_{H,rel} = 57$

$g^*_{C,rel} = 59$

%Umfang

$u^*_{rel} = 93$

%Regularität

$g^*_{H,rel} = 57$

$g^*_{C,rel} = 59$

%Umfang

$u^*_{rel} = 93$

%Regularität

$g^*_{H,rel} = 57$

$g^*_{C,rel} = 59$

%Umfang

$u^*_{rel} = 93$

%Regularität

$g^*_{H,rel} = 57$

$g^*_{C,rel} = 59$

%Umfang

$u^*_{rel} = 93$

%Regularität

$g^*_{H,rel} = 57$

$g^*_{C,rel} = 59$

%Umfang

$u^*_{rel} = 93$

%Regularität

$g^*_{H,rel} = 57$

$g^*_{C,rel} = 59$

%Umfang

$u^*_{rel} = 93$

%Regularität

$g^*_{H,rel} = 57$

$g^*_{C,rel} = 59$

%Umfang

$u^*_{rel} = 93$

%Regularität

$g^*_{H,rel} = 57$

$g^*_{C,rel} = 59$

%Umfang

$u^*_{rel} = 93$

%Regularität

$g^*_{H,rel} = 57$

$g^*_{C,rel} = 59$

%Umfang

$u^*_{rel} = 93$

%Regularität

$g^*_{H,rel} = 57$

$g^*_{C,rel} = 59$

%Umfang

$u^*_{rel} = 93$

%Regularität

$g^*_{H,rel} = 57$

$g^*_{C,rel} = 59$

%Umfang

$u^*_{rel} = 93$

%Regularität

$g^*_{H,rel} = 57$

$g^*_{C,rel} = 59$

%Umfang

$u^*_{rel} = 93$

%Regularität

$g^*_{H,rel} = 57$

$g^*_{C,rel} = 59$

%Umfang

$u^*_{rel} = 93$

%Regularität

$g^*_{H,rel} = 57$

$g^*_{C,rel} = 59$

%Umfang

$u^*_{rel} = 93$

%Regularität

$g^*_{H,rel} = 57$

$g^*_{C,rel} = 59$

%Umfang

$u^*_{rel} = 93$

Eingabe: Farbmétrisches Offset-Reflektiv-System ORS18

für Buntton $h^* = lab^*h = 164/360 = 0.457$

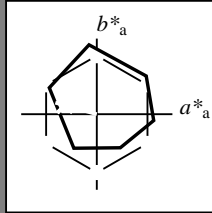
lab^*tch und lab^*nch

D65: Buntton G

LCH*Ma: 53 57 164

olv*Ma: 0.0 1.0 0.25

Dreiecks-Helligkeit t^*



%Umfang

$u^*_{rel} = 93$

%Regularität

$g^*_{H,rel} = 57$

$g^*_{C,rel} = 59$

ORS18; adaptierte CIELAB-Daten

	$L^*=L^*_a$	a^*_a	b^*_a	$C^*_{ab,a}$	$h^*_{ab,a}$
O _{Ma}	47.94	65.39	50.52	82.63	38
Y _{Ma}	90.37	-10.26	91.75	92.32	96
L _{Ma}	50.9	-62.83	34.96	71.91	151
C _{Ma}	58.62	-30.34	-45.01	54.3	236
V _{Ma}	25.72	31.1	-44.4	54.22	305
M _{Ma}	48.13	75.28	-8.36	75.74	354
N _{Ma}	18.01	0.0	0.0	0.0	0
W _{Ma}	95.41	0.0	0.0	0.0	0
R _{CIE}	39.92	58.66	26.98	64.57	25
J _{CIE}	81.26	-2.16	67.76	67.79	92
G _{CIE}	52.23	-42.25	11.76	43.87	164
B _{CIE}	30.57	1.15	-46.84	46.86	271

Ausgabe: Farbmétrisches Offset-Reflektiv-System ORS18

für Buntton $h^* = lab^*h = 164/360 = 0.457$

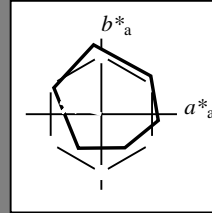
lab^*tch und lab^*nch

D65: Buntton G

LCH*Ma: 53 57 164

olv*Ma: 0.0 1.0 0.25

Dreiecks-Helligkeit t^*



%Umfang

$u^*_{rel} = 93$

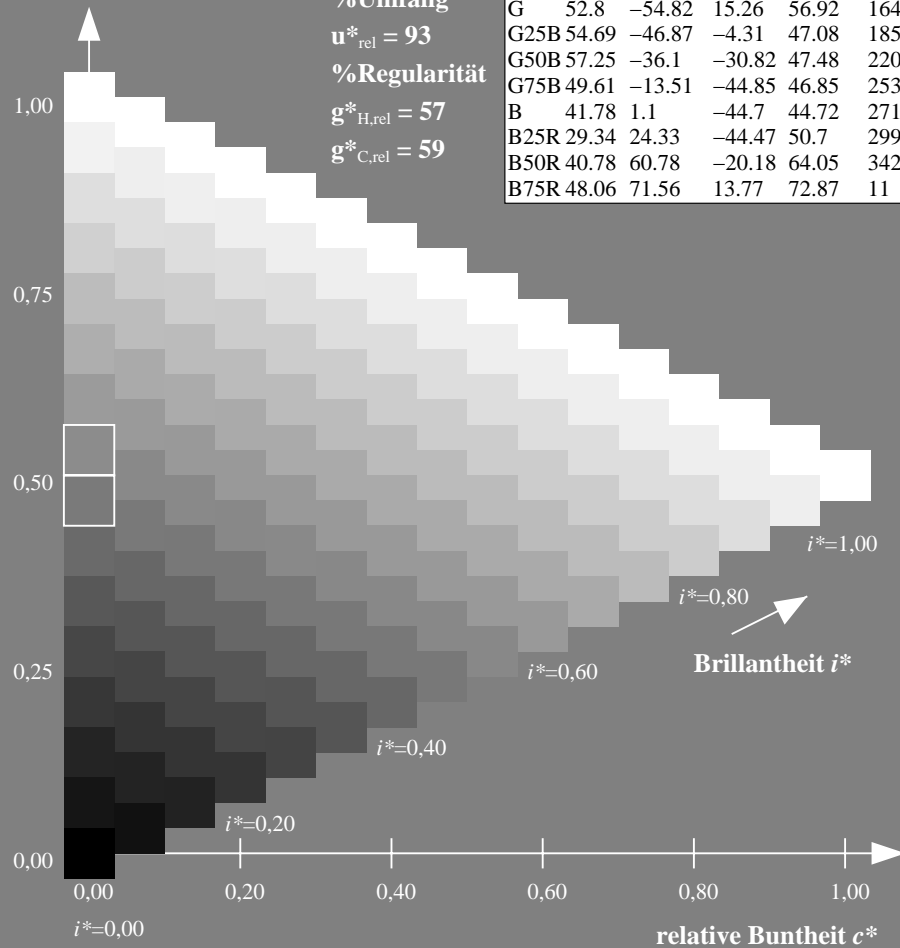
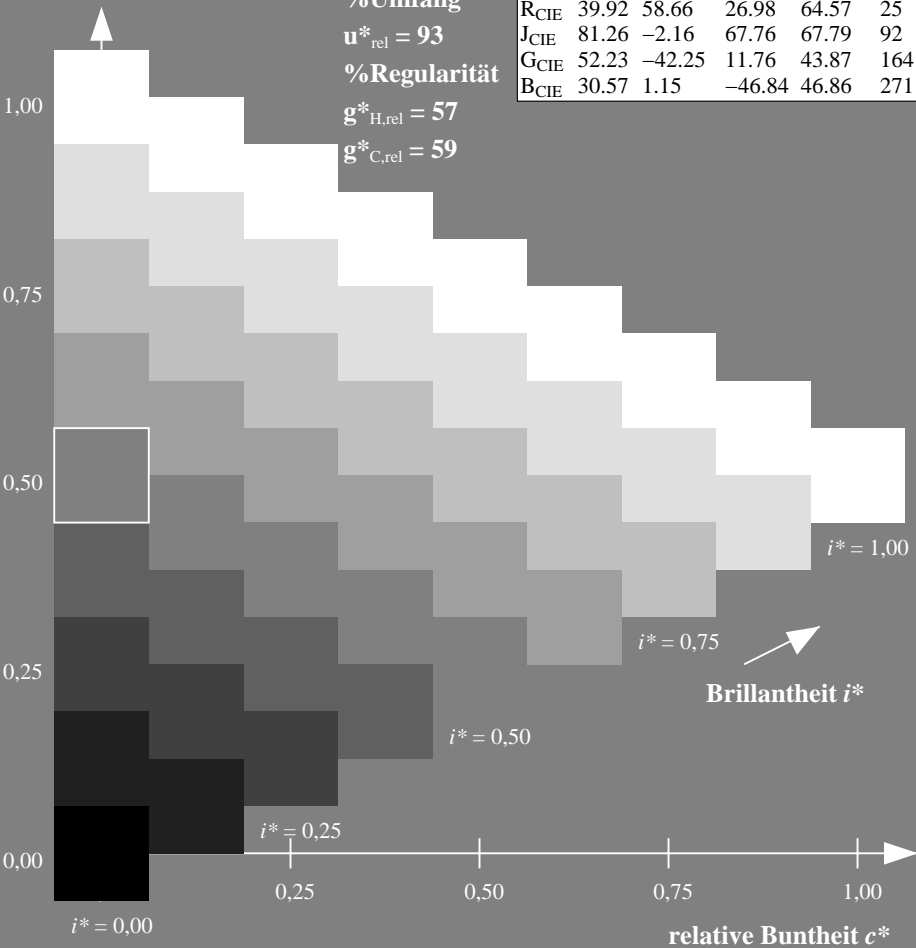
%Regularität

$g^*_{H,rel} = 57$

$g^*_{C,rel} = 59$

ORS18; adaptierte CIELAB-Daten

	$L^*=L^*_a$	a^*_a	b^*_a	$C^*_{ab,a}$	$h^*_{ab,a}$
R	48.0	68.58	31.54	75.48	25
R25J	50.11	61.52	52.63	80.96	41
R50J	62.87	38.77	65.02	75.71	59
R75J	74.87	17.37	76.69	78.63	77
J	86.19	-2.8	87.69	87.73	92
J25G	84.01	-18.73	82.6	84.7	103
J50G	71.17	-35.83	64.13	73.46	119
J75G	56.99	-54.71	43.72	70.05	141
G	52.8	-54.82	15.26	56.92	164
G25B	54.69	-46.87	-4.31	47.08	185
G50B	57.25	-36.1	-30.82	47.48	220
G75B	49.61	-13.51	-44.85	46.85	253
B	41.78	1.1	-44.7	44.72	271
B25R	29.34	24.33	-44.47	50.7	299
B50R	40.78	60.78	-20.18	64.05	342
B75R	48.06	71.56	13.77	72.87	11



ZG720-7F, 9stufige Reihen für konstanten CIELAB Buntton 164/360 = 0.457 (links) Seite 59/60

ZG720-7F, 16stufige Reihen für konstanten CIELAB Buntton 164/360 = 0.457 (rechts) n*

BAM-Prüfvorlage ZG72; Farbmétrische Systeme, Seite 59/60 Eingabe: $rgb / cmy0 set(rgb/cmyk)color$

D65: 9 und 16stufige Farbreihen für 10 Bunttöne

Ausgabe: $->LAB^*->cmy4^* setcmykcolo$

Eingabe: Farbmétrisches Offset-Reflektiv-System ORS18

für Buntton $h^* = lab^*h = 271/360 = 0.754$

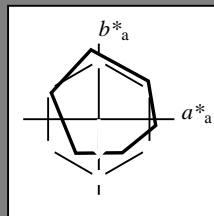
lab^*tch und lab^*nch

D65: Buntton B

LCH*Ma: 42 45 271

olv*Ma: 0.0 0.49 1.0

Dreiecks-Helligkeit t^*



%Umfang

$u^*_{rel} = 93$

%Regularität

$g^*_{H,rel} = 57$

$g^*_{C,rel} = 59$

ORS18; adaptierte CIELAB-Daten

	$L^*=L^*_a$	a^*_a	b^*_a	$C^*_{ab,a}$	$h^*_{ab,a}$
O _{Ma}	47.94	65.39	50.52	82.63	38
Y _{Ma}	90.37	-10.26	91.75	92.32	96
L _{Ma}	50.9	-62.83	34.96	71.91	151
C _{Ma}	58.62	-30.34	-45.01	54.3	236
V _{Ma}	25.72	31.1	-44.4	54.22	305
M _{Ma}	48.13	75.28	-8.36	75.74	354
N _{Ma}	18.01	0.0	0.0	0.0	0
W _{Ma}	95.41	0.0	0.0	0.0	0
R _{CIE}	39.92	58.66	26.98	64.57	25
J _{CIE}	81.26	-2.16	67.76	67.79	92
G _{CIE}	52.23	-42.25	11.76	43.87	164
B _{CIE}	30.57	1.15	-46.84	46.86	271

Ausgabe: Farbmétrisches Offset-Reflektiv-System ORS18

für Buntton $h^* = lab^*h = 271/360 = 0.754$

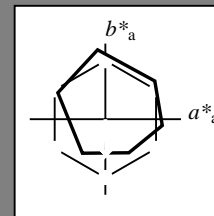
lab^*tch und lab^*nch

D65: Buntton B

LCH*Ma: 42 45 271

olv*Ma: 0.0 0.49 1.0

Dreiecks-Helligkeit t^*



%Umfang

$u^*_{rel} = 93$

%Regularität

$g^*_{H,rel} = 57$

$g^*_{C,rel} = 59$

ORS18; adaptierte CIELAB-Daten

	$L^*=L^*_a$	a^*_a	b^*_a	$C^*_{ab,a}$	$h^*_{ab,a}$
R	48.0	68.58	31.54	75.48	25
R25J	50.11	61.52	52.63	80.96	41
R50J	62.87	38.77	65.02	75.71	59
R75J	74.87	17.37	76.69	78.63	77
J	86.19	-2.8	87.69	87.73	92
J25G	84.01	-18.73	82.6	84.7	103
J50G	71.17	-35.83	64.13	73.46	119
J75G	56.99	-54.71	43.72	70.05	141
G	52.8	-54.82	15.26	56.92	164
G25B	54.69	-46.87	-4.31	47.08	185
G50B	57.25	-36.1	-30.82	47.48	220
G75B	49.61	-13.51	-44.85	46.85	253
B	41.78	1.1	-44.7	44.72	271
B25R	29.34	24.33	-44.47	50.7	299
B50R	40.78	60.78	-20.18	64.05	342
B75R	48.06	71.56	13.77	72.87	11

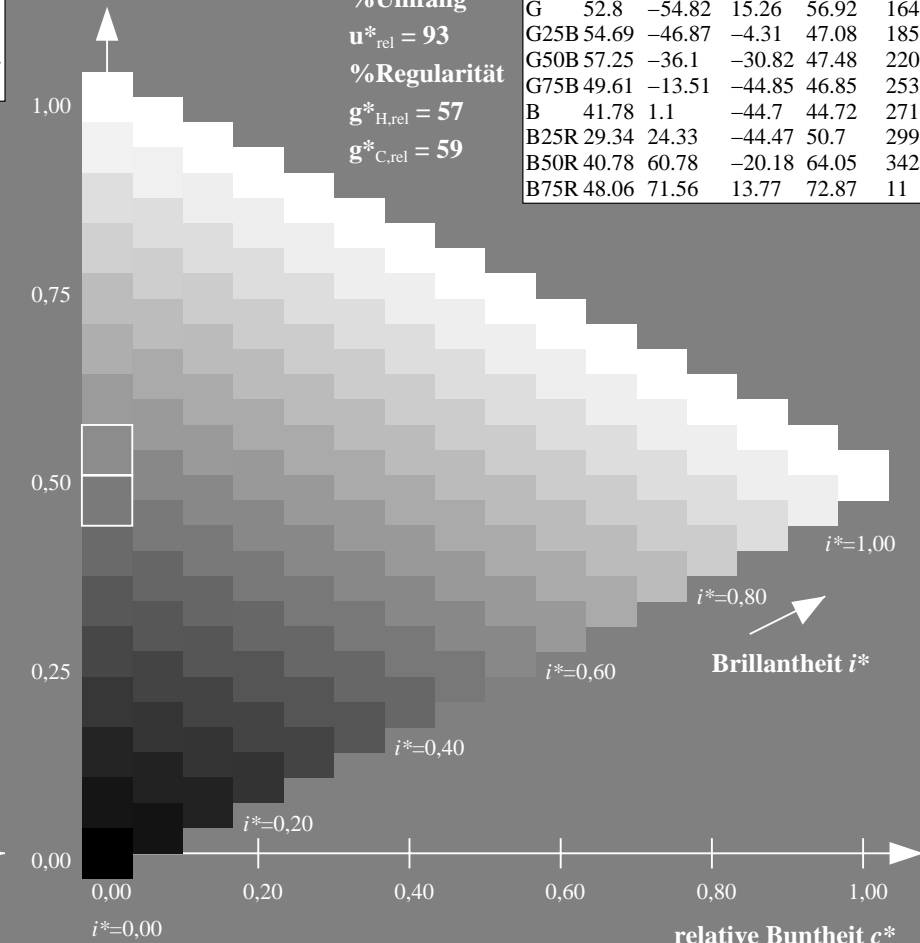
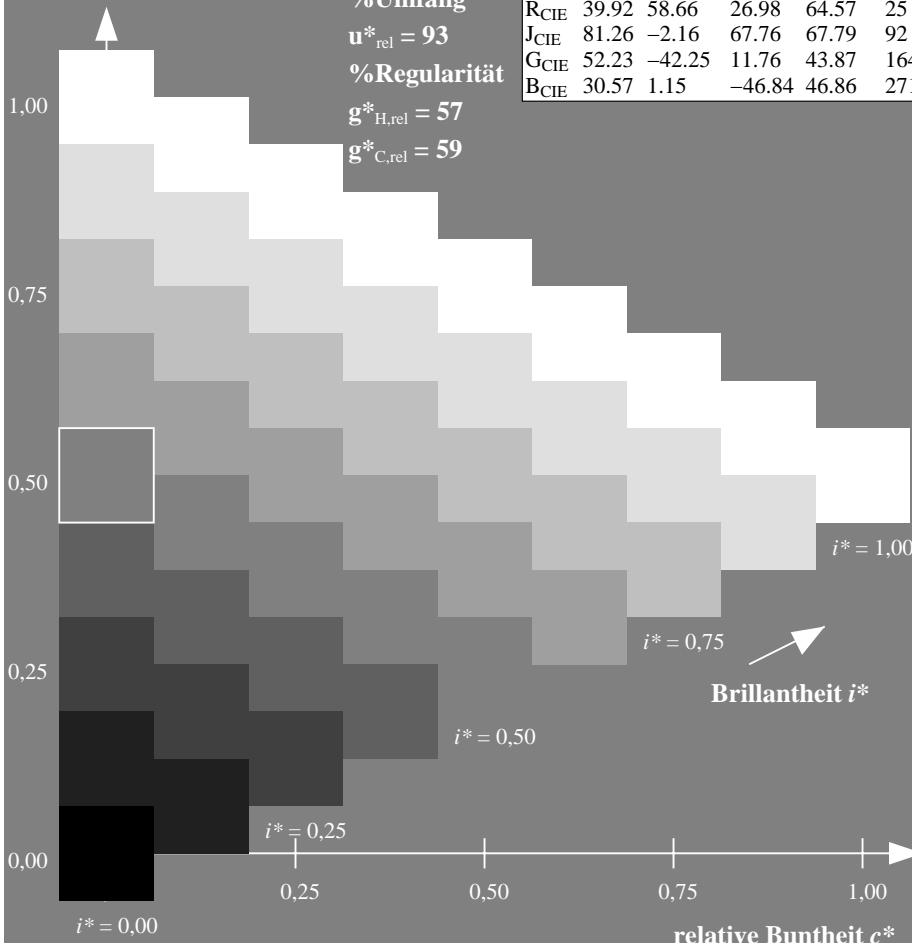
%Umfang

$u^*_{rel} = 93$

%Regularität

$g^*_{H,rel} = 57$

$g^*_{C,rel} = 59$



ZG720-7F, 9stufige Reihen für konstanten CIELAB Buntton 271/360 = 0.754 (links) Seite 60/60

ZG720-7F, 16stufige Reihen für konstanten CIELAB Buntton 271/360 = 0.754 (rechts) n*

BAM-Prüfvorlage ZG72; Farbmétrik-Systeme, Seite 60/60 Eingabe: $rgb / cmy0 set(rgb/cmyk)color$

D65: 9 und 16stufige Farbreihen für 10 Bunttöne

Ausgabe: $->LAB^*->cmy4^* setcmykcolo$